

Trombolisi - embolectomia loco-regionale nello stroke ischemico iperacuto: analisi retrospettiva a singolo centro.

Vincenzo Di Egidio*, Edoardo G. Puglielli, Maurizio Fuschi, Varrassi Marco,
UOSD Radiologia Vascolare ed Interventistica
Ospedale Civile “G. Mazzini”, Teramo
*UOC Radiologia Ospedale “S. Spirito”, Pescara

Dr. Vincenzo Di Egidio

DIRETTORE U.O.C. RADIODIAGNOSTICA E RADIOLOGIA VASCOLARE ED
INTERVENTISTICA
OSPEDALE CIVILE PESCARA

No disclosures

Stroke

- 1 stroke ogni 53 sec
- 1 morte per stroke ogni 3.3 min (436/giorno)
- 750,000 strokes nuovi e ricorrenti per anno
- Mortalità
 - 7.6% 30d
 - 16-23% 3 mesi

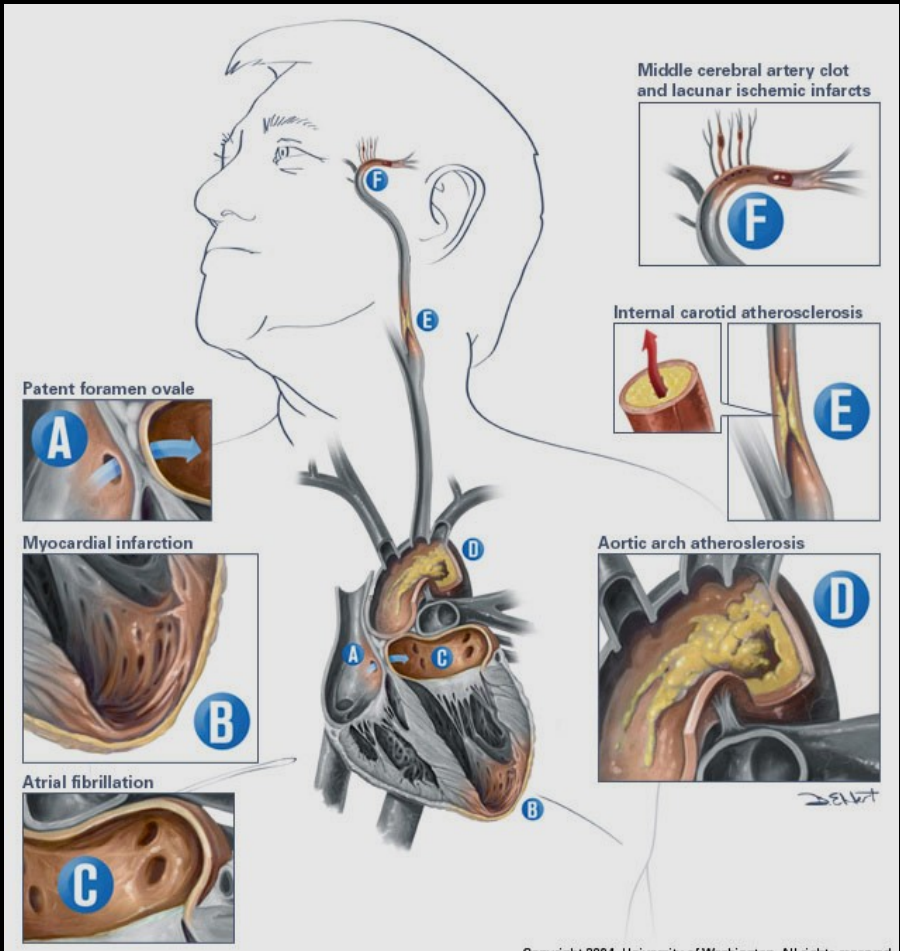


Stroke

- 500,000 Pz/anno
- Prima causa di disabilità.
- Permanenza ospedaliera media 42 giorni.
- Costi sociali: 20 billion dollars/years
(1 **bilione**: 1.000.000.000.000)

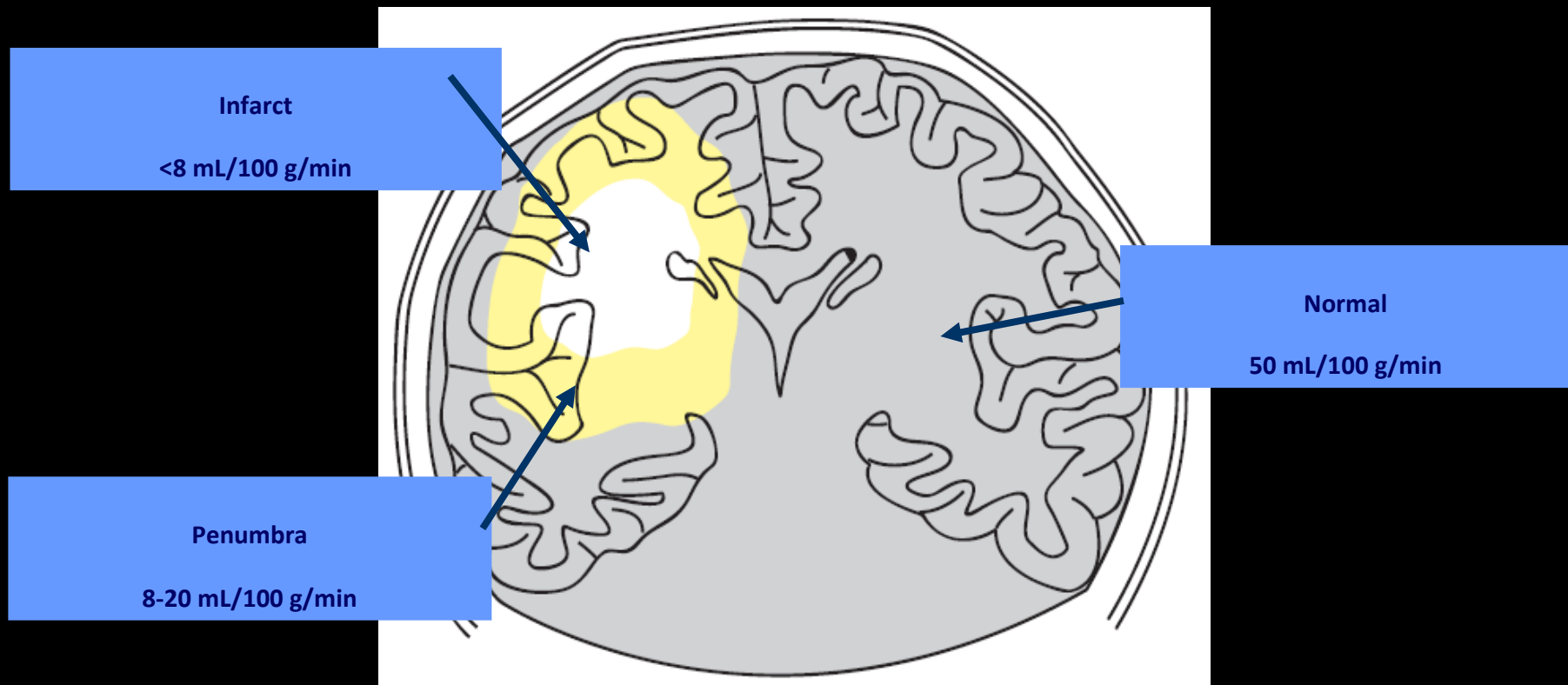


- Occlusione (50%)
 - Large vessel (ICA)
 - Branch (MCA)
 - Perforator (lacunar)
- Embolizzazione (25%)
 - Intra/Extracranial
 - Cardiac
- Criptogenetica (25%)



Ischemic Penumbra

*Area of brain with compromised blood supply
that can be salvaged by timely intervention*



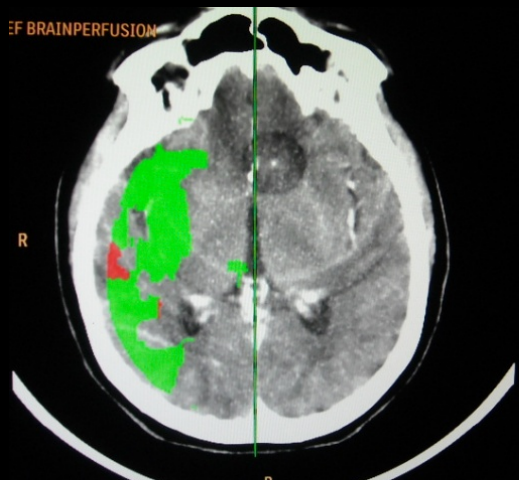
Increased MTT Area Statistics

(CBF reduced per number of slice)

Normal CBV (CBV): normal CBV area into the CBF reduced region (Green in the Summary Maps).

Reduced CBV (rCBV): CBV reduced area into the CBF reduced region (Red in the Summary Maps)

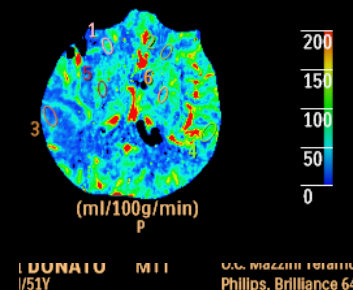
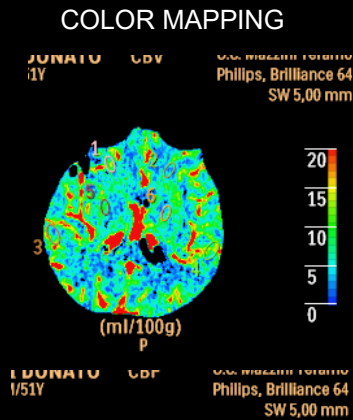
Index (In): ratio between reduced BF and normal BV area (green) and the reduced BF area (green+Red).



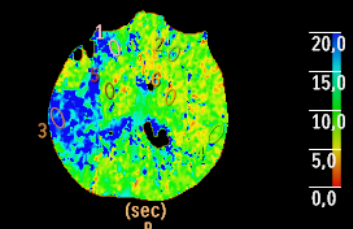
SUMAMRY MAP

Green: increase of MTT above 50%, CBV above 2,0ml/100g.

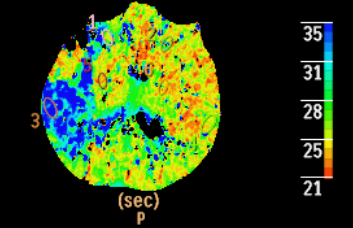
Red: increase of MTT over 50%, CBV below 2,0ml/100g.



L'DONATO MTT
1/51Y
U.G. Mazzoni Torino
Philips, Brilliance 64
SW 5,00 mm

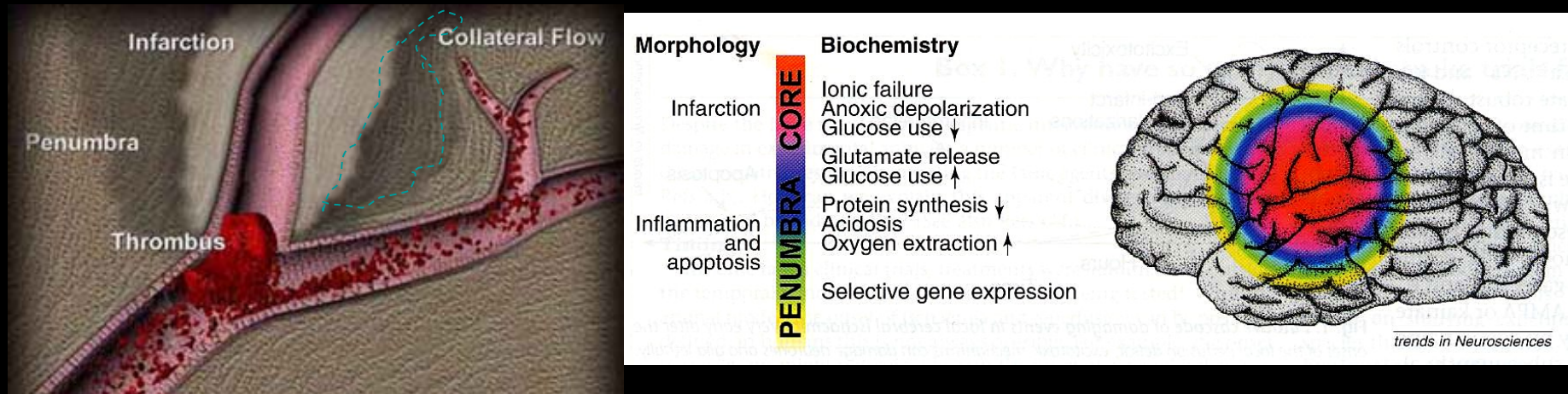


L'DONATO MTT
1/51Y
U.G. Mazzoni Torino
Philips, Brilliance 64
SW 5,00 mm



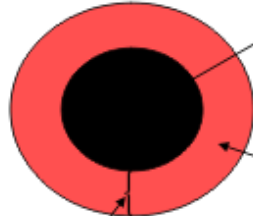
L'DONATO MTT
1/51Y
U.G. Mazzoni Torino
Philips, Brilliance 64
SW 5,00 mm

Dinamiche spazio-temporali dello sviluppo e dell'evoluzione del danno ischemico cerebrale



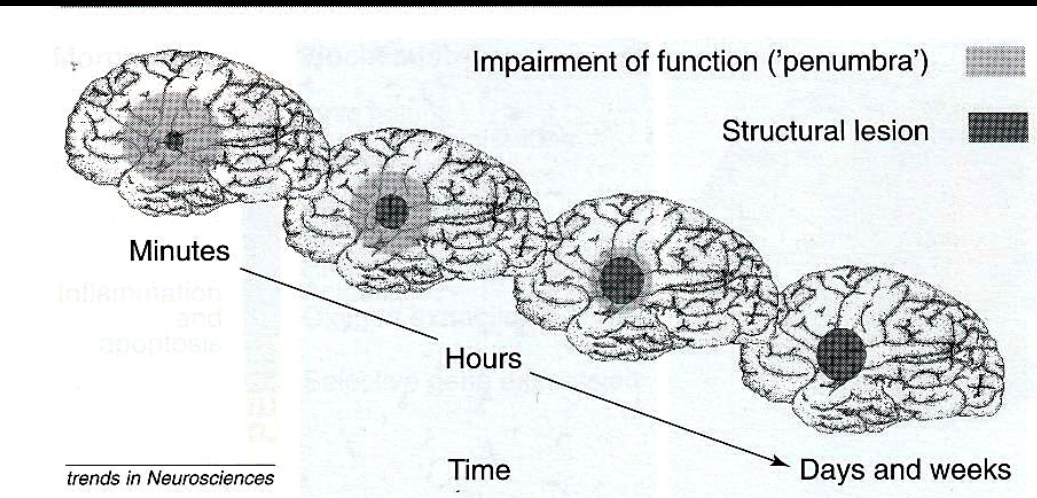
Ischemic Penumbra

DWI / PWI Mismatch

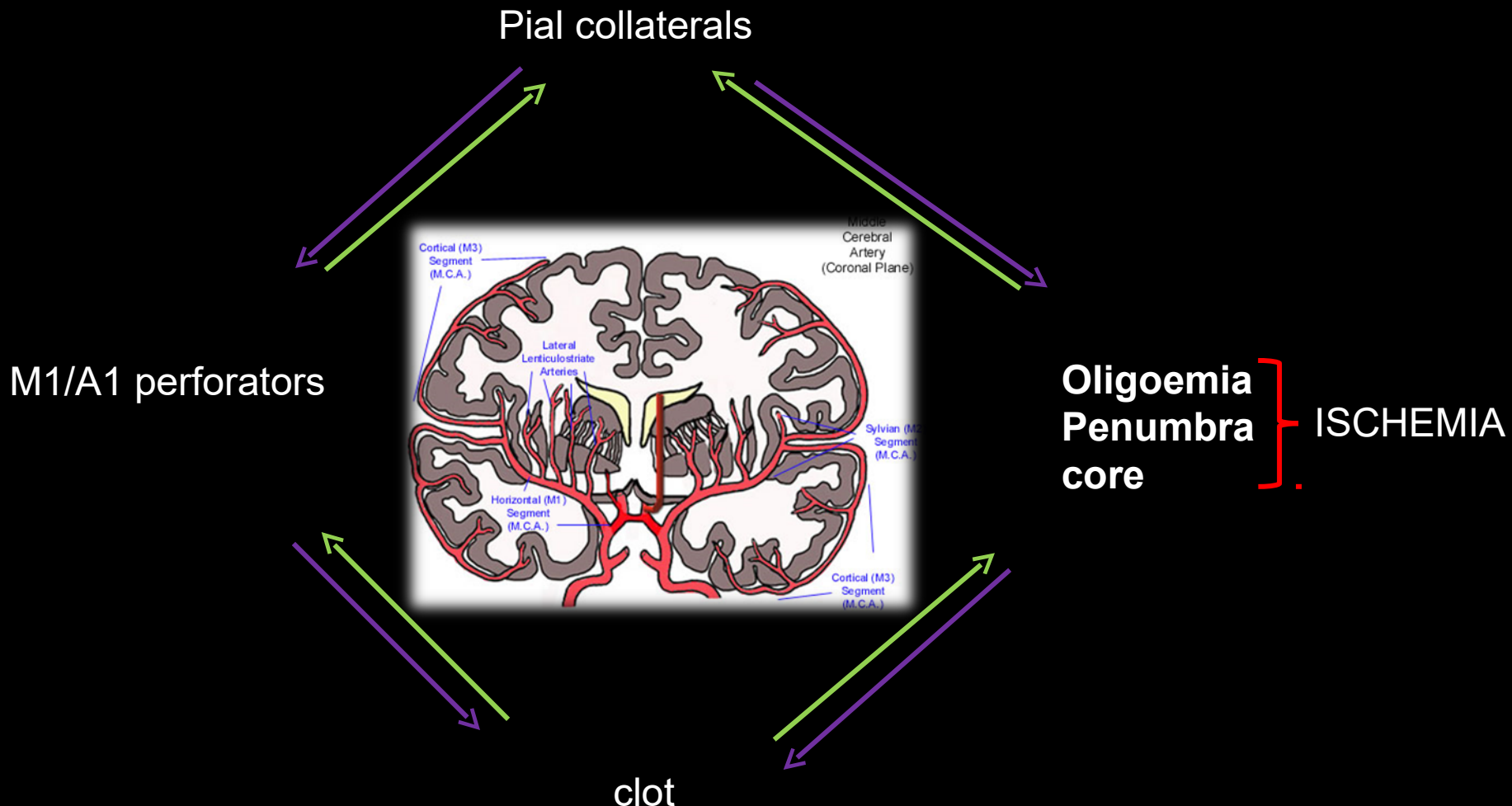


- Diffusion Abnormality
- CBF < 10 ml/100g/min
- Cytotoxic edema
- Irreversible ischemia

- Perfusion Abnormality
- CBF = 10-18 ml/100g/min
- Neuronal paralysis
- Reversible ischemia



THE BASIC INTERACTING COMPONENTS OF ACUTE NEOPALLIAL ISCHEMIA



Courtesy of Prof. Valavanis

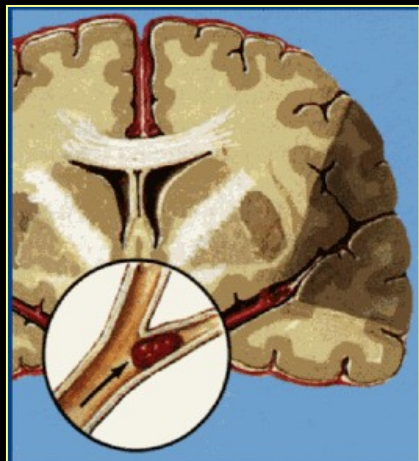
Meccanismo e Strategie della Riperfusione



SCOPO: valutare le differenti modalità operative di rimozione del trombo in caso di stroke iperacuto, meccanica e farmacologica da sole od in associazione, con i relativi tassi di ricanalizzazione nel breve e lungo periodo.

Riperfusione

- E' dimostrato che il rapido ripristino del flusso ematico cerebrale in caso di occlusione vascolare acuta può determinare il completo recupero della funzionalità del tessuto cerebrale



- La riperfusione del tessuto ischemico può avvenire attraverso 3 meccanismi:
 - Riconalizzazione spontanea
 - Trombolisi farmacologica e/o meccanica
 - Collaterali leptomeningei

A 15 anni dall'avvento delle prime terapie trombolitiche, numerosi studi e la pratica clinica hanno confermato il beneficio della riperfusione precoce

Trombolisi - RTCs

- Sistemica, endovenosa:
rtPA 0.9 mg/kg entro
3 ore dall'esordio.
- Endovascolare,
intrarteriosa

rtPA, urokinasi

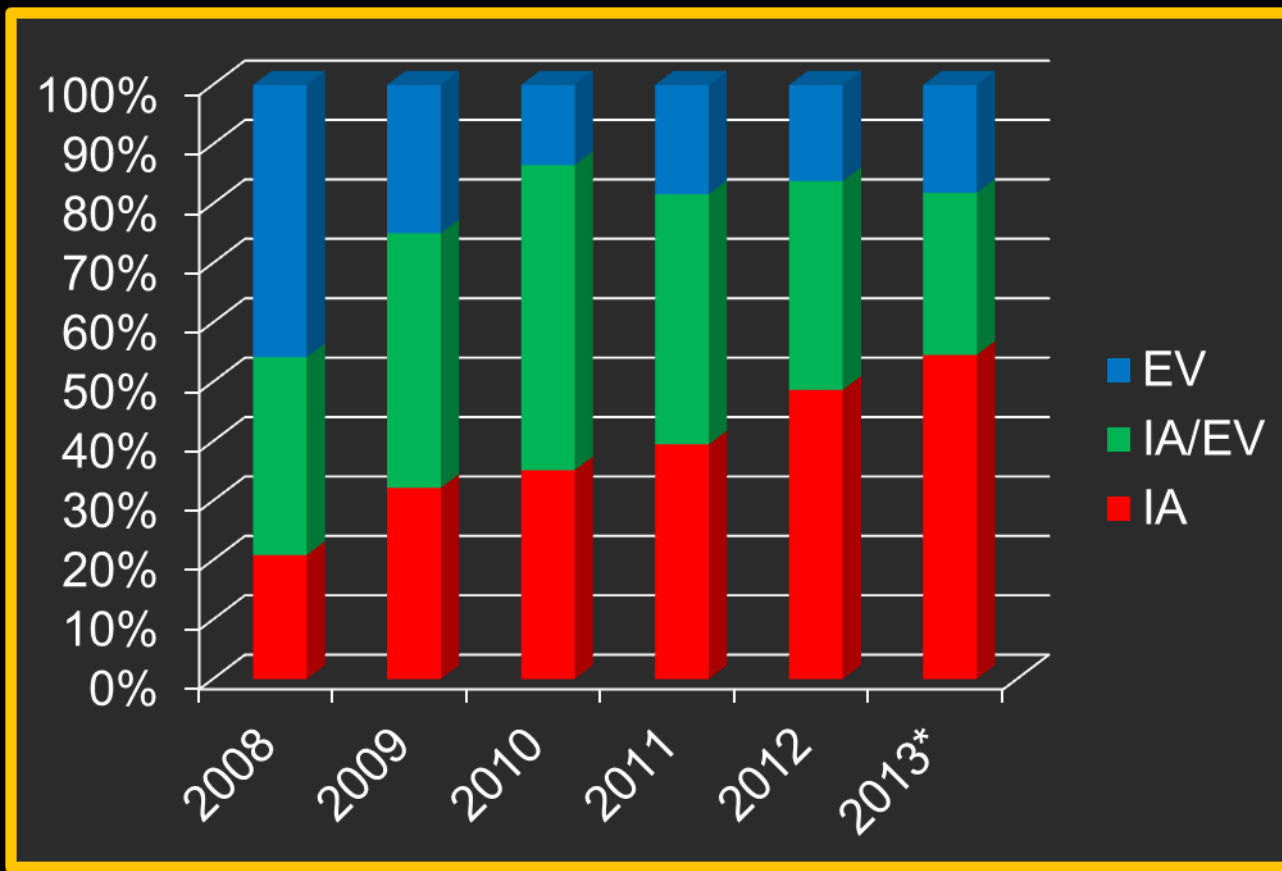
Meccanica

13 RCTs on Thrombectomy

- IMS III
- MR Rescue
- Synthesis
- Mr Clean
- Thrace
- Piste
- Revascat
- Therapy
- Swift Prime
- River 5
- SITS
- Thrill
- Taste
- ...

TROMBOLISI ASL TERAMO

RADIOLOGIA VASCOLARE INTERVENTISTICA



MATERIALE E METODO:

Abbiamo analizzato una coorte di 118 pazienti (età media 57 anni, da aprile 2009 a gennaio 2013) con stroke, sottoposti a terapia locoregionale, considerando variabili demografiche, scala NIHSS all'ingresso e mRS (mean Rankin Scale) post trattamento, analisi delle mappe di perfusione TC, tassi di ricanalizzazione utilizzando la scala TICI (Thrombolysis in Cerebral Infarction) grado 0 (assenza di perfusione) fino al grado 3 (perfusione completa) e relative complicanze.

I risultati sono stati valutati con studi Angio-RM e/o Angio-TC e/o Angiografico post procedura e con follow-up entro 90 giorni.

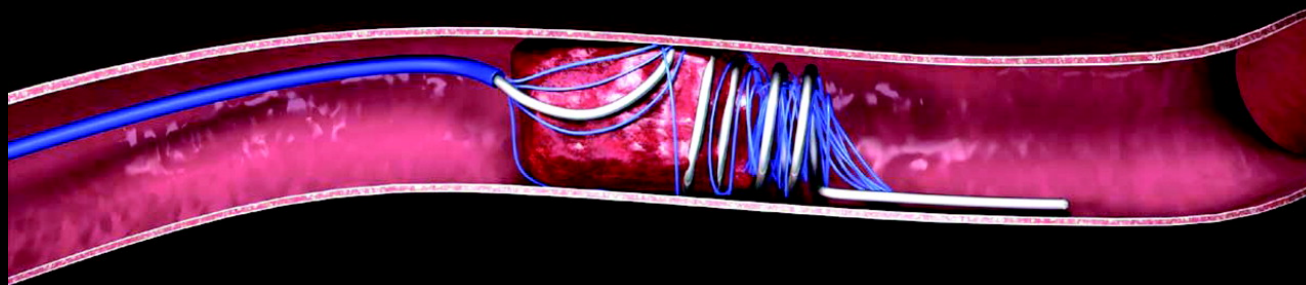


MATERIALE E METODO

Per la fibrinolisi **farmacologica** abbiamo usato attivatore tissutale del plasminogeno - recombinant tissue plasminogen activator - r-tPA,

Per la trombolisi **meccanica** sono stati utilizzati diversi sistemi di embolectomia meccanica quali stent completamente recuperabili , sistemi di trombo aspirazione o microguide.

Endovascular Tools for Stroke Treatment



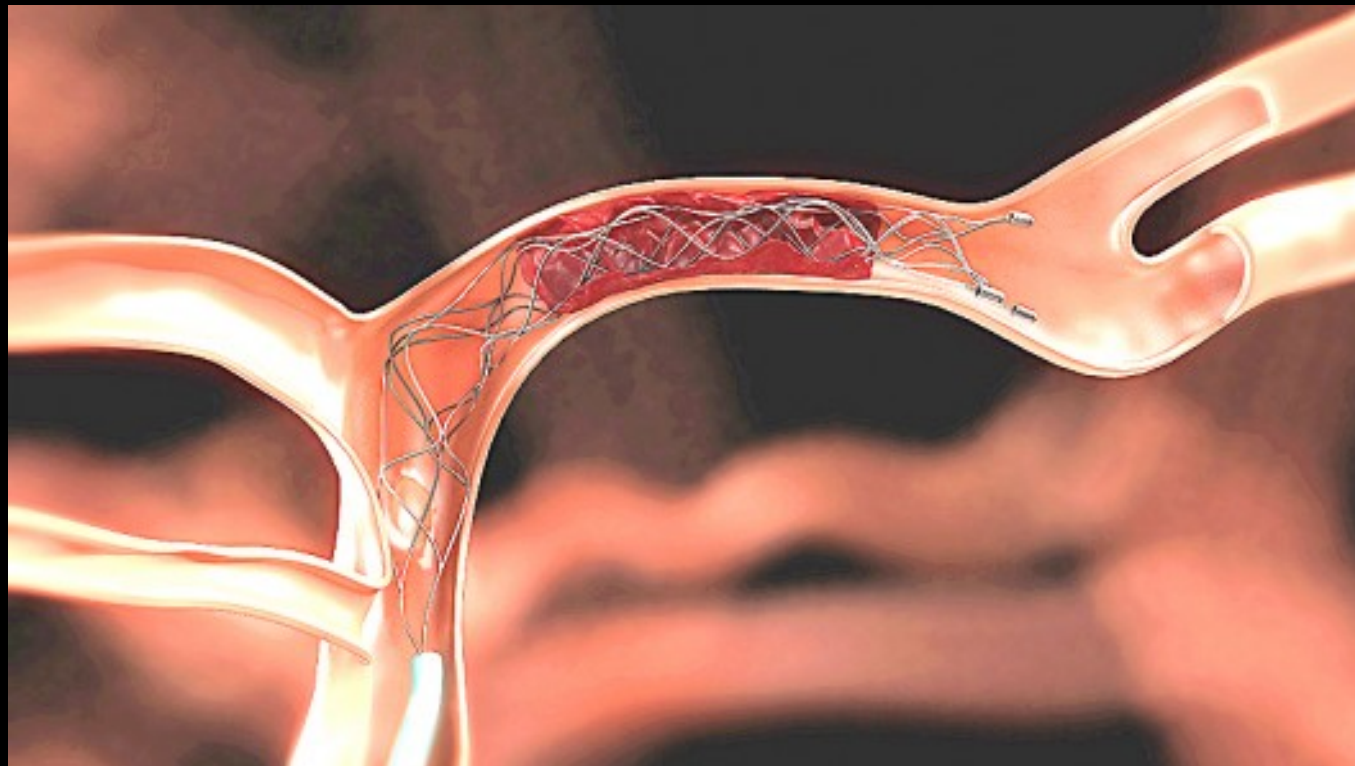
L5

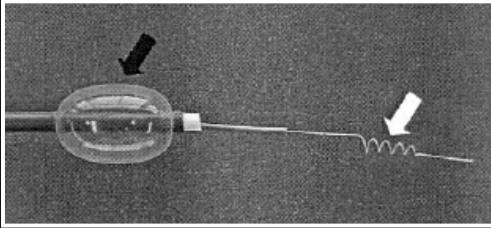


X6

Solitaire® Revive Aperio Stent Retrieval Device

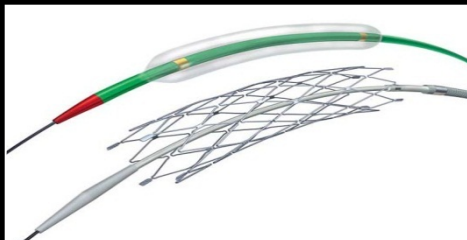
- Recanalization rates approaching 90%
- Recently received FDA approval



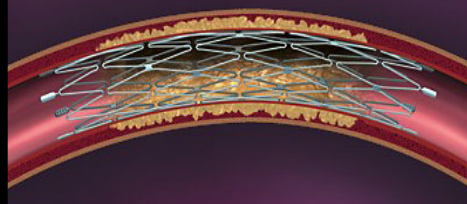


MERCI retriever

Dispositivo in nitinol che assume
una conformazione ad elica
quando fuoriuscito dal catetere guida



Angioplastica + Stent intracranico



Manovre di tromboaspirazione

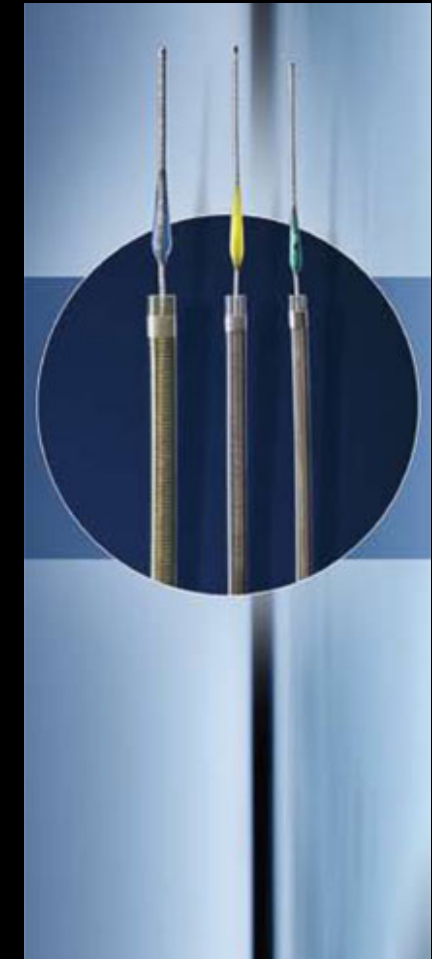
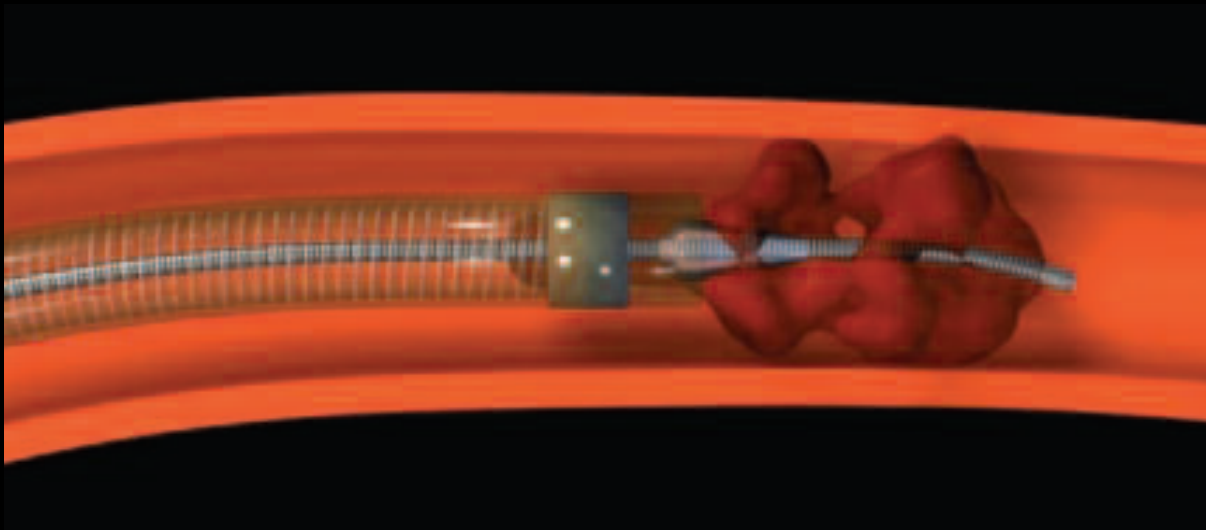
Mechanical Embolectomy Merci Device



Endovascular Tools for Stroke Treatment

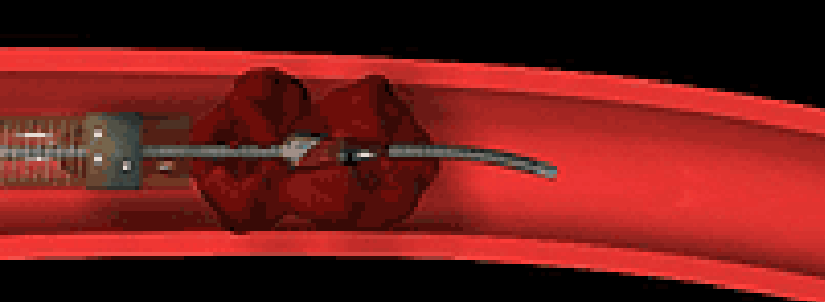
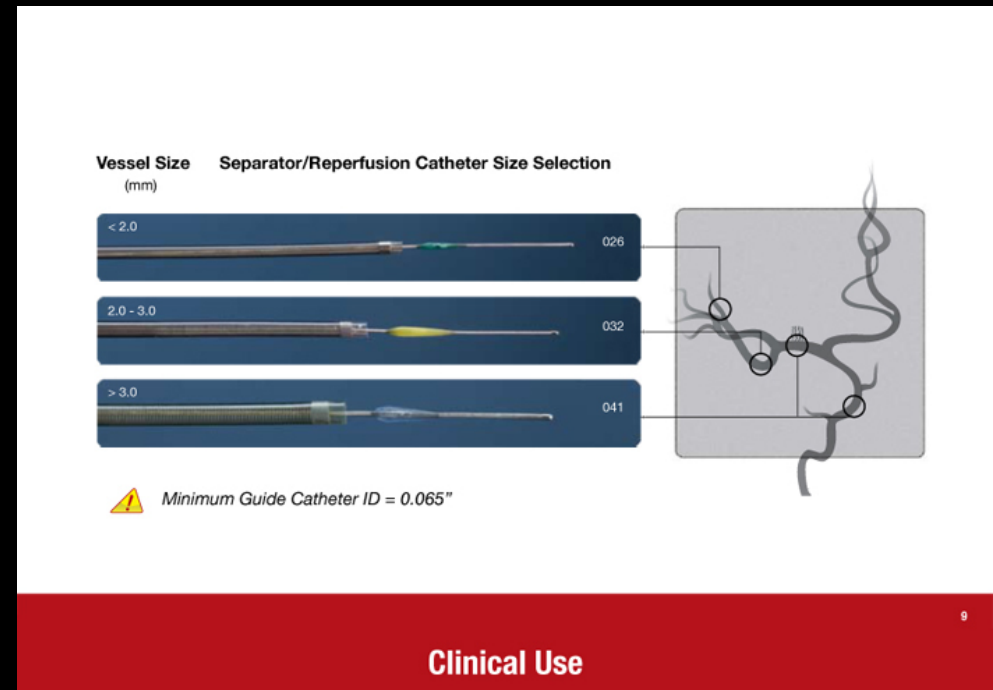
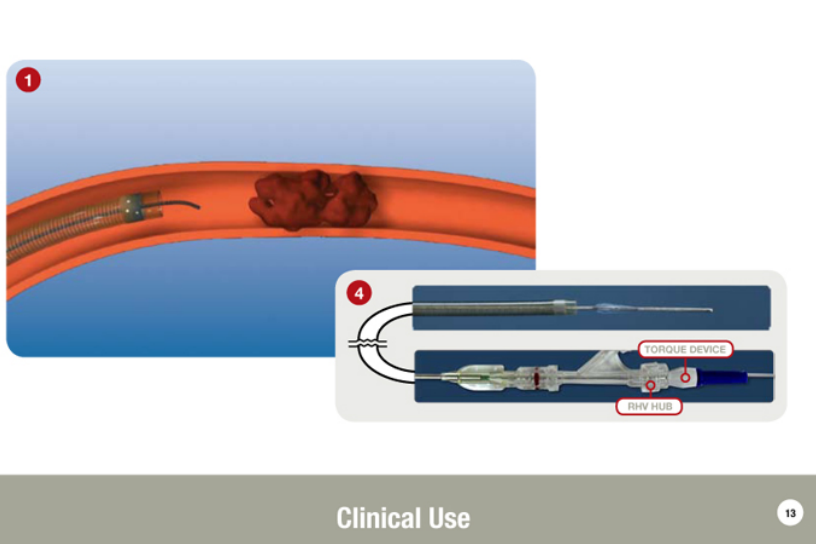
Penumbra® Stroke Device

- Stroke device for mechanical thrombectomy
- Higher rates of recanalization (~80%)



Mechanical Embolectomy

Penumbra



Strategie terapeutiche per lo stroke acuto

RIPERFUSIONE (approccio vascolare)

(\uparrow Flusso ematico)

- \downarrow Edema tissutale
- Trombolisi
- Angioplastica
- Endarterectomia
- Emodiluizione

NEUROPROTEZIONE (approccio parenchimale)

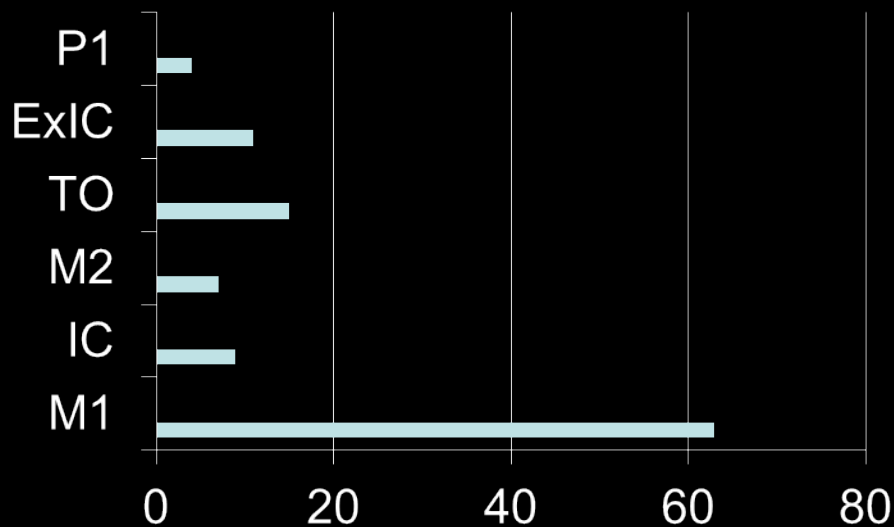
(\downarrow vulnerabilità del tessuto)

- Eccitotossicità ($[Ca^{2+}]_i$, $[Zn^{2+}]_i$?)
- Radicali liberi
- Infiammazione
- Apoptosi
-

RISULTATI

I siti di occlusione arteriosa pre-trattamento sono stati:

- M1 63 patients (53.38%)
- Intracranial carotid 9 patients (7,62%)
 - M2 7 (5,93%)
 - Tandem occlusion 15 (12.71%)
- Extracranial internal carotid isolated occlusion 11 (9.32%)
 - P1 4 (3.38%)
 - Basilar trunk 9 (7.62%)

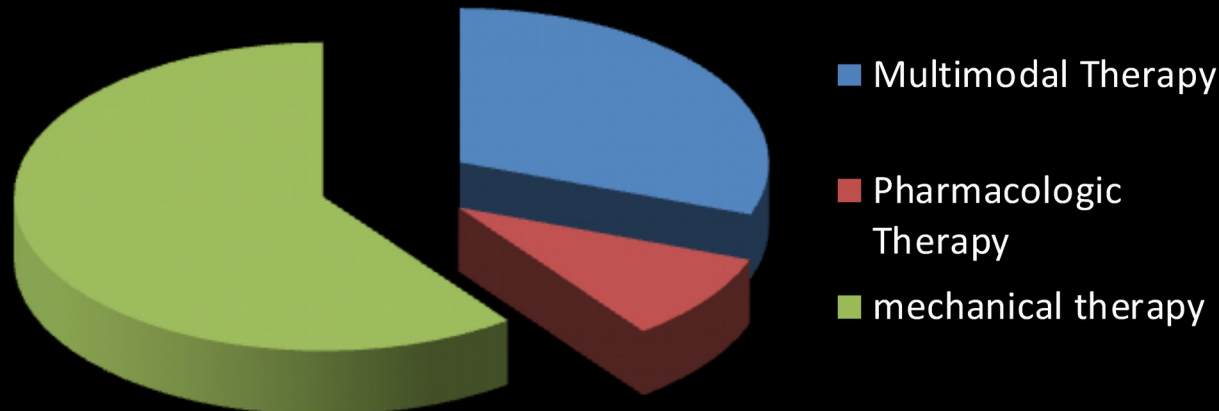


Le opzioni terapeutiche eseguite includevano

Multimodal therapy 36 patients (30.50%)

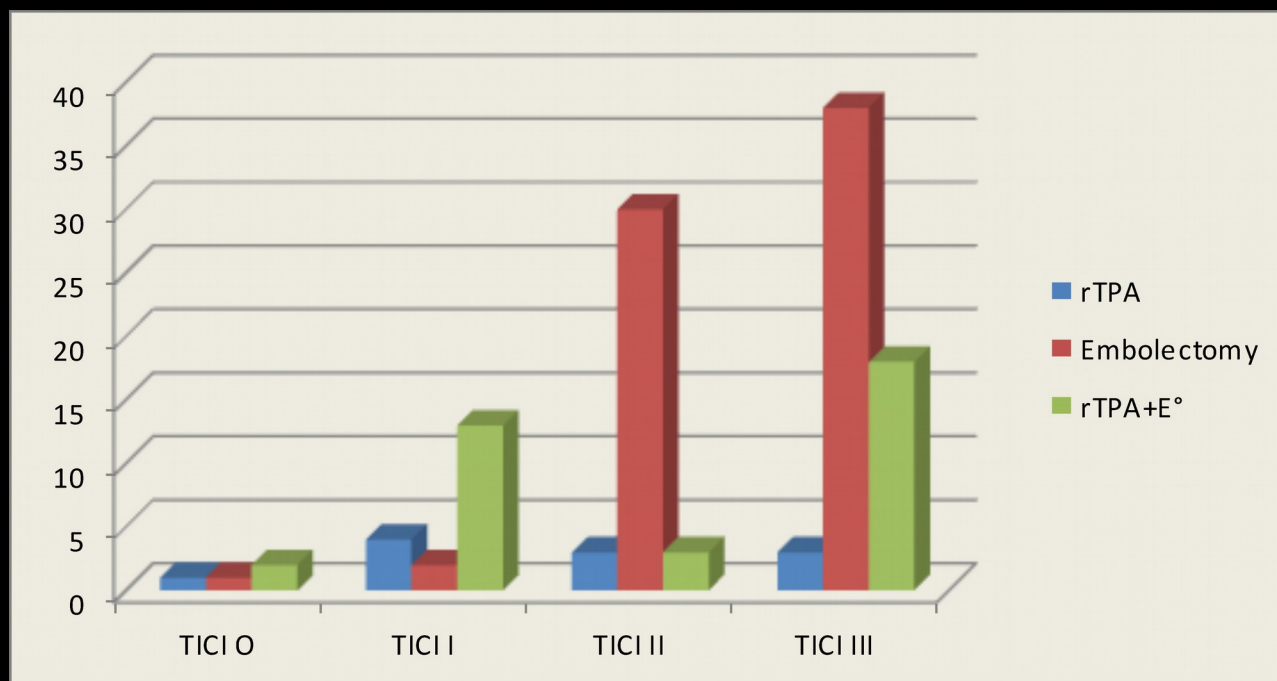
Pharmacologic therapy with tissue plasminogen activator (t-PA)
11 patients (9.32%)

Mechanical therapy 71 (60,16%)



Abbiamo osservato un tasso di ricanalizzazione significativamente elevato (TICI di 2-3) nei pazienti trattati con approccio meccanico (68/71 pazienti [95.77%])

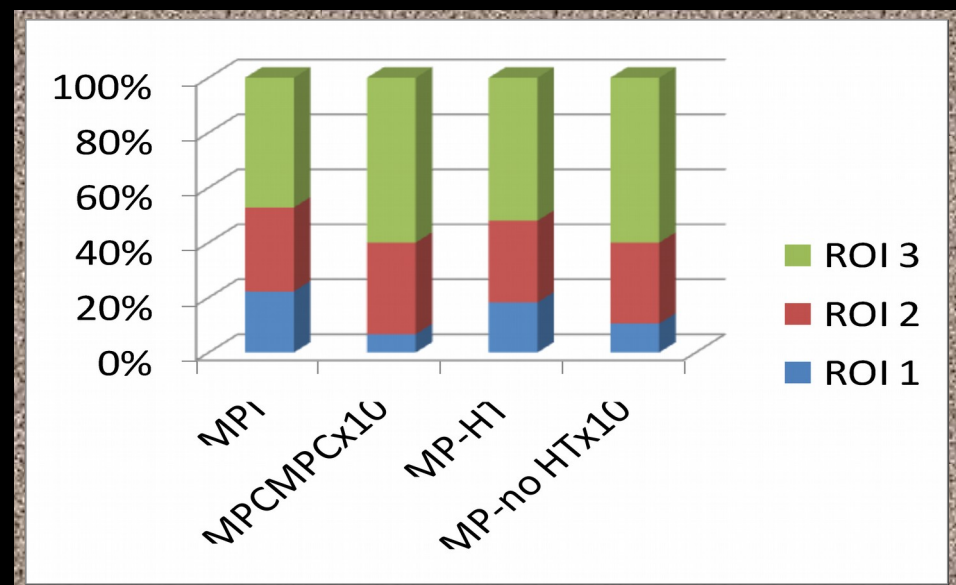
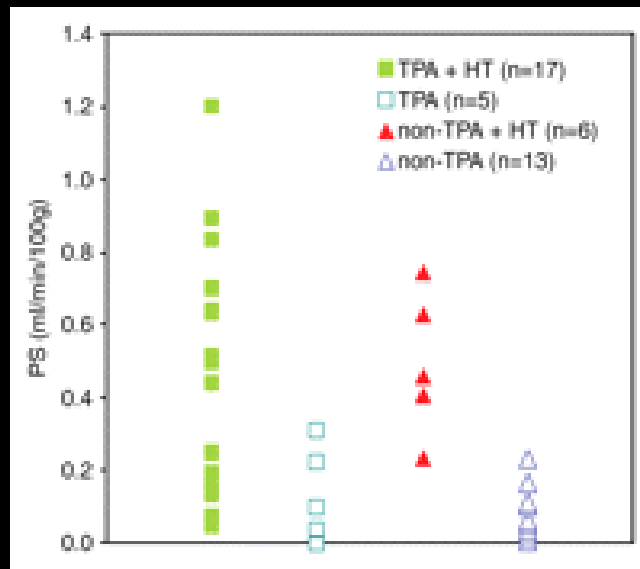
rispetto a quelli trattati con la sola terapia farmacologica (6/11 pazienti [54.54%]). $p<0.001$.



106 infarcts (89.83%) showed **MPI ranged from 0 to 15** (mean: $3.7+/-2.1$) versus **MPC of 0-0.9** (mean: $0.38+/-0.15$; $P<.0001$).

11 infarcts (9.3%) developed HT, all of which were within the areas of MPI elevation.

MP-HT ranged from 4.9 to 14 (mean: $8.5+/-2.4$) versus MP No-HT of 0-5.7 (mean: $3.8+/-2.0$; $P<.0001$).

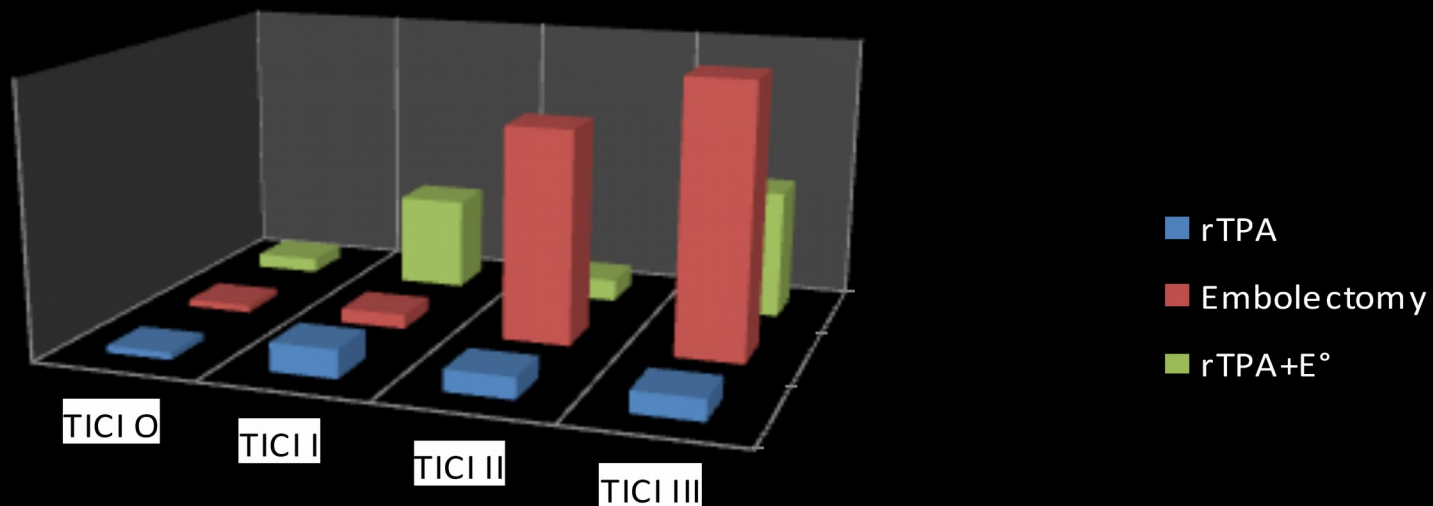


RESULTS

Forty infarcts (66%) were treated and the **recanalization** rate in patients treated with multimodal therapy was significantly higher TICI 2 or 3 recanalization rate ([82.14%]);

A significant **difference between MP-HT and MP No-HT** persisted with respect of local treatment ($p<0.001$).

Median mRS at presentation was 5,2 (interquartile range, 7–20). And 2,7 at discharge (interquartile range, 1,7–3,2) ($p<0.001$).



COSA FARE?



CEFALO S. MDC

20 May 2015 14:45
140kV

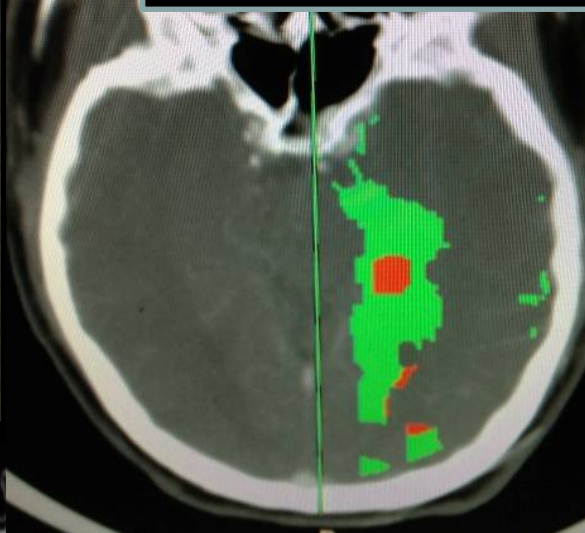
SC
SW

ION

E.S. M 43Y 5h

M/44y
CEFALO S. MDC
im

Sc
SW





- ***ENDOTHELIAL DENUDATION*** 73%
- ***EDEMA OF THE TUNICA MEDIA*** 52%
- ***MURAL THROMBUS*** 5%

Arterial wall response (injury) to mechanical thrombectomy devices (Gory B et al 2013)

(C.A.) M, 65 aa

Emiplegia sinistra, deviazione
sguardo verso sinistra, paresi
facciale sinistra

NHISS: 20

TC CRANIO, TC PERFUSIONALE, ANGIOTC VASI
COLLO e INTRACRANICO

Penombra M1 destra con core ischemico

AGF trombolisi meccanica M1 destra

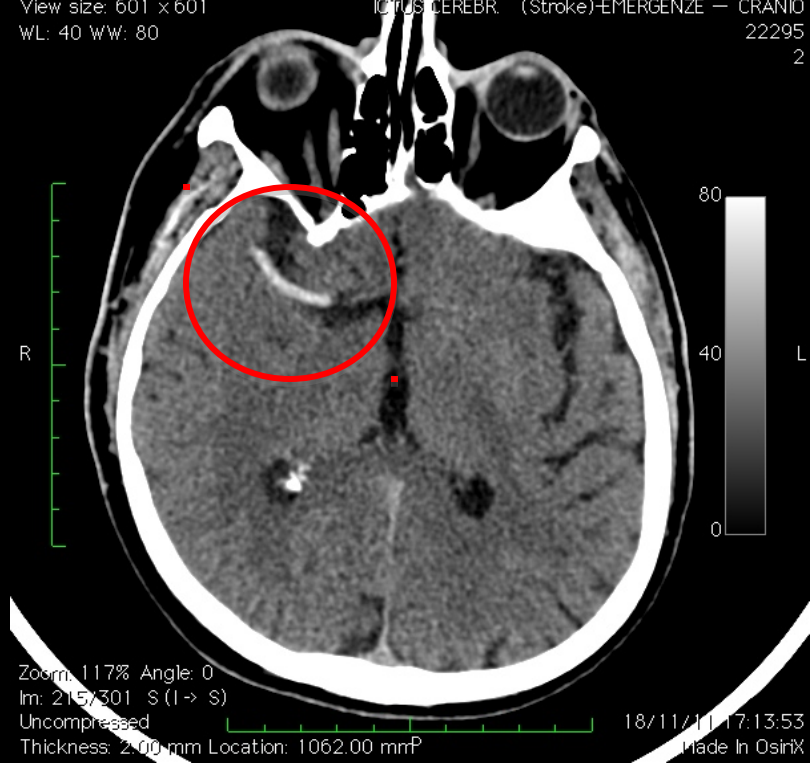
TC CRANIO (controllo dopo procedura) focolaio
emorragico

TC CRANIO (24 h)

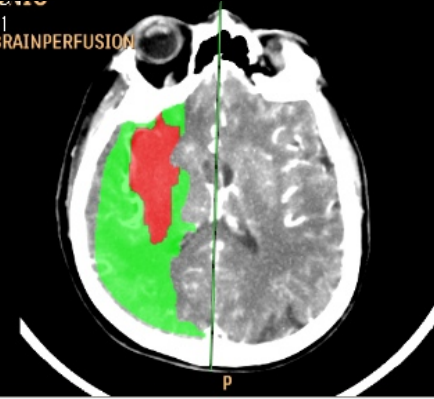
RM CRANIO, DIFFUSIONE E PERFUSIONE (10 gg)

Image size: 512 x 512
View size: 601 x 601
WL: 40 WW: 80

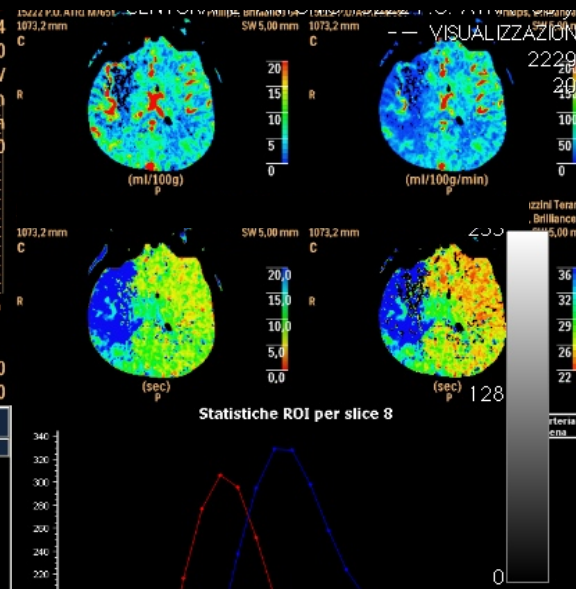
CENTRO DIURNO ANTONIO TOSO P.O. ATRI 03 y J
ICTUS CEREBR. (Stroke) EMERGENZE - CRANIO
22295
2



15222 P.O. ATRI-M65Y
View size: 1050x600
Q-S PERFUSIONE ENCEPH BRAINPERFUSION
WL 127 WW: 255
1073,2 mm



Philips, Brilliance 64
18 Nov, 2011 17.14.19.00
80 kV
FOV 220,0 mm
SW 5,00 mm
Z 1,00
1073,2 mm
C 40
W 80
10 cm



Statistiche ROI per slice 8

N° ROI	CBV (ml/100 g)	CBF (ml/100 g/min)	MTT	TTP
--------	----------------	--------------------	-----	-----

MTT aumentata Statistiche area					
Numero di slice	CBV normale (mm²)	(%)	CBV ridotto (mm²)	(%)	Indice
1	935,3	7,9	119,9	1,1	0,69
2	1123,9	9,1	0,0	0,0	1,00
3	2150,6	17,2	0,0	0,0	1,00
Zoom: 63% Angle: 0	3002,1	22,9	3,0	0,0	1,00
Im: 1/74	3212,6	23,4	223,0	1,6	0,93
Uncompressed	3265,0	22,6	479,6	3,3	0,67
Position HFS	3366,2	22,0	614,5	4,1	0,65
	3195,6	21,0	1137,9	9,0	0,73
	20150,7	16,9	2636,5	2,5	0,60

TC PERFUSIONALE

VERDE: PENOMBRA
ROSSO: CORE ISCHEMICO

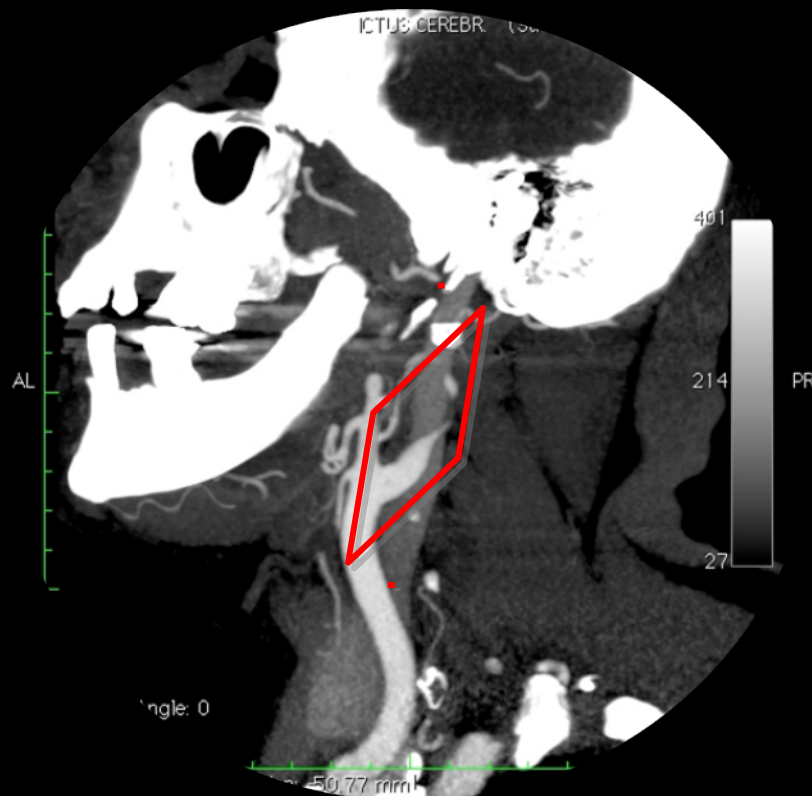


7% Angle: 0

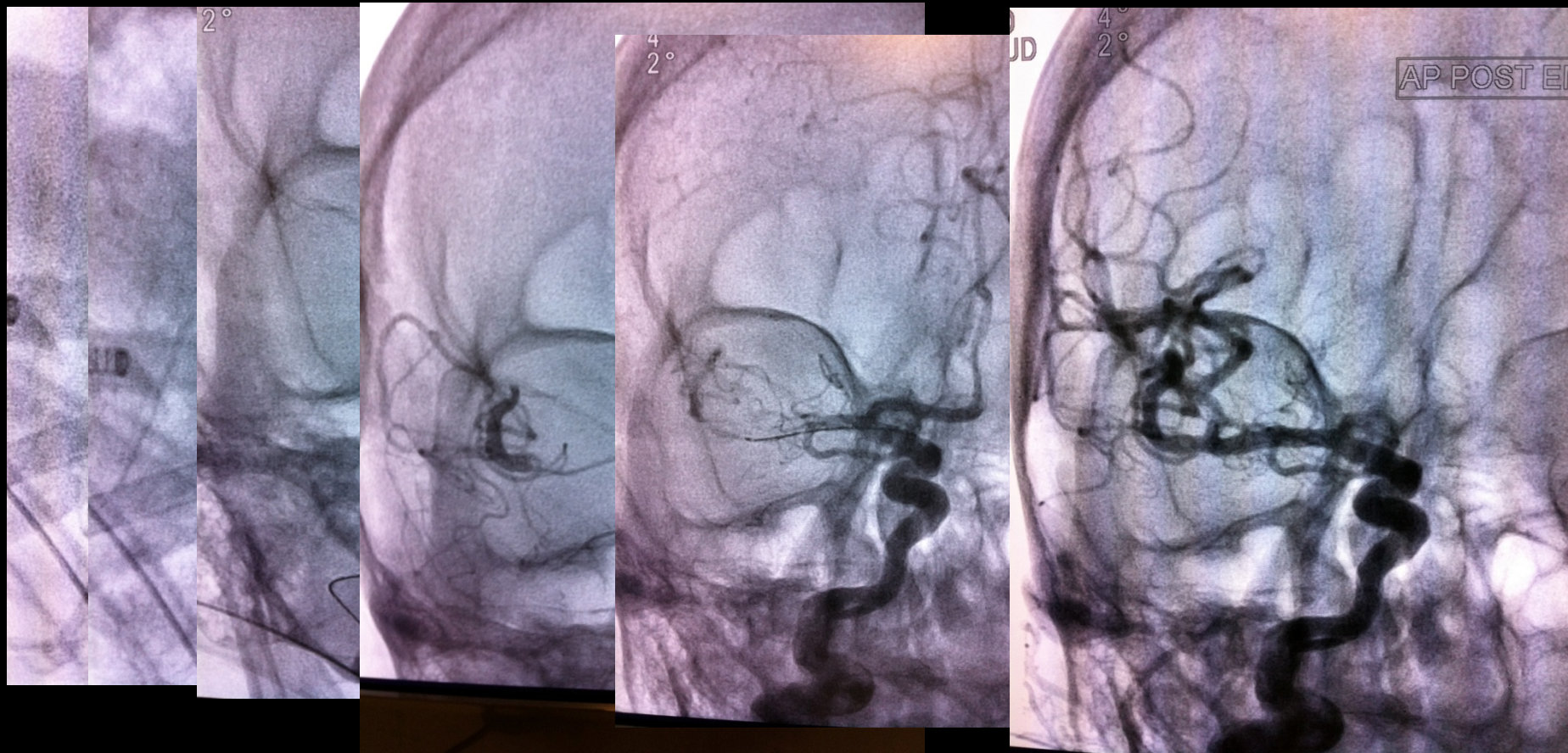
Assessed
15.87 mm Location: 1059.27 mm

18/11/11 17:22:41
Made In Osiri

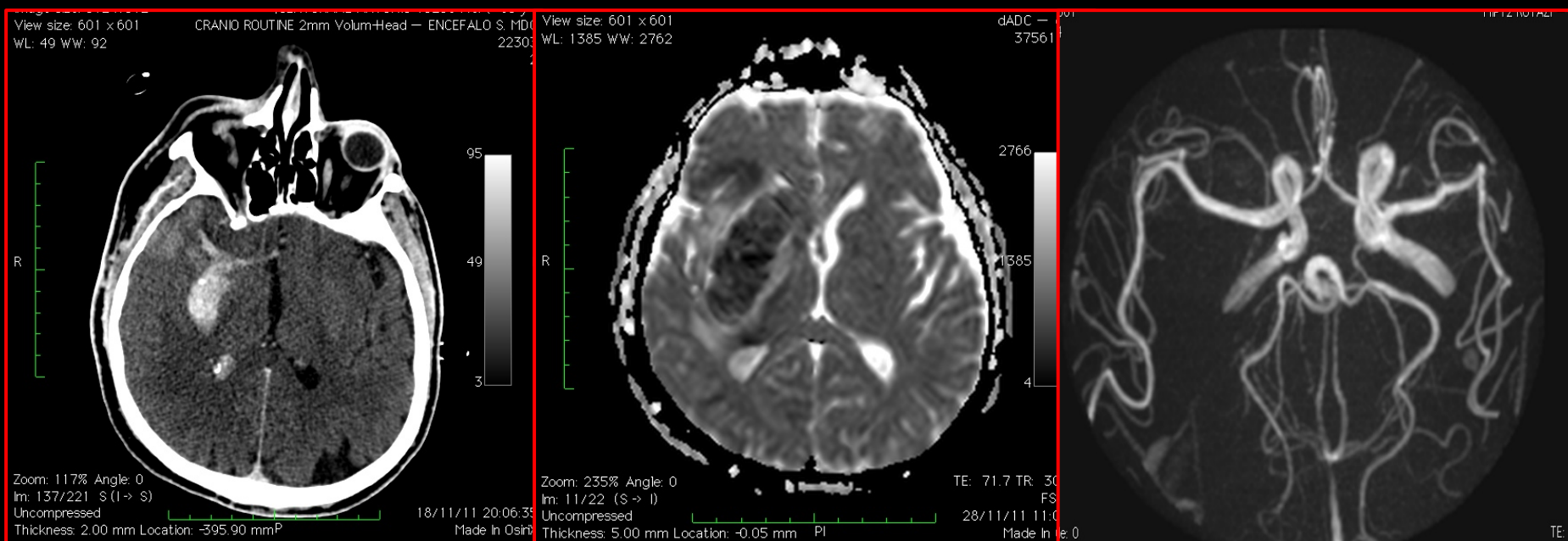
OCCLUSIONE CAROTIDE INTERNA E TROMBOSI SIFONE CAROTIDEO



OCCLUSIONE CAROTIDE INTERNA E TROMBOSI SIFONE CAROTIDEO - PROCEDURA



OCCLUSIONE CAROTIDE INTERNA E TROMBOSI SIFONE CAROTIDEO - CONTROLLO

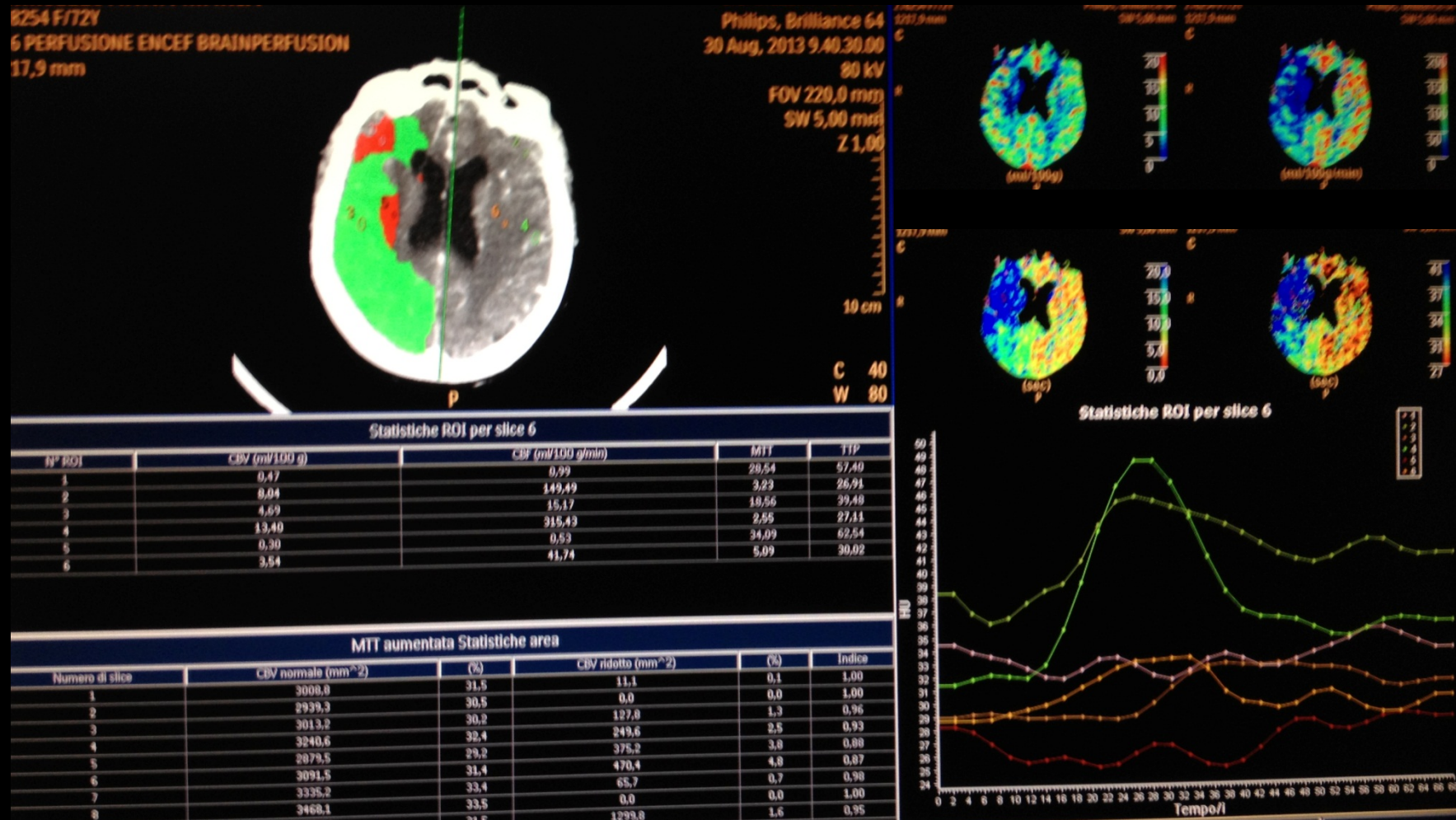


TAC

RM- DIFFUSIONE

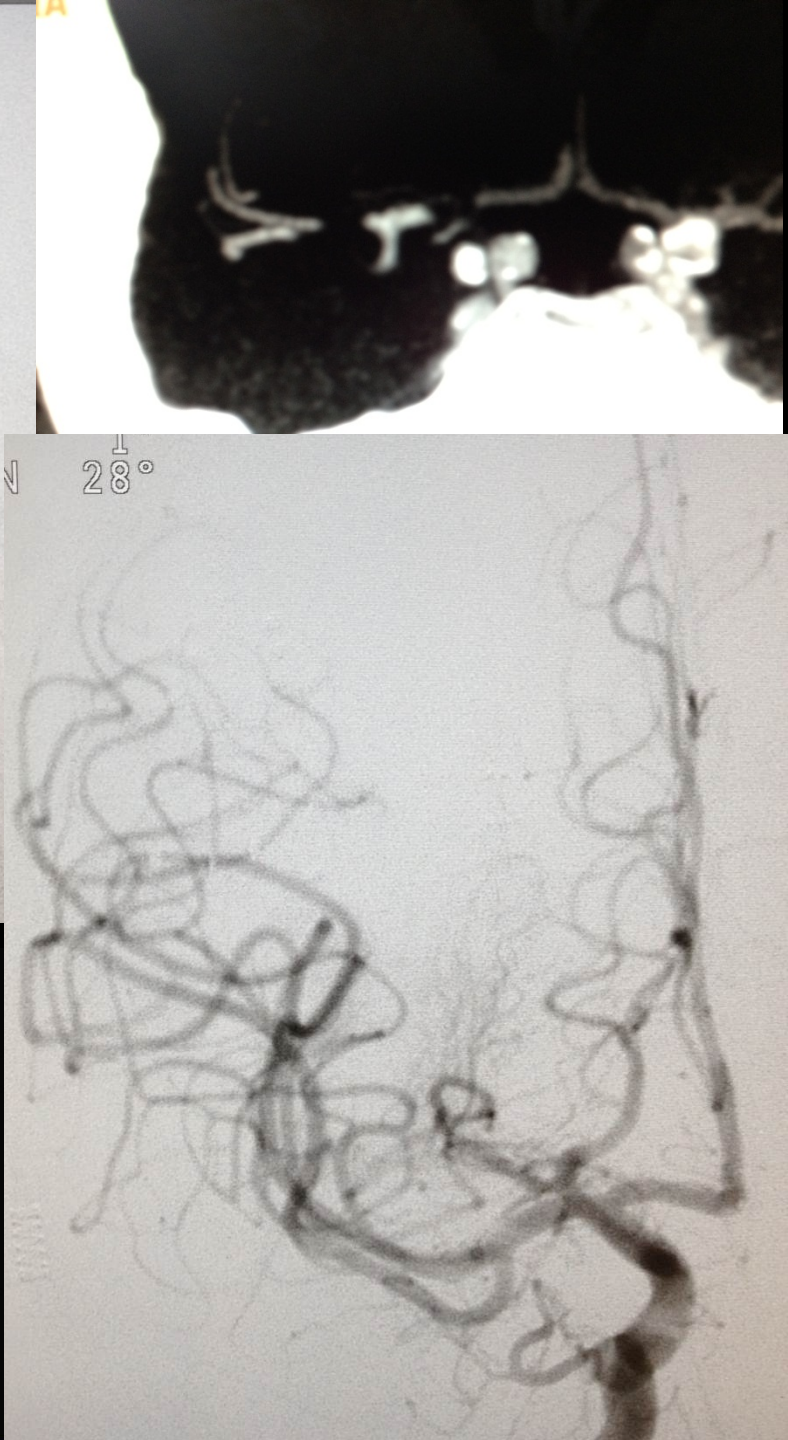
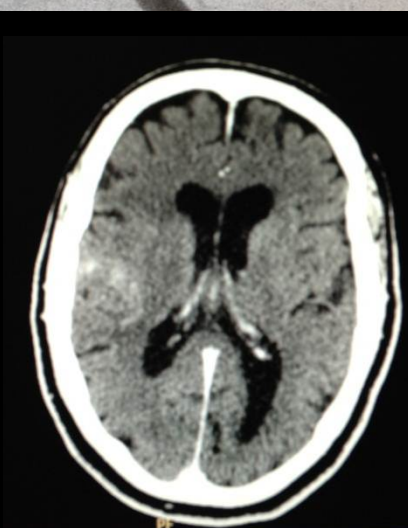
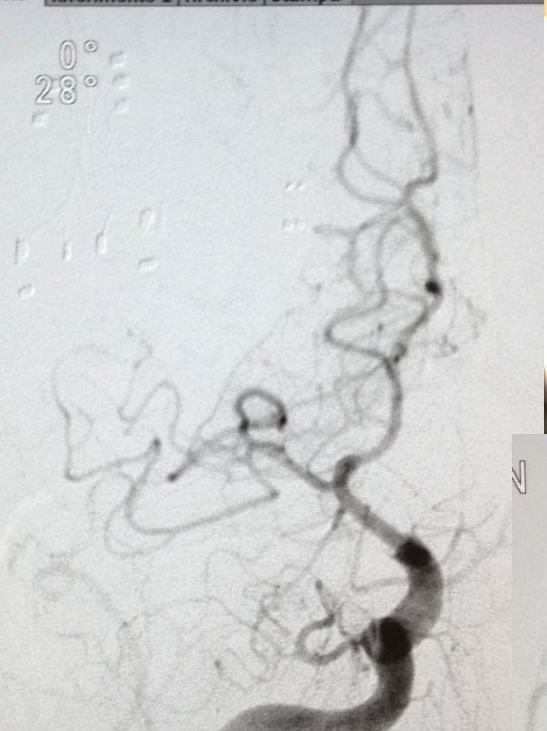
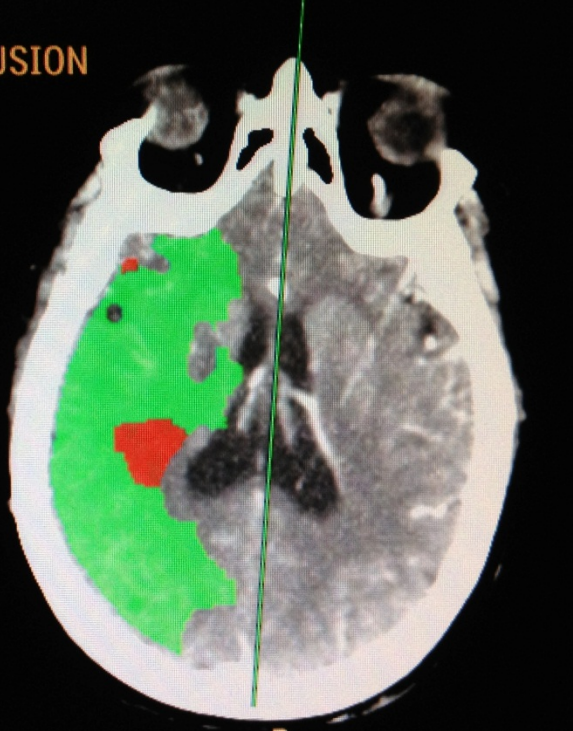
ANGIORM

A.A. F 73Y 5h 30min



NIHSS 15

RFUSION

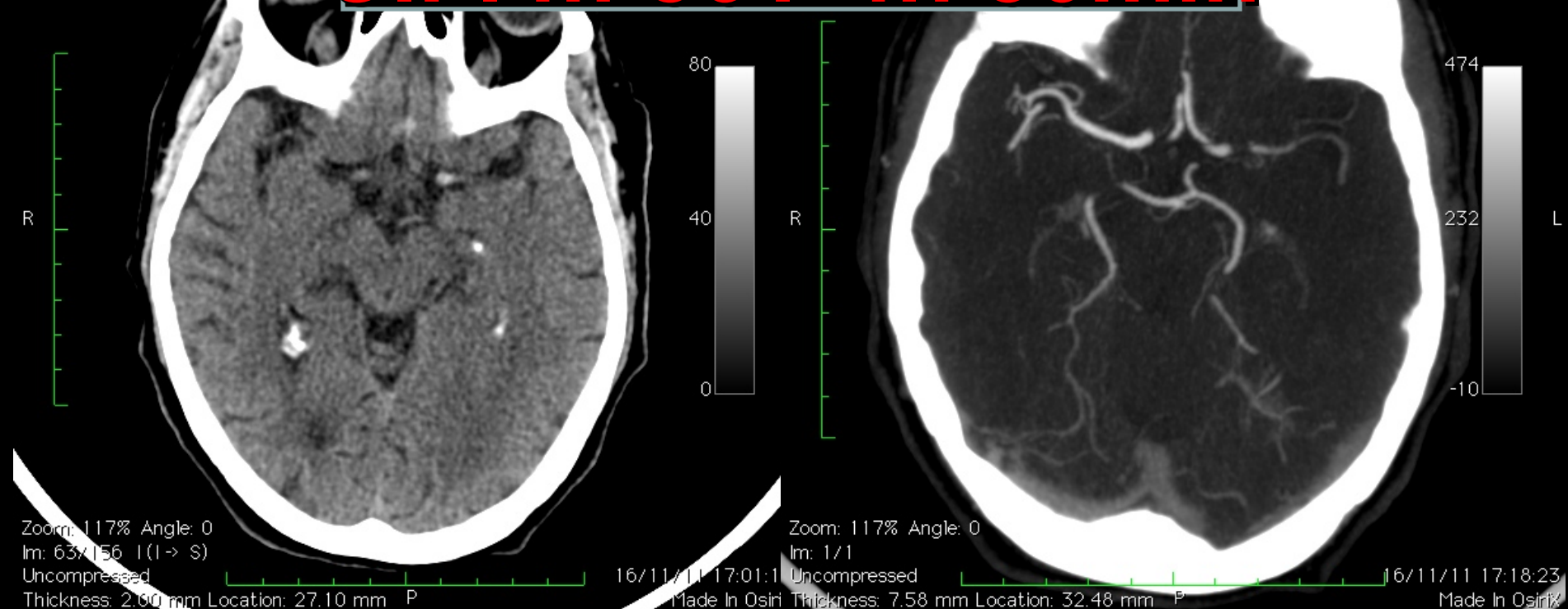


View size: 601 x 601
WL: 40 WW: 80

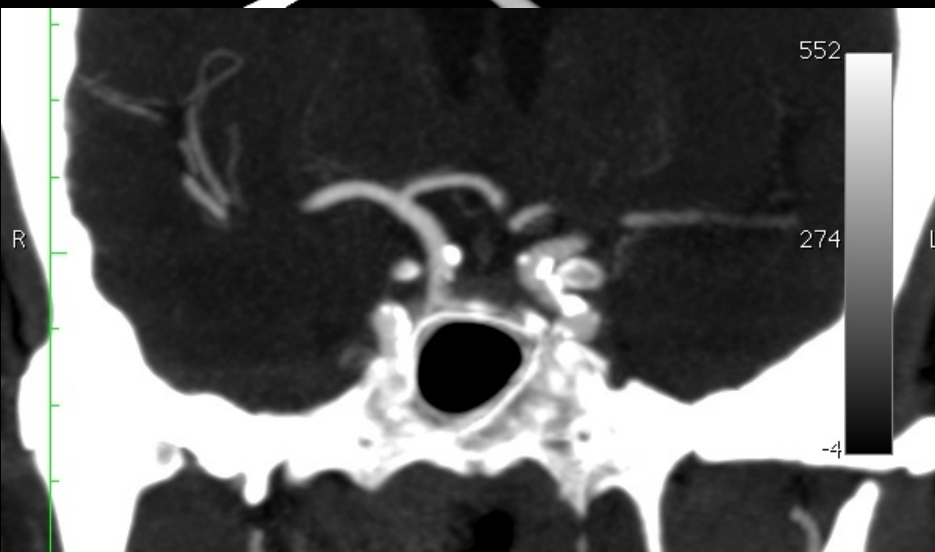
CRANIO ROUTINE 2mm Volum-Head — ENCEPHALUS MD View size: 601 x 601
2221 WL: 232 WW: 485

ICHTIS CEREBRI (Stroke) EMERGENZE — unnamed
22218
704

C.F. m 56Y 4h 30min



NIHSS 30

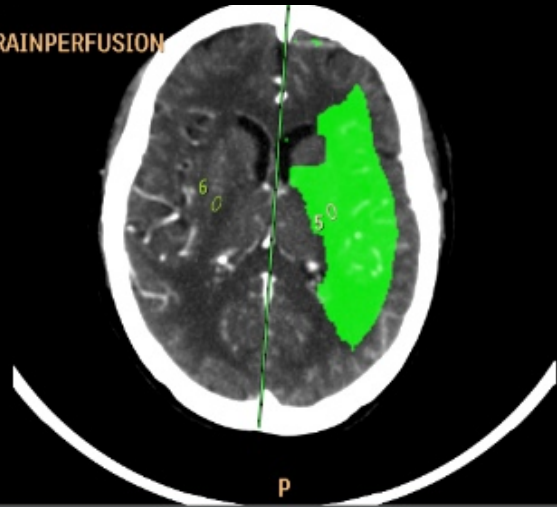


P-CT MULTI MODAL ANALYSIS

View size: 1043 x 601
0.5 PERFLUORENCE BRAINPERFUSION
WL: 127 WW: 255
50,9 mm

C

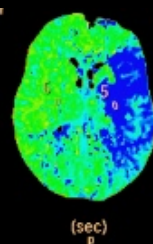
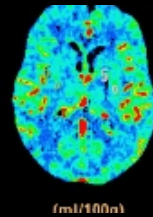
R



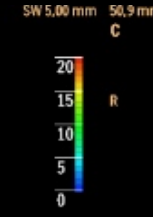
Statistiche ROI per slice 5

N° ROI	CBV (mV100 g)	CBF (mL/100 g/min)	MTT	TTP
5	5,63	16,96	19,92	37,52
6	4,77	31,37	9,12	28,26

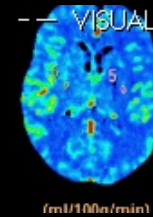
Philips, Brilliance 64
16 Nov, 2011 17.11.45.00
80 kV
FOV 220,0 mm SW 5,00 mm
Z 1,00
C 81 W 127
10 cm



(sec)



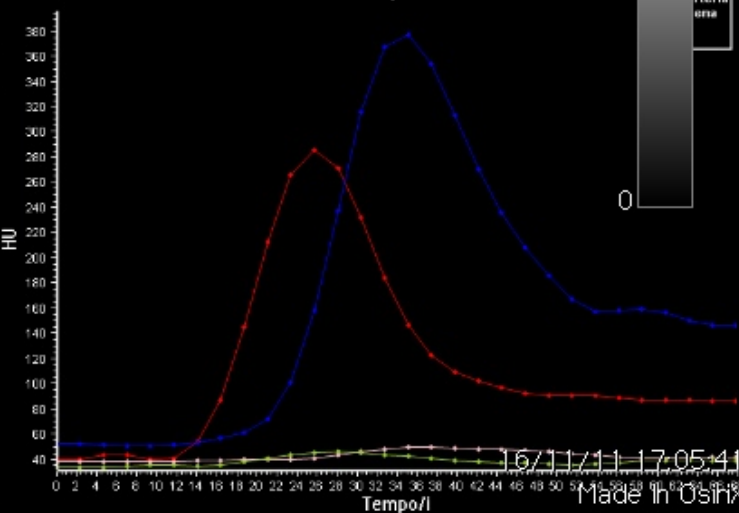
(sec)

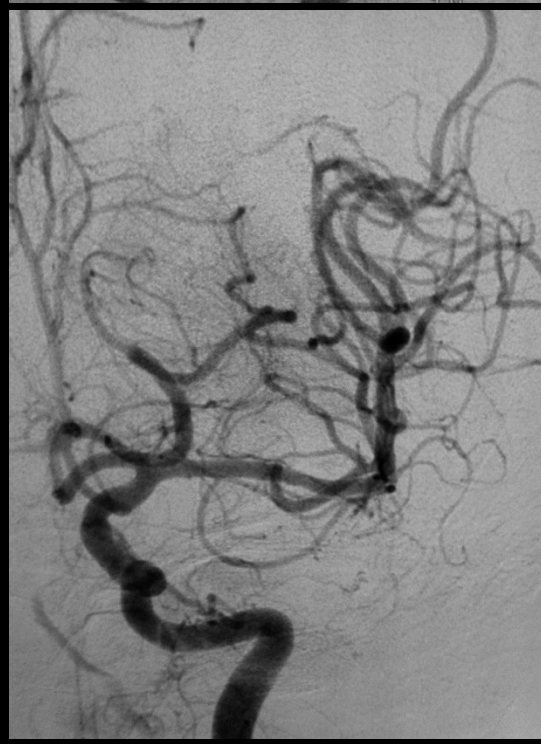
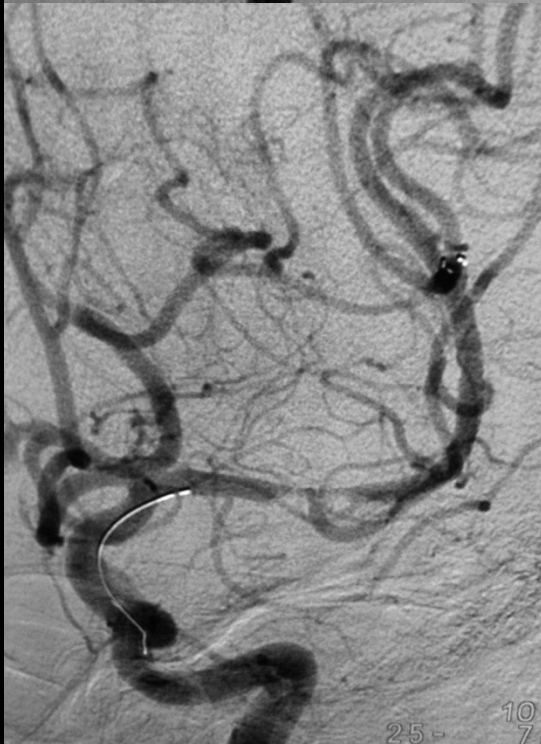
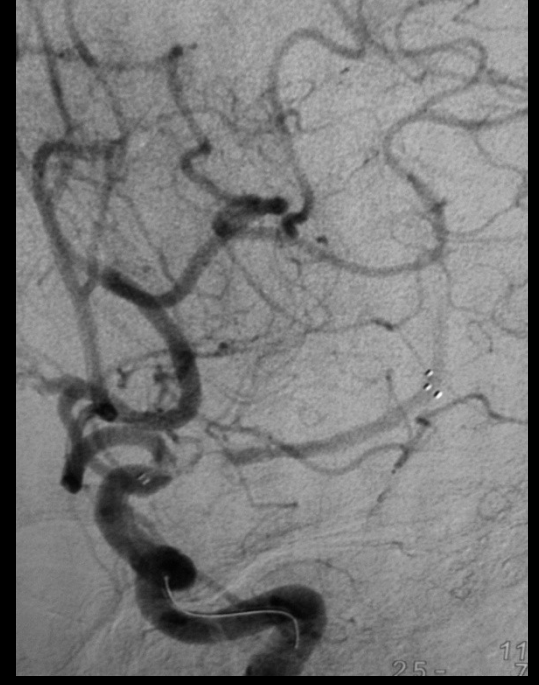
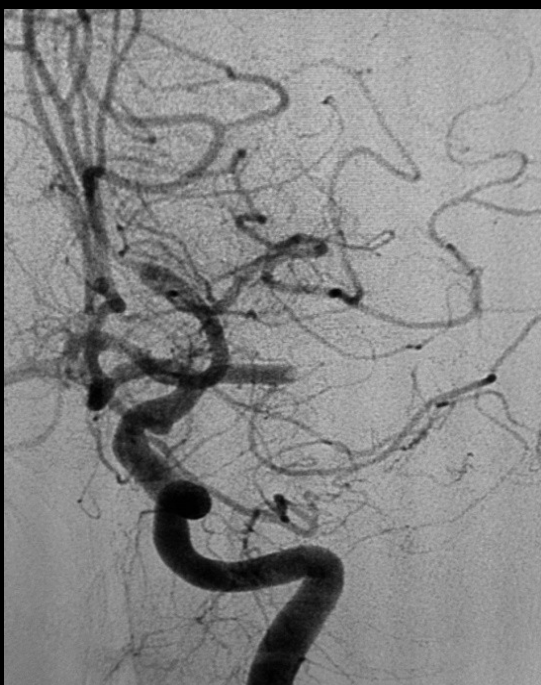


(sec)

255

Statistiche ROI per slice 5



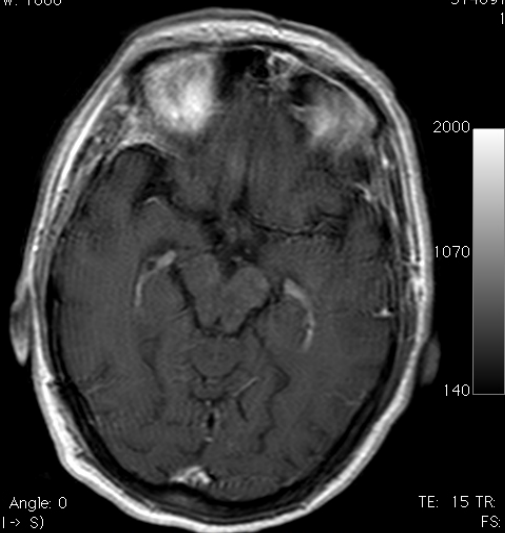


512x512
01 x 601
80
SETTIMI MARIA ASSUNTA 15177 RIANIMAZIONE (79 y)
CRANIO ROUTINE 2mm Volum-Head - ENCEFALO S. MDC
22248
2

Angle: 0
(1 → S)
id
00 mm Location: 51.10 mm P
17/11/11 12:31:14
Made In OsiriX

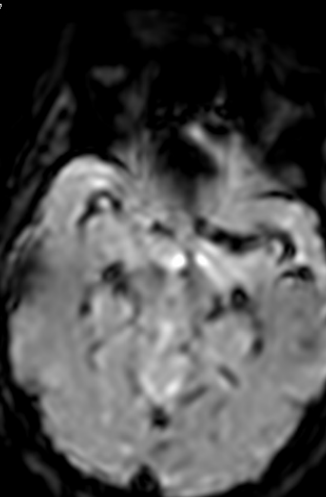
View size: 601 x 601
WL: 1070 WW: 1860

T1W_SE_MDC CLEAR — T1W_SE_MDC View size: 601 x 601
374697776 WL: 953 WW: 1657
1001

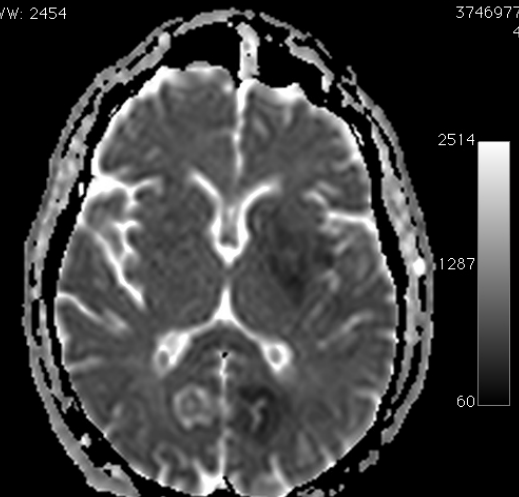


Zoom: 209% Angle: 0
Im: 9/22 (I > S)
Uncompressed
Thickness: 5.00 mm Location: -0.18 mm PI

TE: 15 TR: 596 Zoom: 313% Angle: 0
FS: 1.5 Im: 348/880
17/11/11 19:05:33 Uncompressed
Made In Osirix Thickness: 5.00 mm Location: -0.12 mm PI



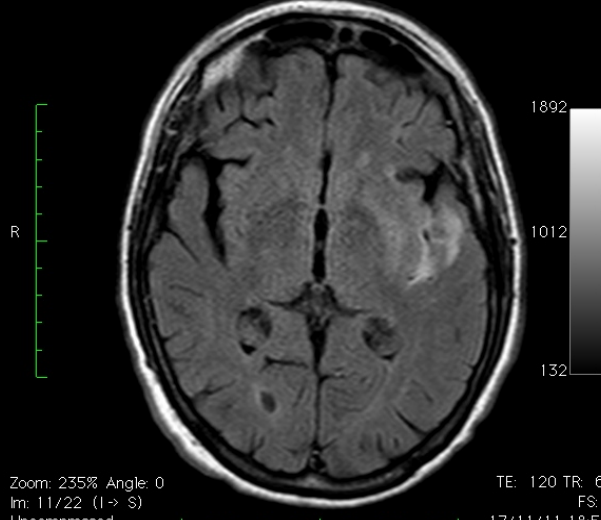
Perfusion_2D SENSE — Perfusion_2D
374697776 WL: 2454
901



TE: 71.7 TR: 3100.7
FS: 1.5
17/11/11 18:56:21
Made In Osirix

View size: 601 x 601
WL: 1012 WW: 1760

T2W_FLAIR CLEAR — T2W_FLAIR
374697776
301



Zoom: 235% Angle: 0
Im: 11/22 (I > S)
Uncompressed
Thickness: 5.00 mm Location: 11.33 mm PI

TE: 120 TR: 6000
FS: 1.5
17/11/11 18:54:44
Made In Osirix

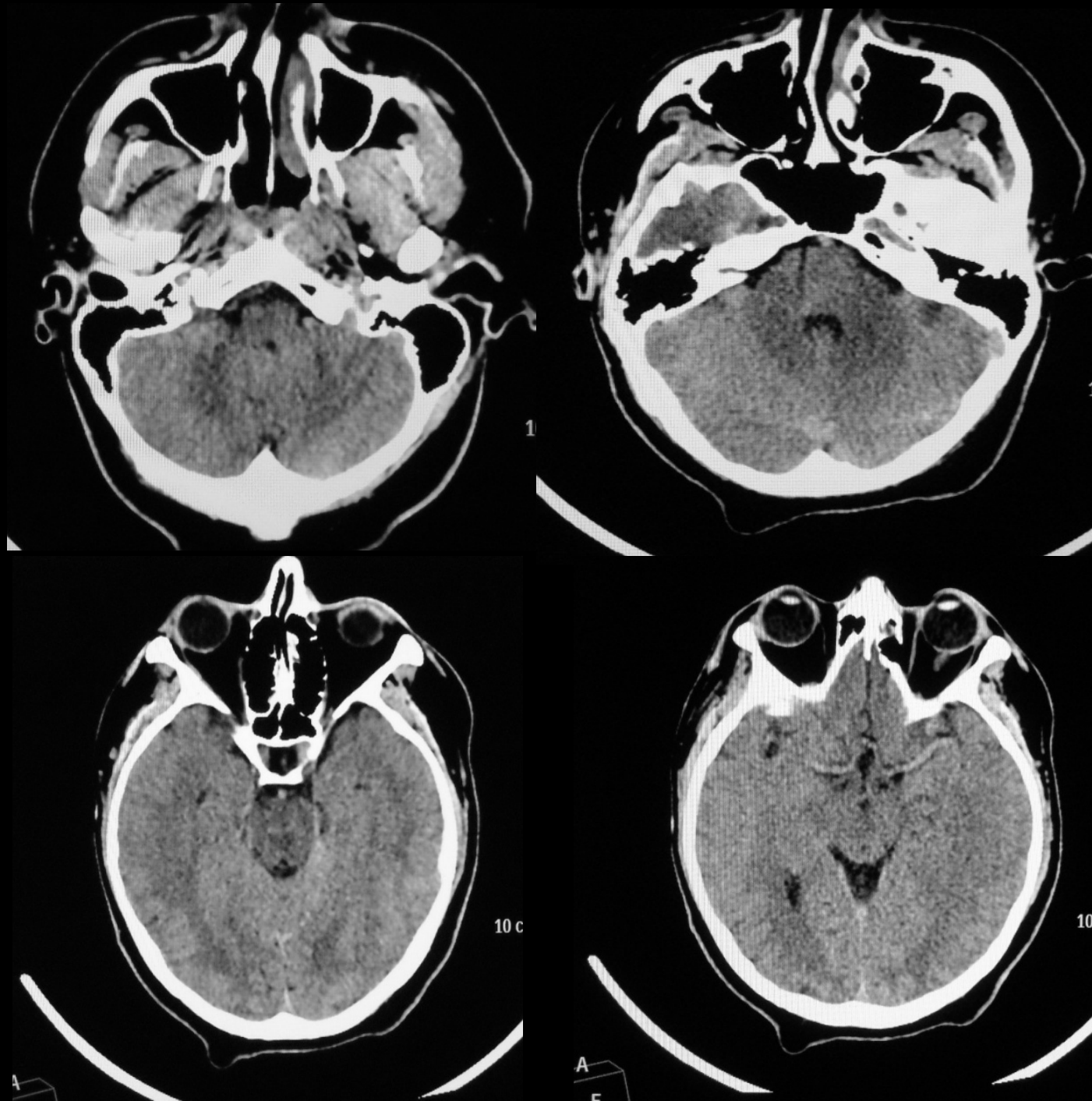
WL: 40 WW: 80

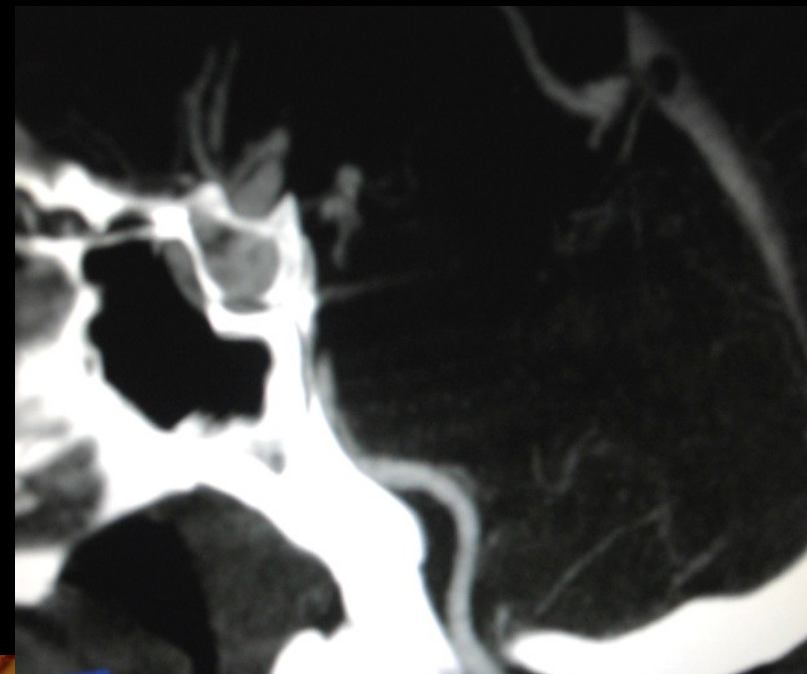
22498
2



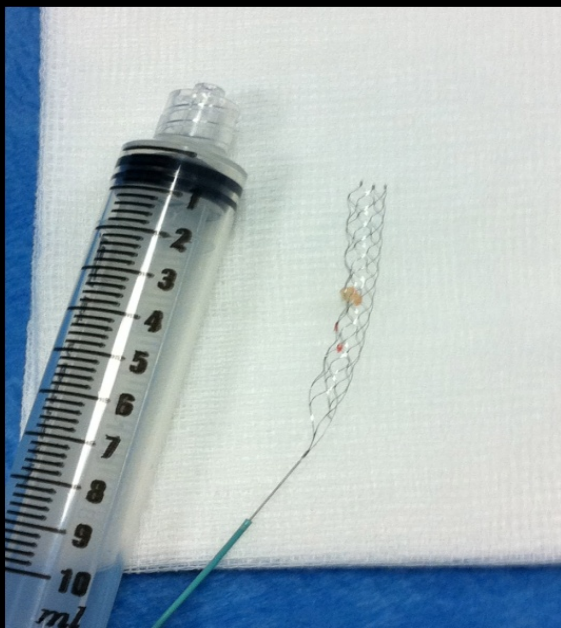
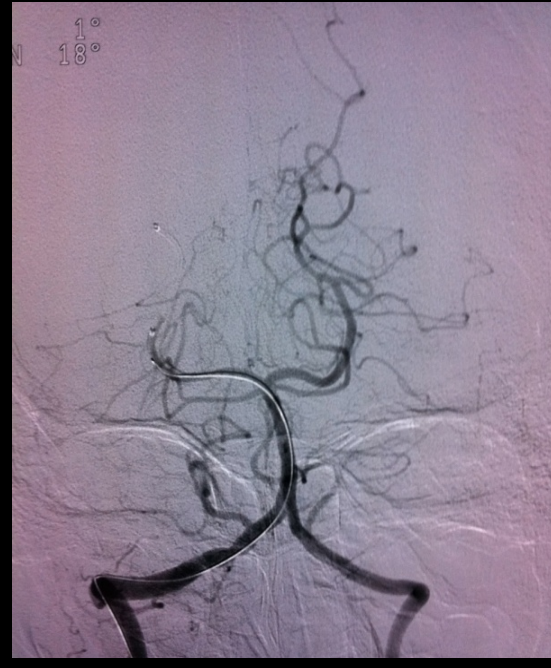
Zoom: 117% Angle: 0
Im: 77/142 (I > S)
Uncompressed
Thickness: 2.00 mm Location: 142.20 mm P
24/11/11 17:02:13
Made In Osirix

C.A. M 19 Y
Onset 4,5h
Ataxia
Vertigo
NIHSS 18





21:00 intra arterial Embolectomy + Actilyse



SW 2,02 ml
Z 1,0

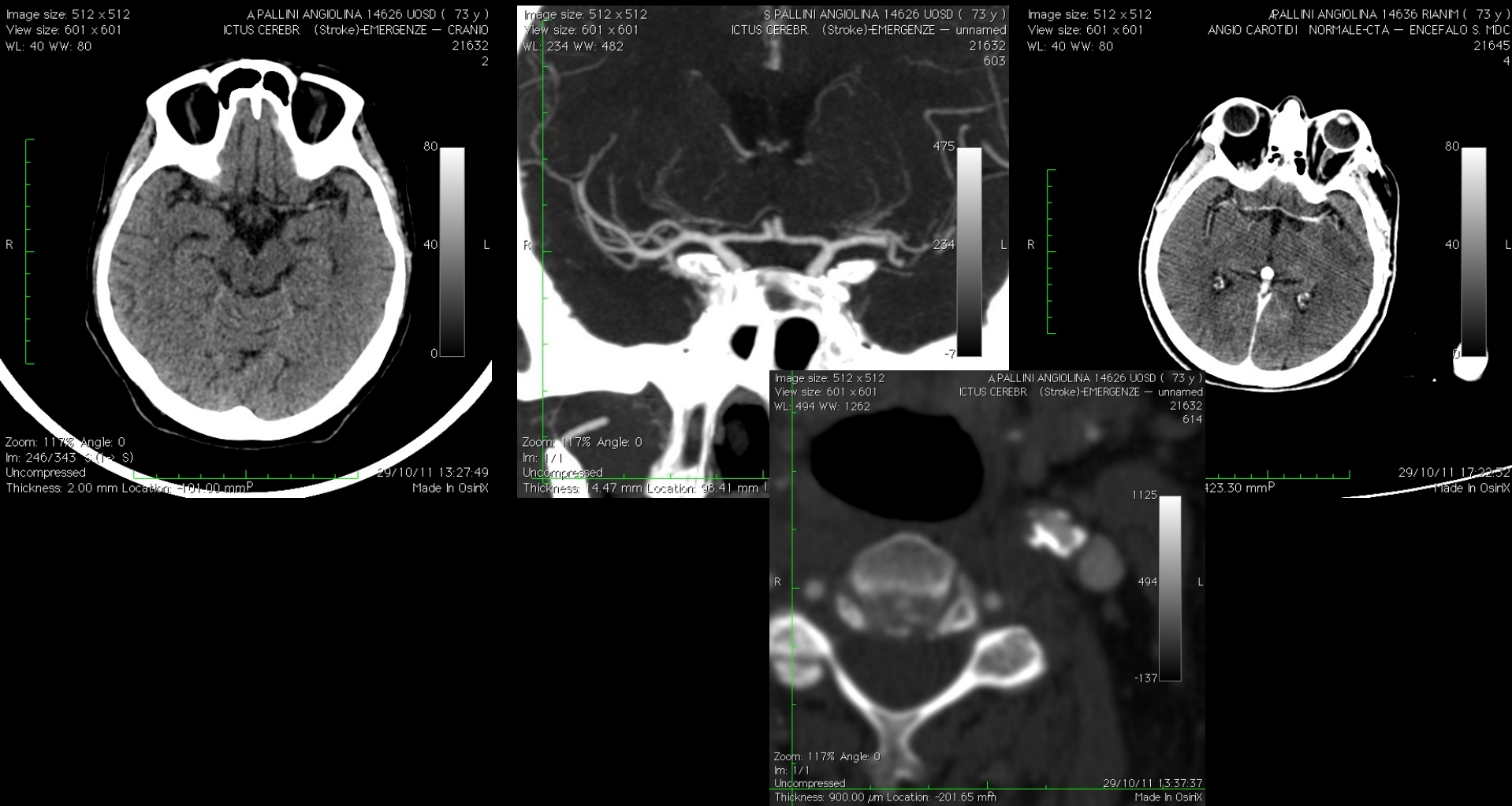
10 cm

10 cm

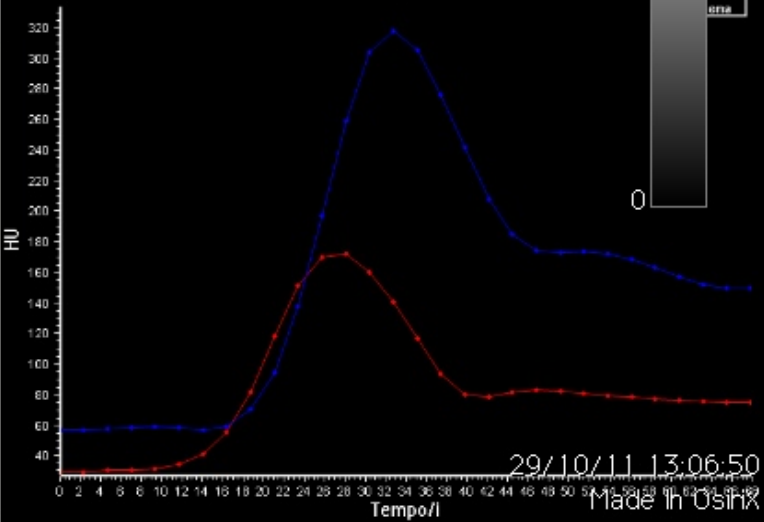
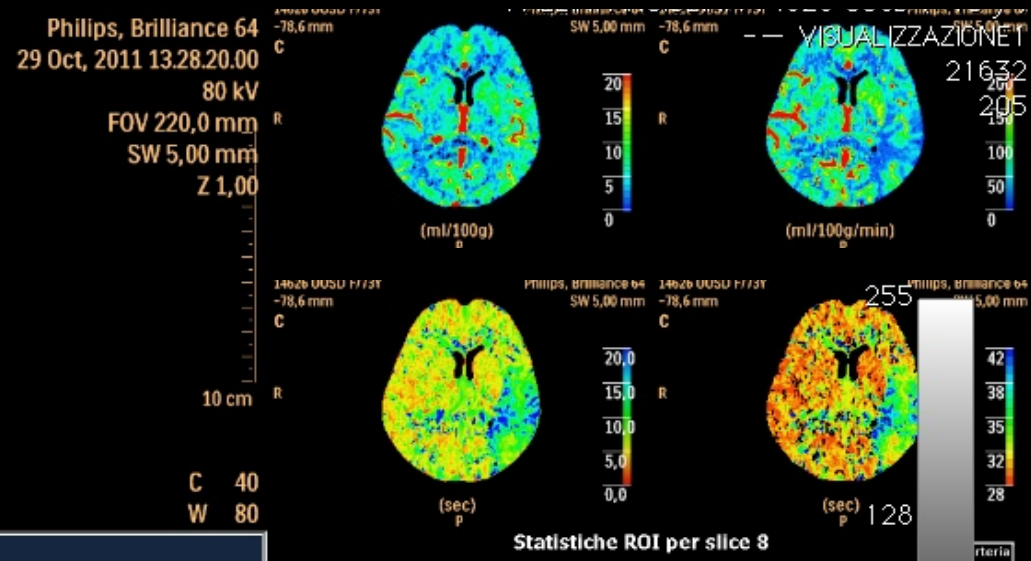
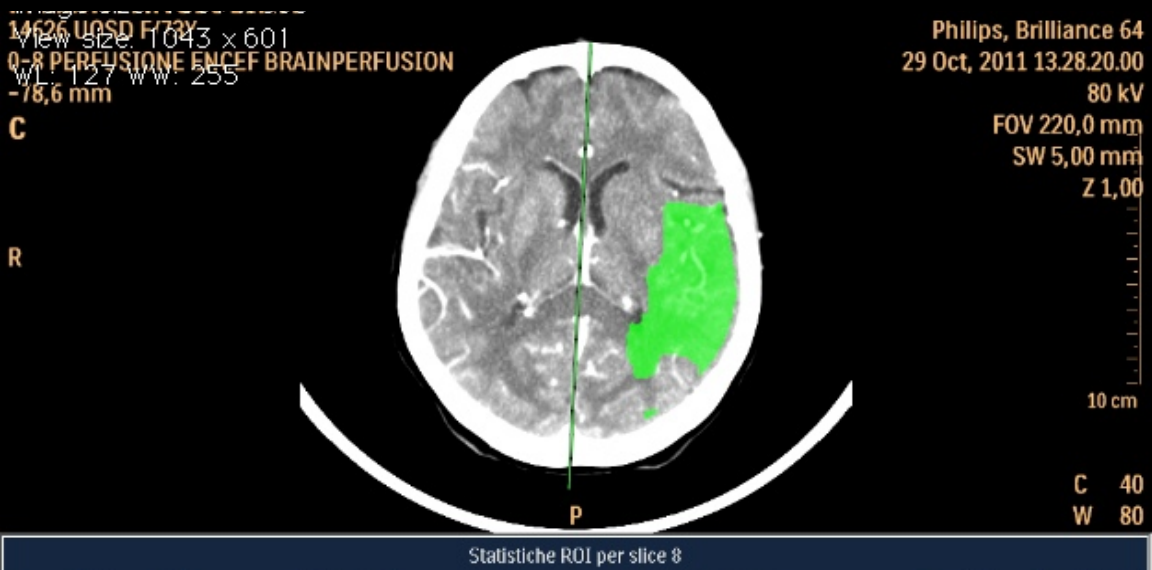
10 cm



(P.A.) F, 77 aa
4h onset, Right hemiplegia, afasia,
Diabetic, NIHSS 21



P-CT MULTI MODAL ANALYSIS





size: 512 x 512
ze: 601 x 601
WW: 80

PALLINI ANGOLINA 16643-RIANIMAZIONe: 512 x 512
CRANIO ROUTINE 2mm Volum Head - ENCEPH: 601 x 601
WW: 260

PALLINI ANGOLINA 16643-RIANIMAZIONe: 512 x 512
ze: 601 x 601
WW: 284

PALLINI ANGOLINA 16643-RIANIMAZIONe: 512 x 512
ICTUS CEREBR. (Stroke)-EMERGENZE ze: 601 x 601
3 WW: 387

PALLINI ANGOLINA 16643-RIANIMAZIONe: 512 x 512
ICTUS CEREBR. (Stroke)-EMERGENZE ze: 601 x 601

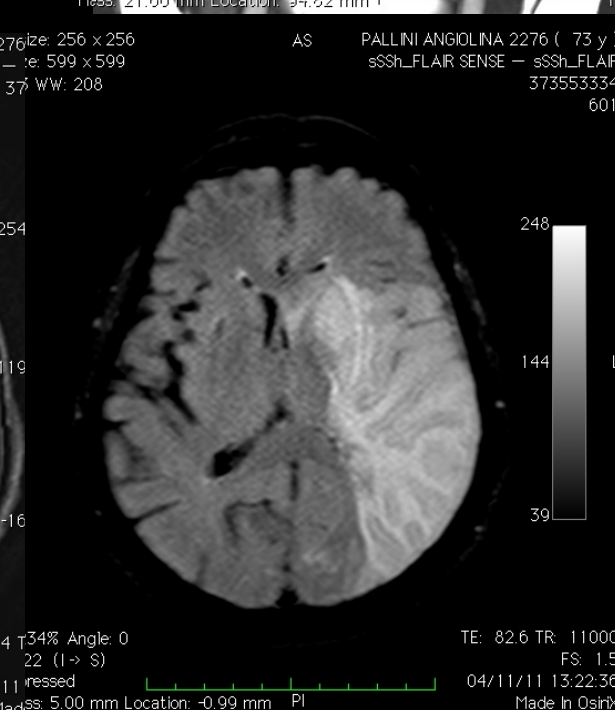
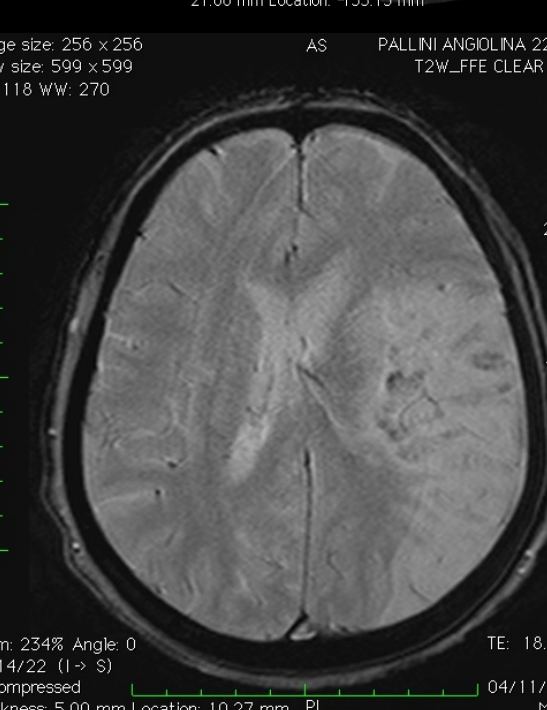
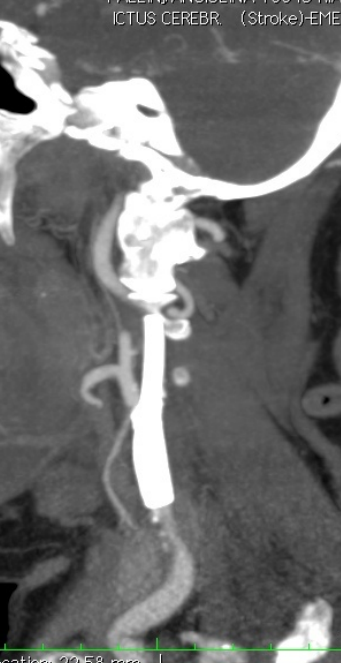
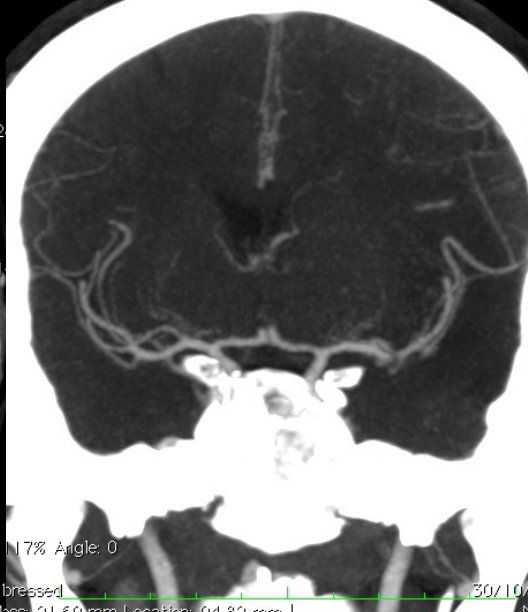


Image size: 512 × 512
View size: 601 × 601
WL: 40 WW: 80

PALLINI ANGIOLINA 15379 -NEUROL (Image size: 512 × 512
CRANIO ROUTINE 2mm Volum Head — ENCEFALO S View size: 601 × 601
WL: 40 WW: 80

PALLINI ANGIOLINA 15379 -NEU Image size: 512 × 512
CRANIO ROUTINE 2mm Volum Head — ENCE View size: 601 × 601
WL: 40 WW: 80

PALLINI ANGIOLINA 15379 -NEUROL (73 y)
CRANIO ROUTINE 2mm Volum Head — ENCEFALO S. MDC
22467
2

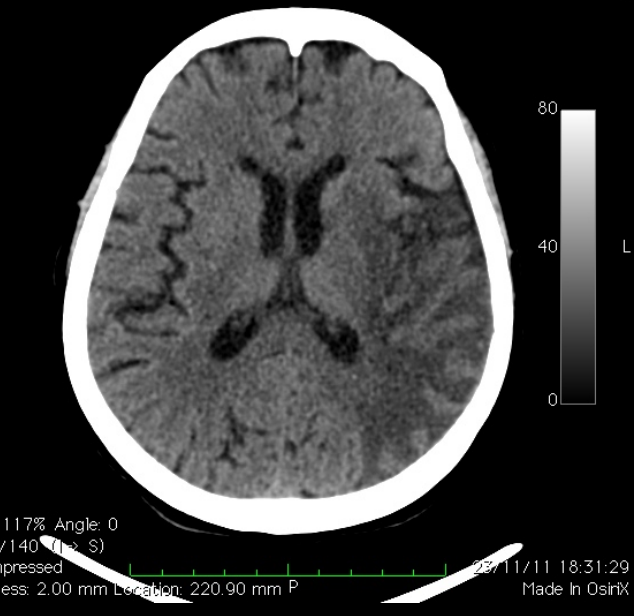
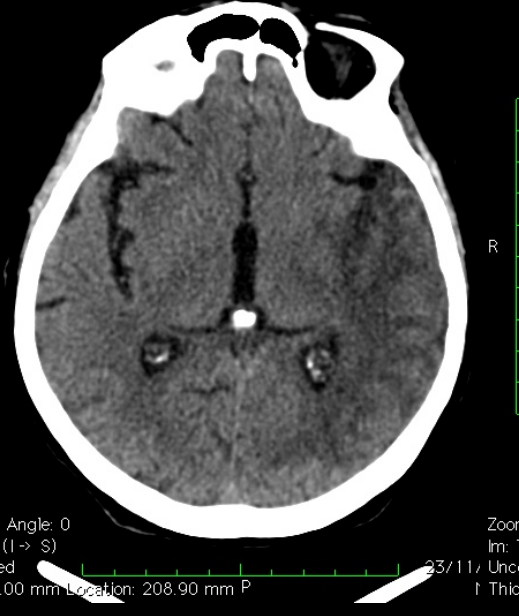
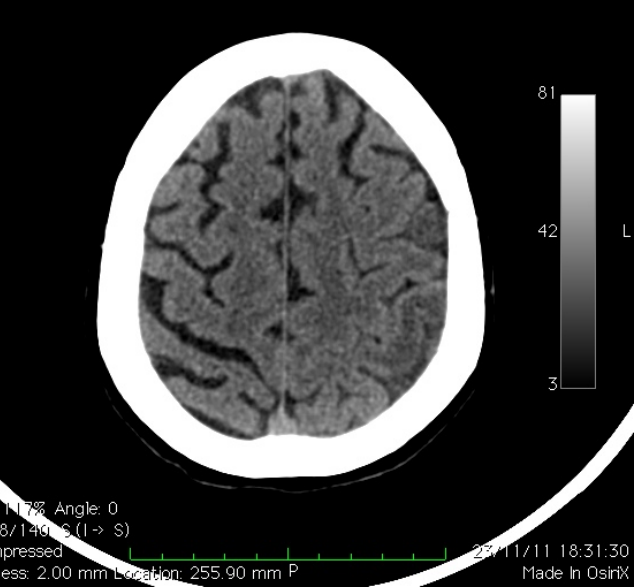
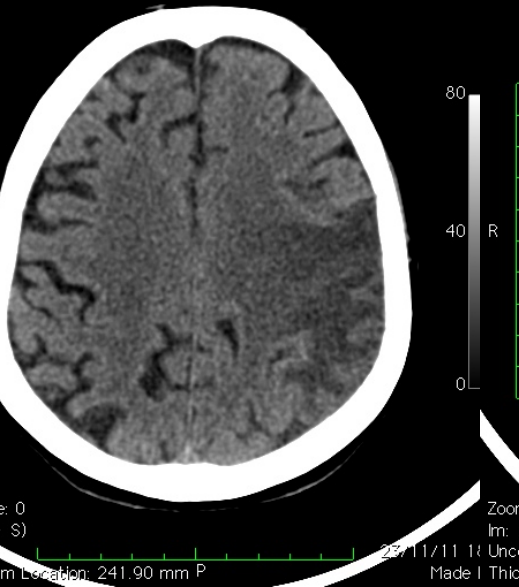
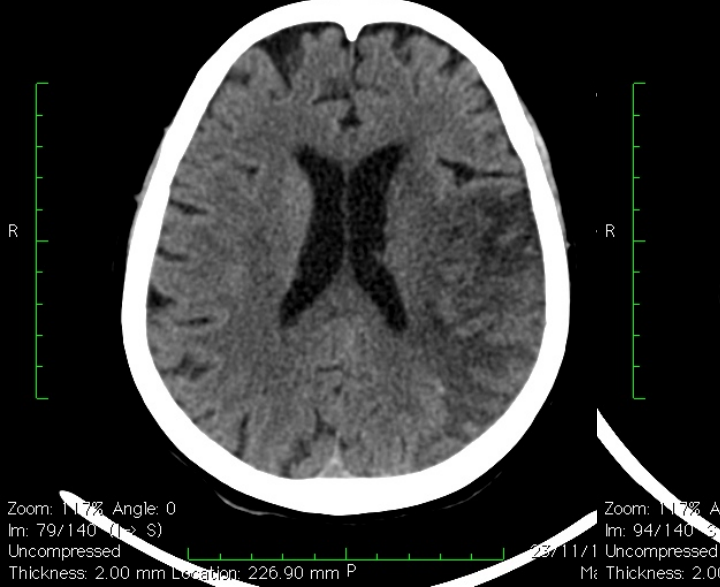


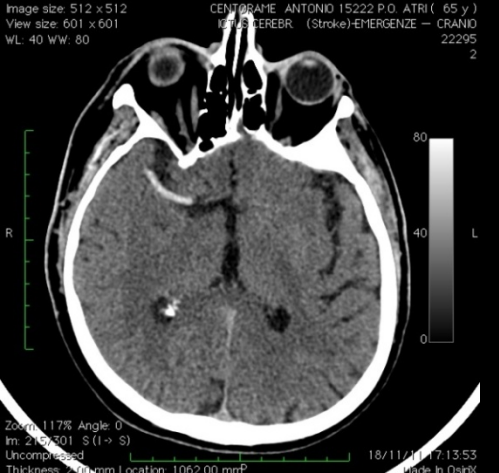
Image size: 512 × 512
View size: 601 × 601
WL: 40 WW: 80

PALLINI ANGIOLINA 15379 -NEUROL Image size: 512 × 512
CRANIO ROUTINE 2mm Volum Head — ENCEF, View size: 601 × 601
WL: 40 WW: 80

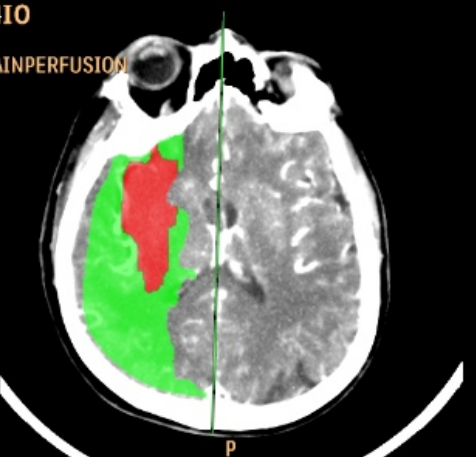
PALLINI ANGIOLINA 15379 -NEUROL (Image size: 512 × 512
CRANIO ROUTINE 2mm Volum Head — ENCEFALO View size: 601 × 601
WL: 42 WW: 78

PALLINI ANGIOLINA 15379 -NEUROL (73 y)
CRANIO ROUTINE 2mm Volum Head — ENCEFALO S. MDC
22467
2

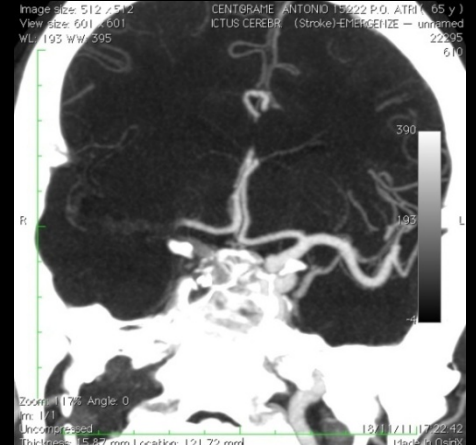
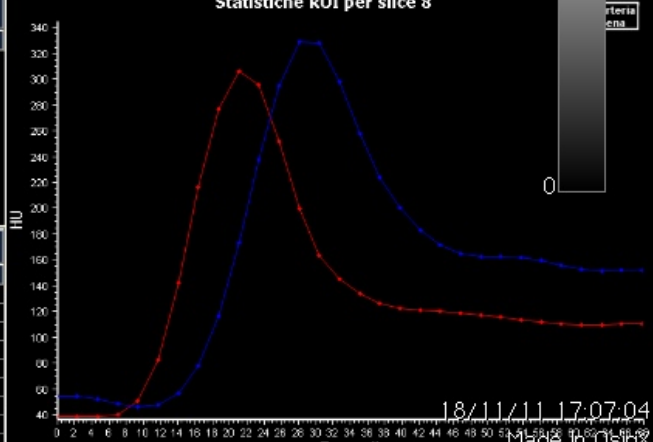


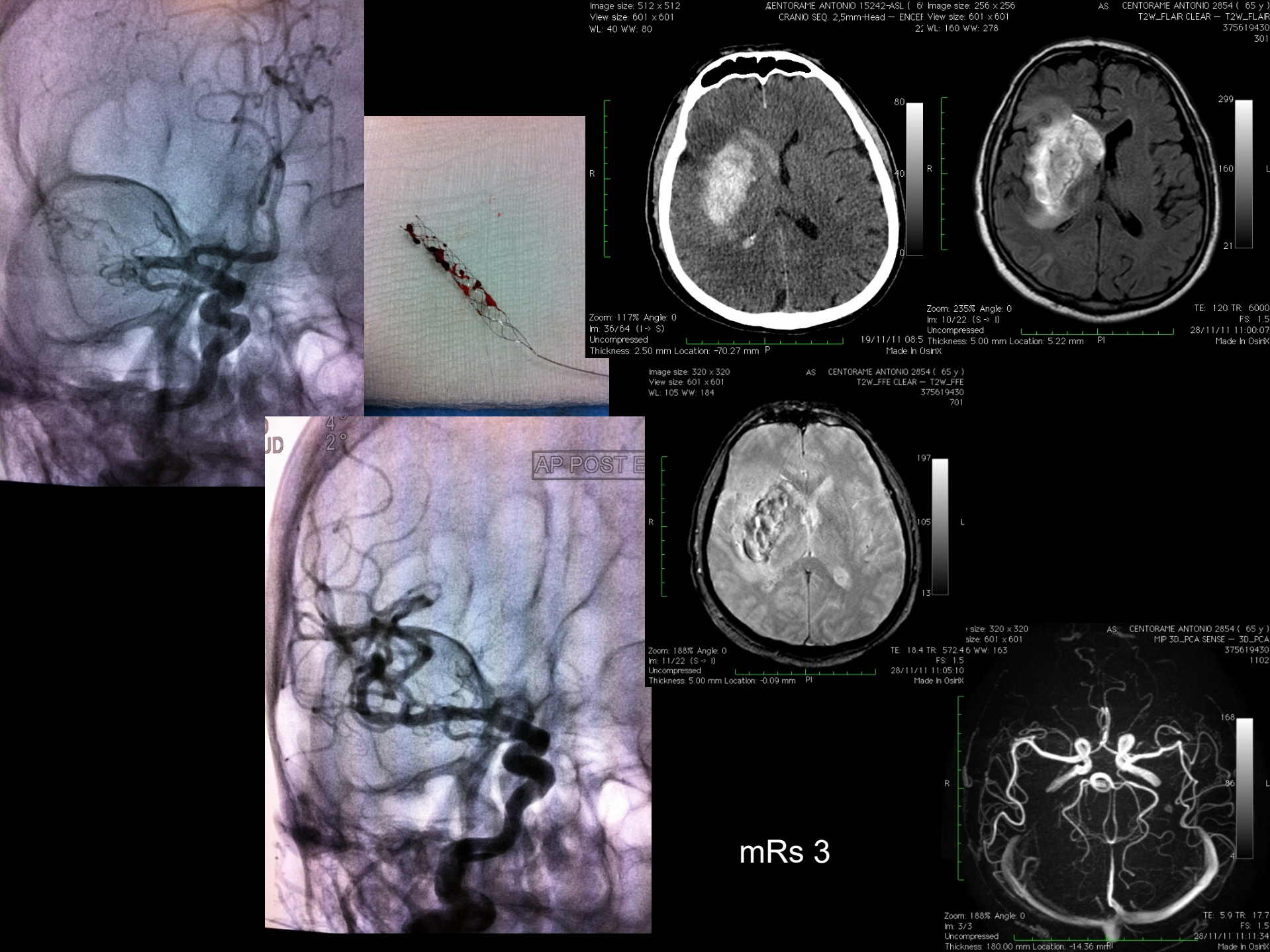


(C.A.) M, 65 y, onset 3h, Left Hemiplegia, visual loss and left deviation of ocular globes, NIHSS 25



O.C. Mazzini Teramo
Philips, Brilliance 64
18 Nov, 2011 17.14.19.00
80 kV
FOV 220,0 mm
SW 5,00 mm
Z 1,00
10 cm
C 40
W 80





30/10/1946

Esami :

Ricostruzioni tridimensionali TC (*) 30786

ANGIO TC ESOCRANICO

ANGIO TC INTRACRANICO

TC CEREBRALE (senza e con contrasto)

P.O. TERAMO Rianimazione

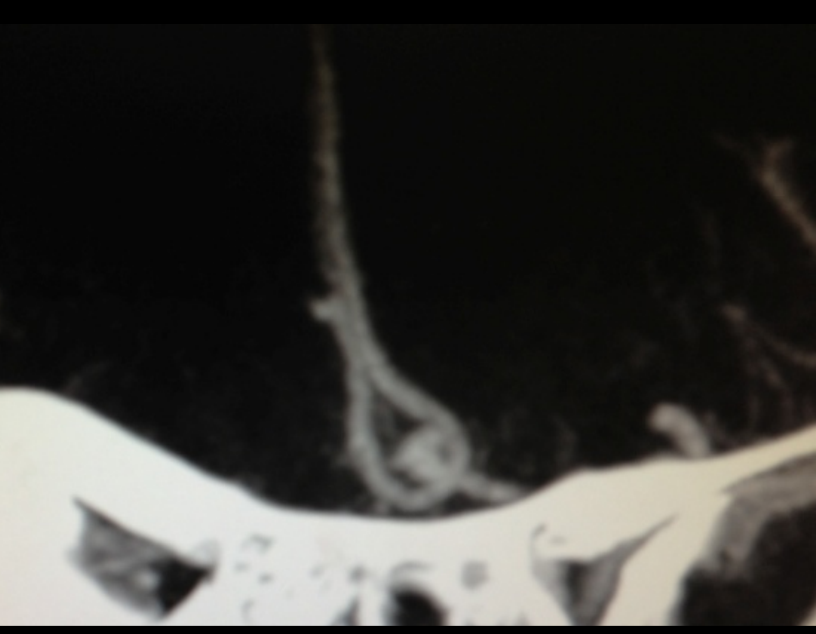
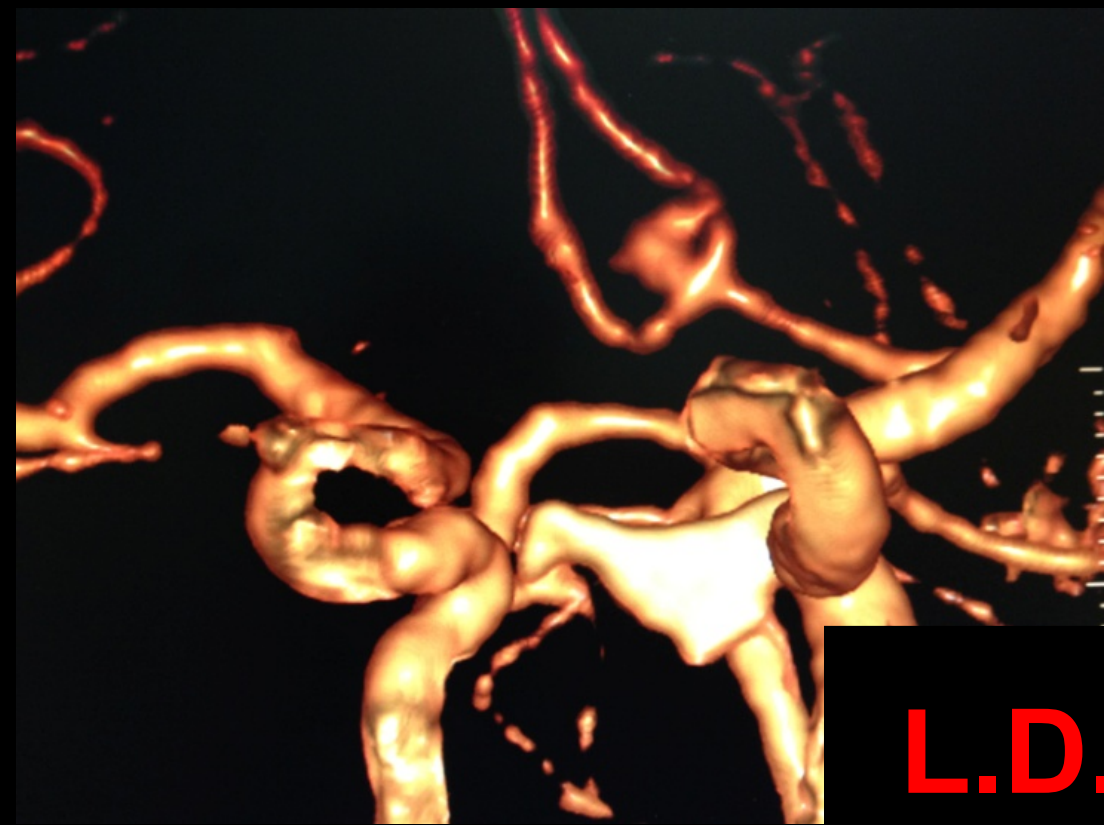
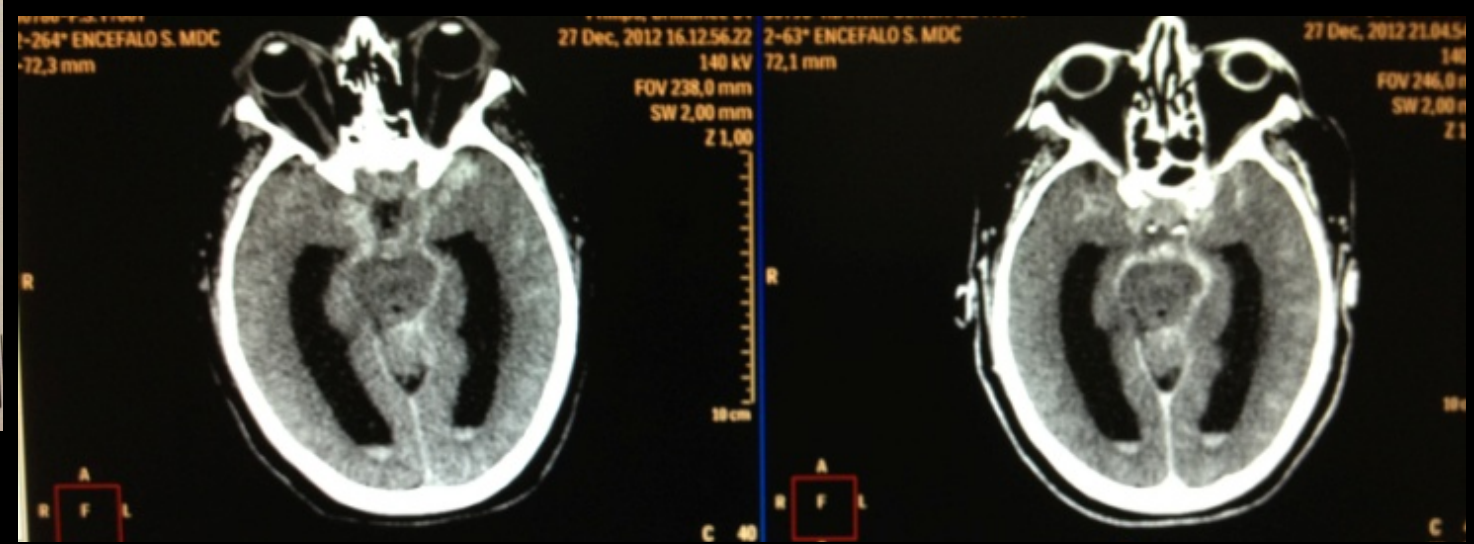
Numero Rich: 121070955

Del 27/12/2012

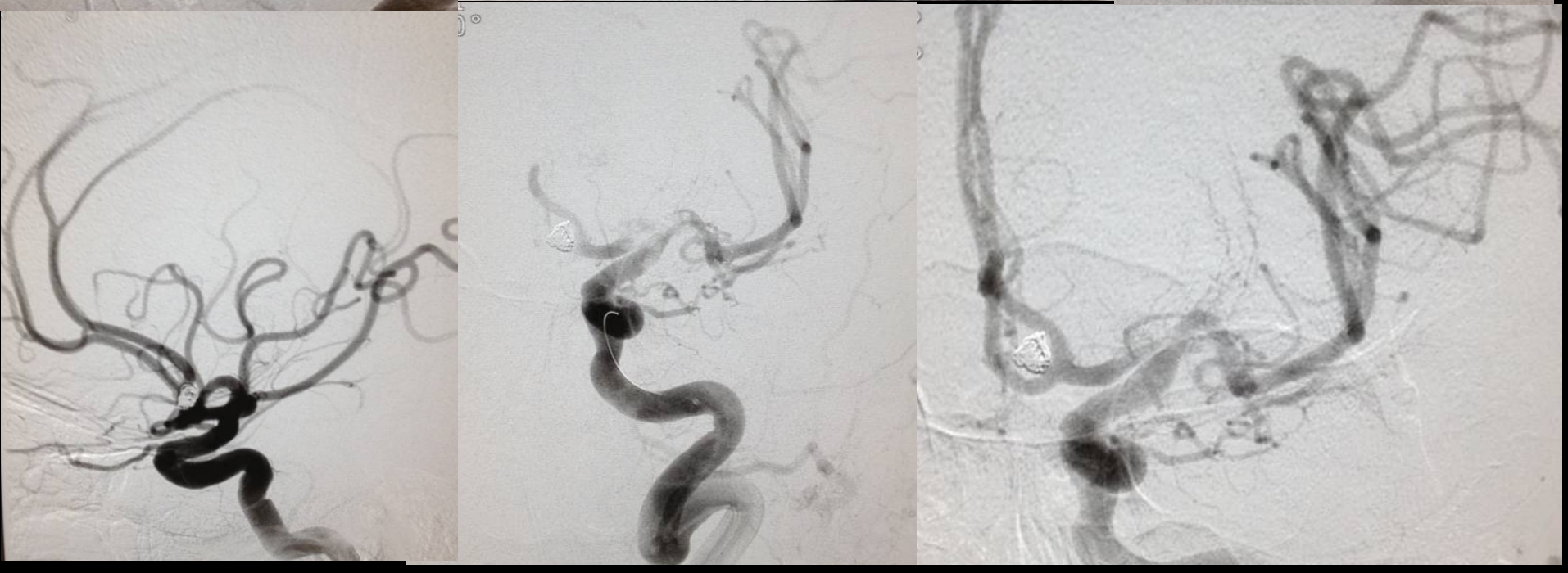
URGENTE



121070955



L.D.D M 67Y ESA



**B. A. DONNA 41 ANNI
EMPILEGIA F.B.C. SN
DEV. SGUARDO yp
TC NEG. IN ALTRA SEDE
SOSPETTO INF. ACM DX**

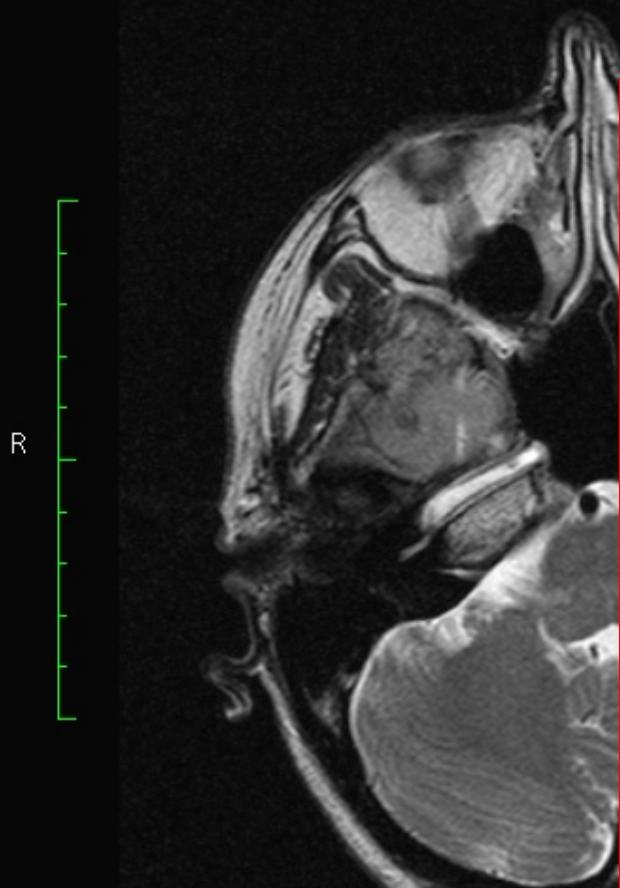
Image size: 512 x 512

View size: 635 x 635

WL: 917 WW: 1936

DICOMDIR\10000000000000000000000000000000

40 y , 40 y
T2W/TSE
26285511
401



Zoom: 124% Angle: 0

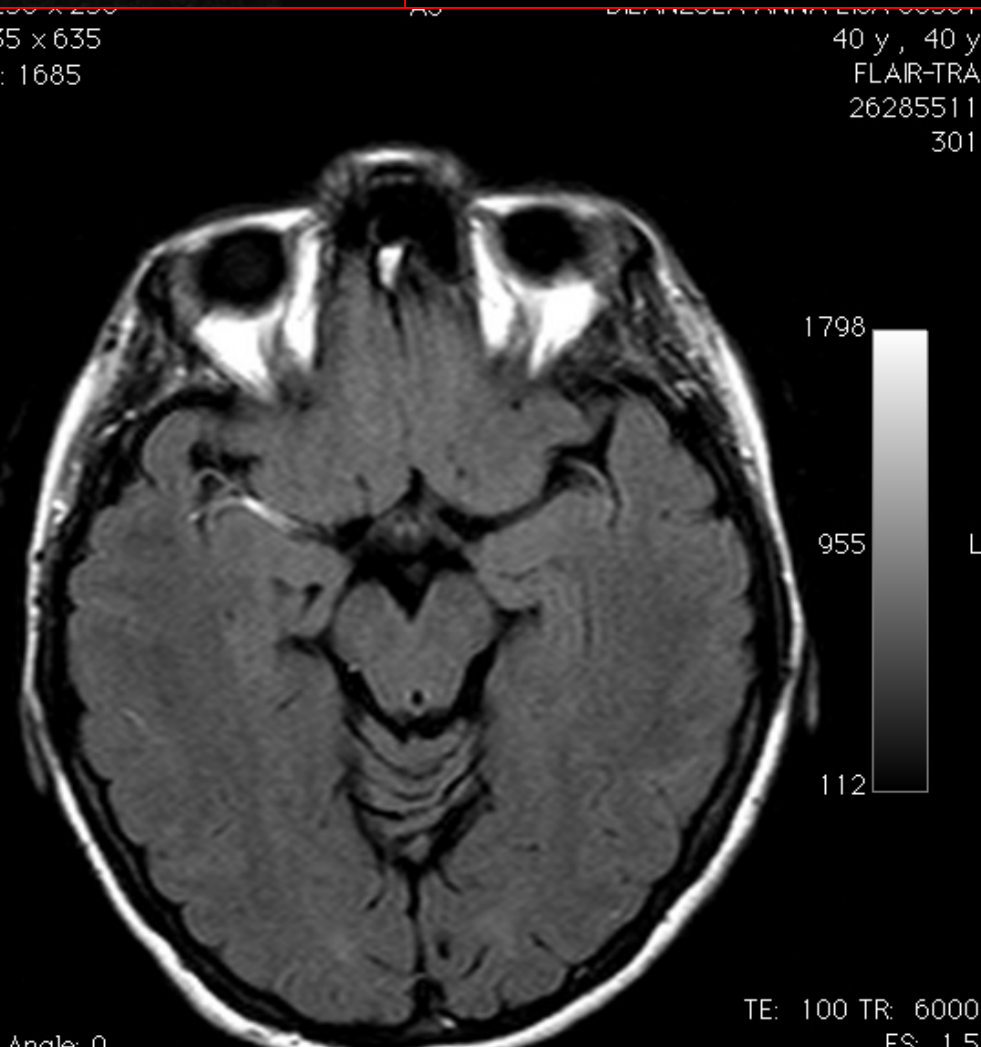
Im: 4/22 1(I > S)

Thickness: 3.00 mm Location: 7.29 mm PI

Image size: 512 x 512

View size: 635 x 635

WL: 955 WW: 1685



Zoom: 248% Angle: 0

Im: 9/22 1(I > S)

Thickness: 5.00 mm Location: 20.61 mm PI

TE: 100 TR: 6000

FS: 1.5

18/05/10 17.56.23

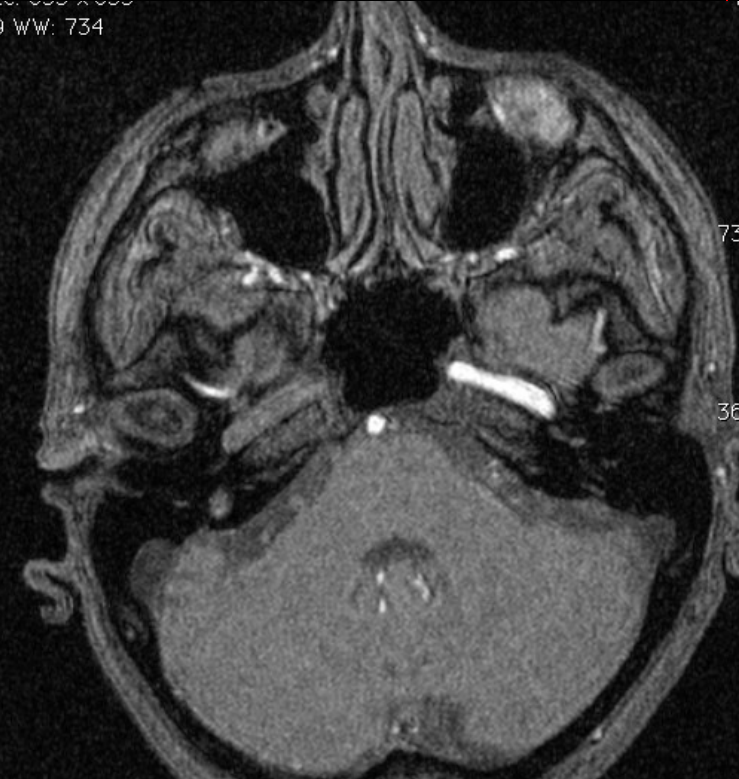
Made In OsiriX

FOV: 320.000 x 320.000
WL: 369 WW: 734

3D/ISO
26285511
501



R

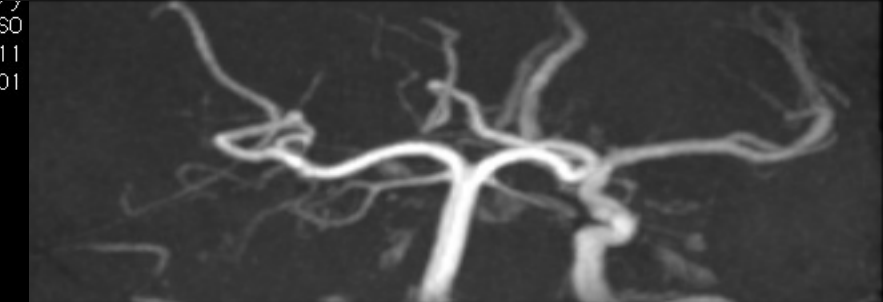


Zoom: 124% Angle: 0

Im: 1/100 I(I → S)

Thickness: 1.00 mm Location: -11.22 mm PI

TE: 3.4 TR: 3
FS: 1.
18/05/10 18:03:4
Made In Osiri



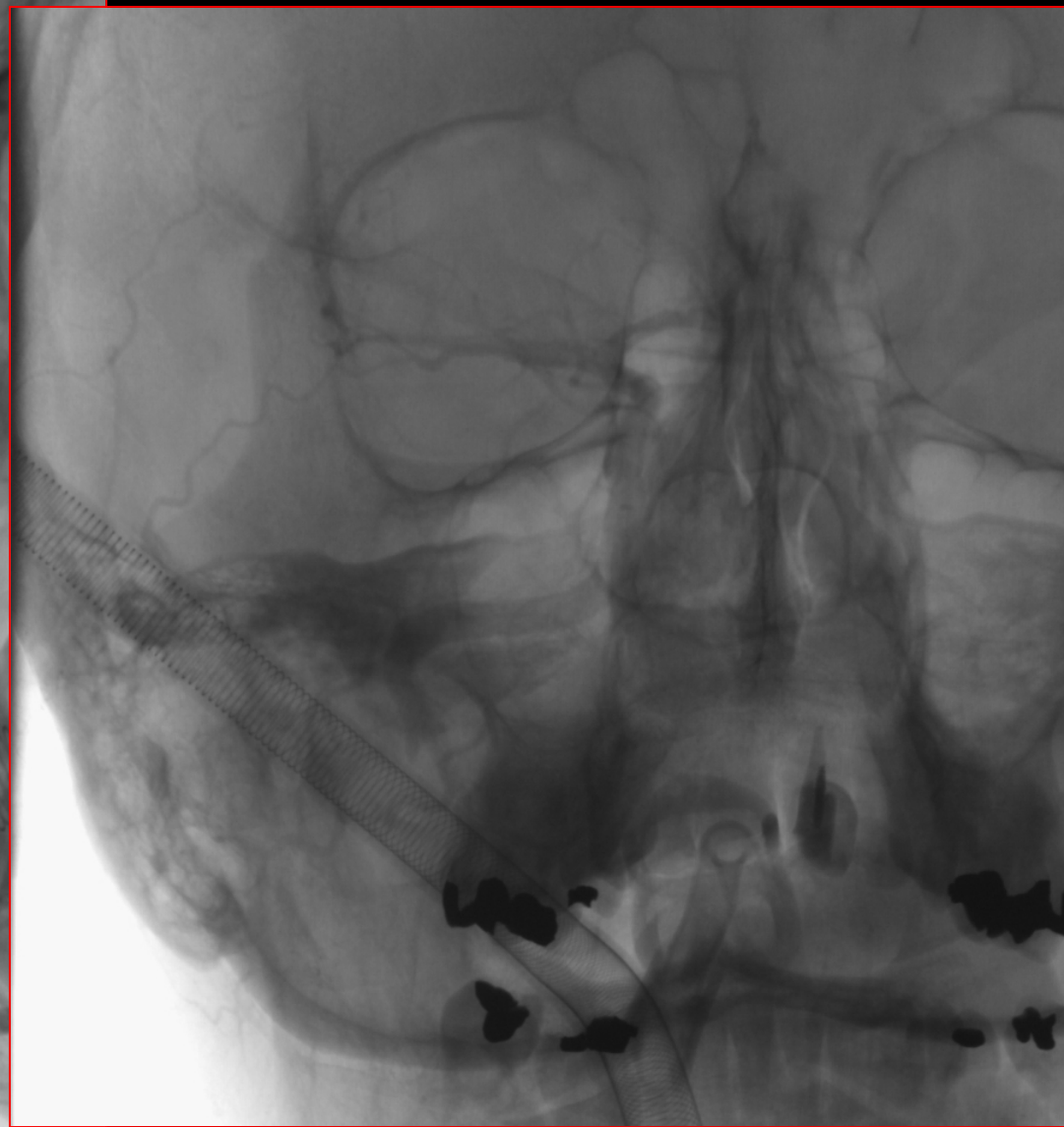
L



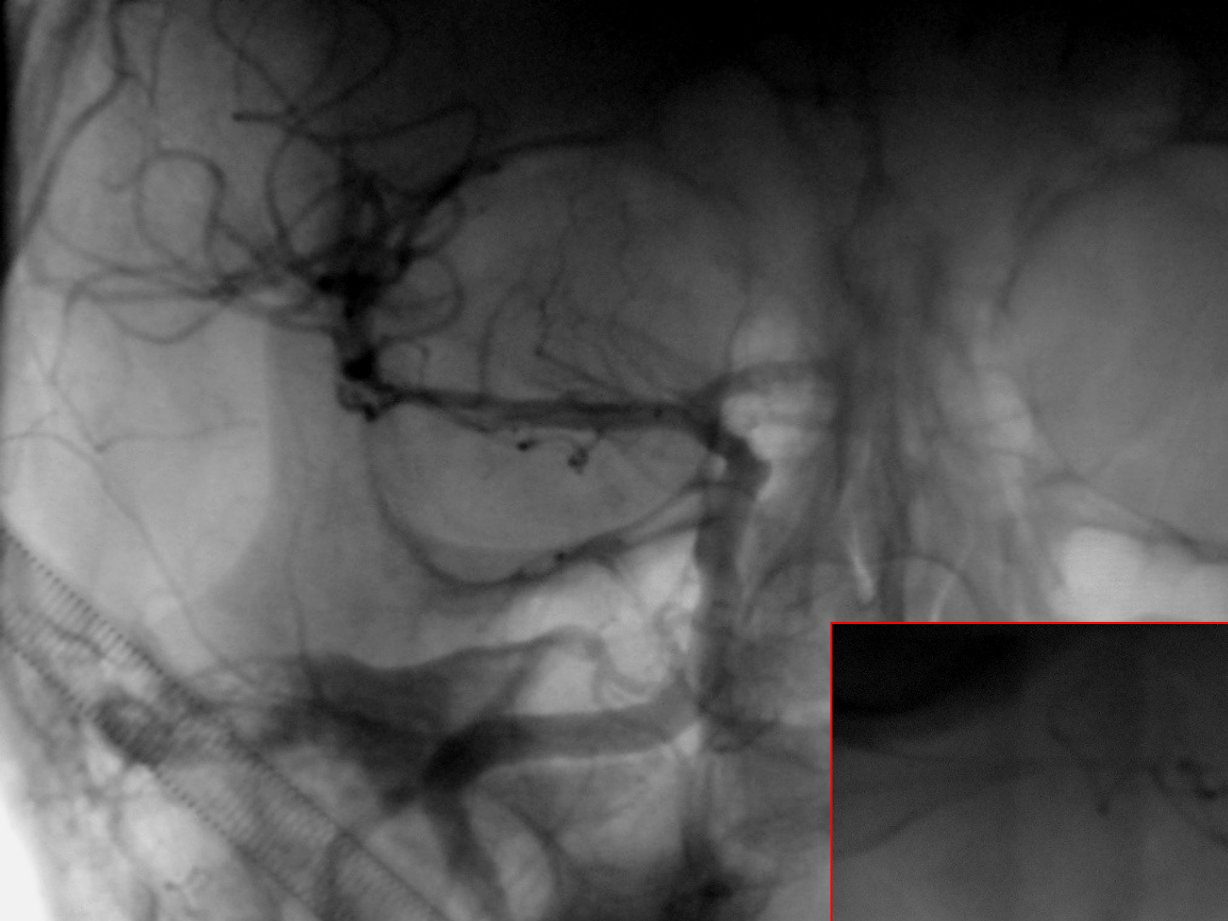
2482 Angle: 0

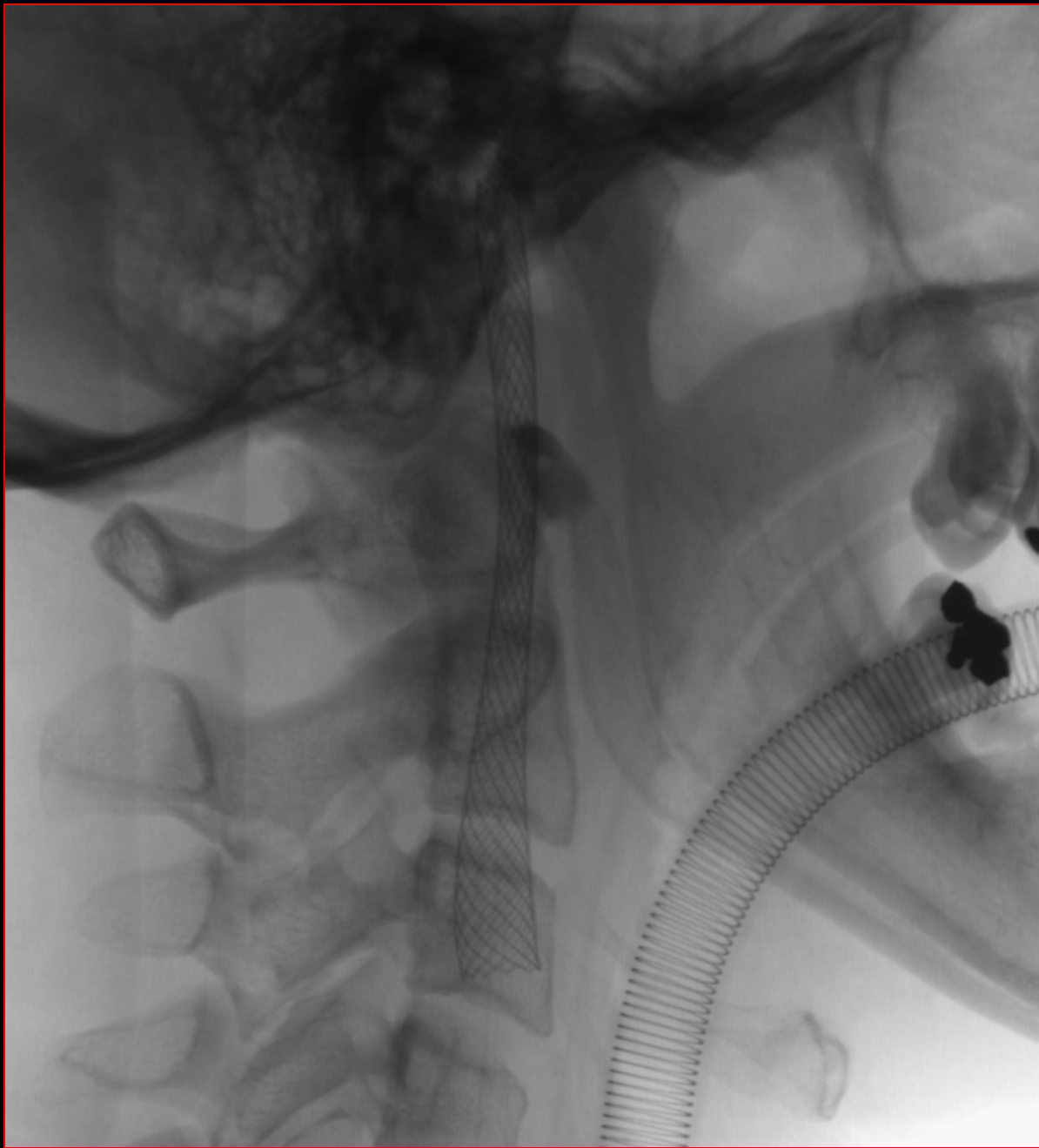


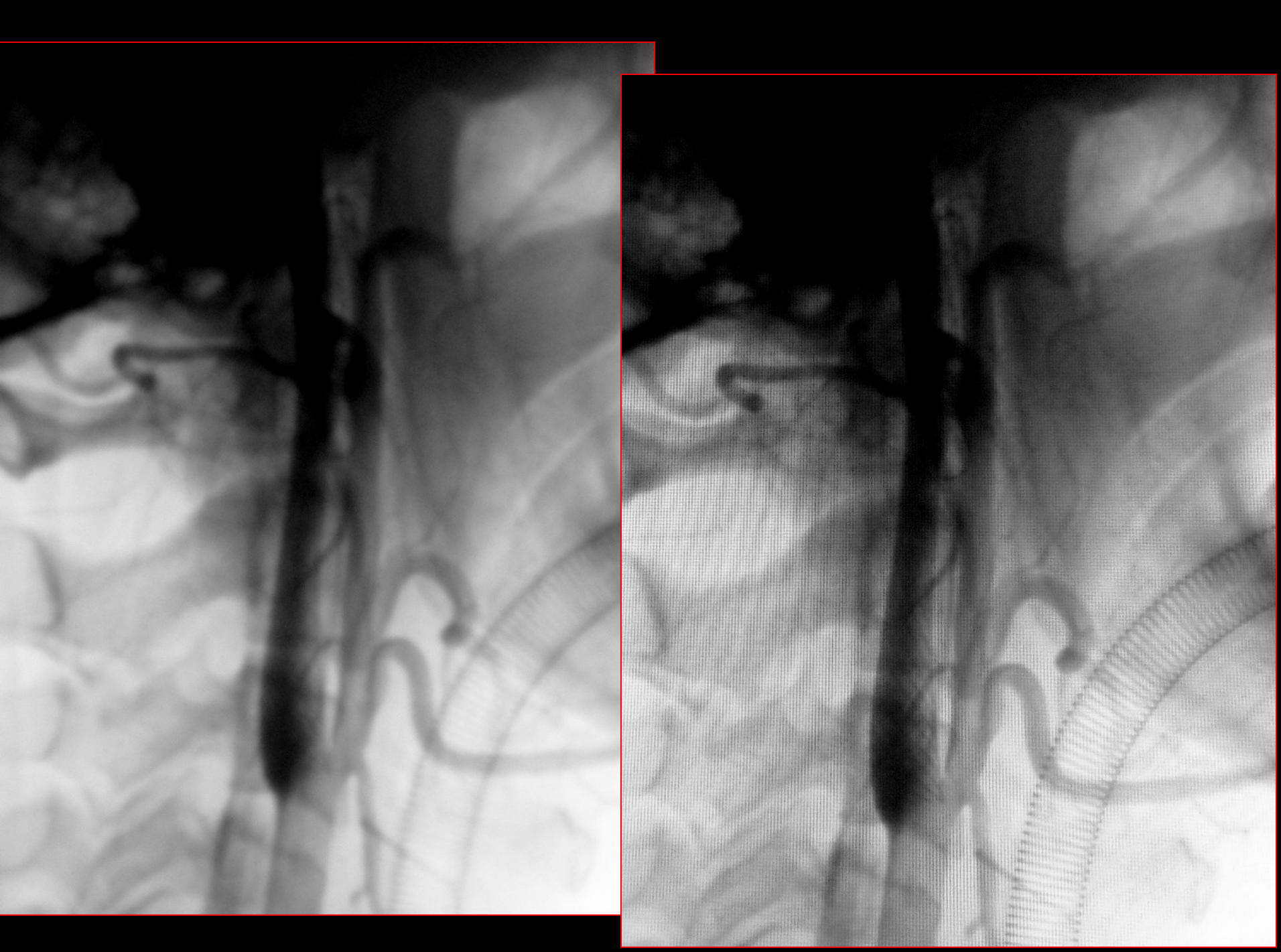
TE: 3.4



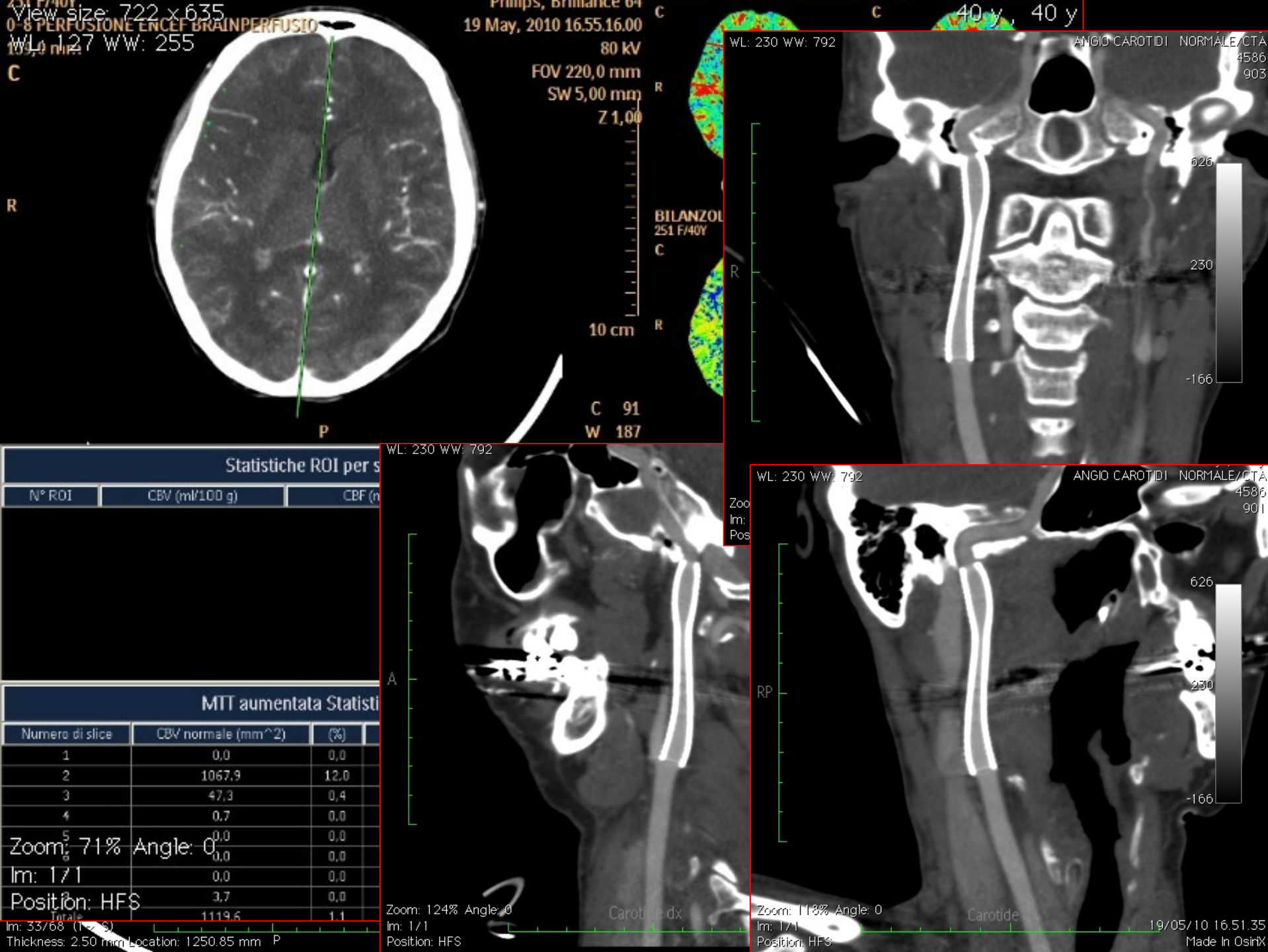


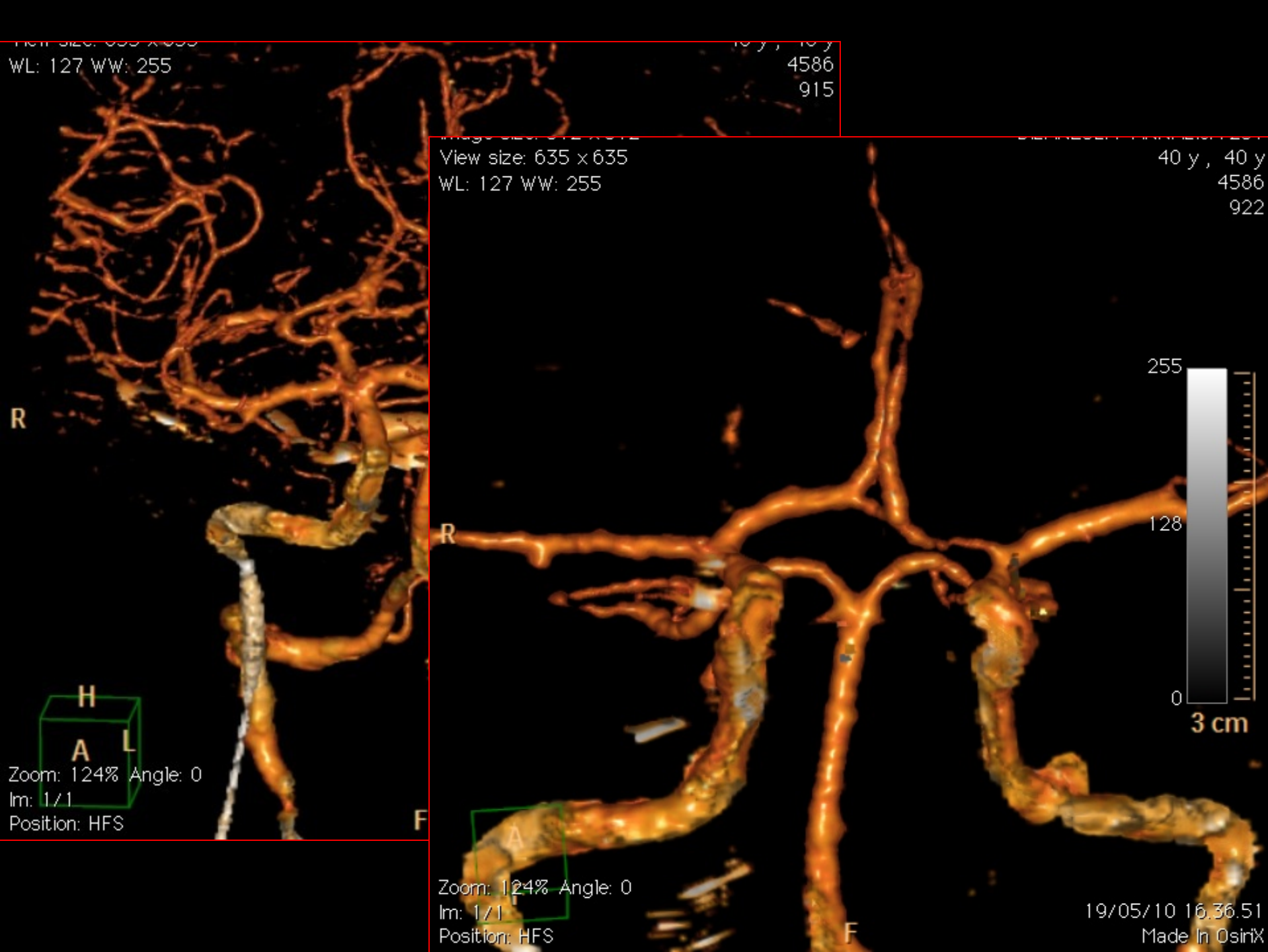


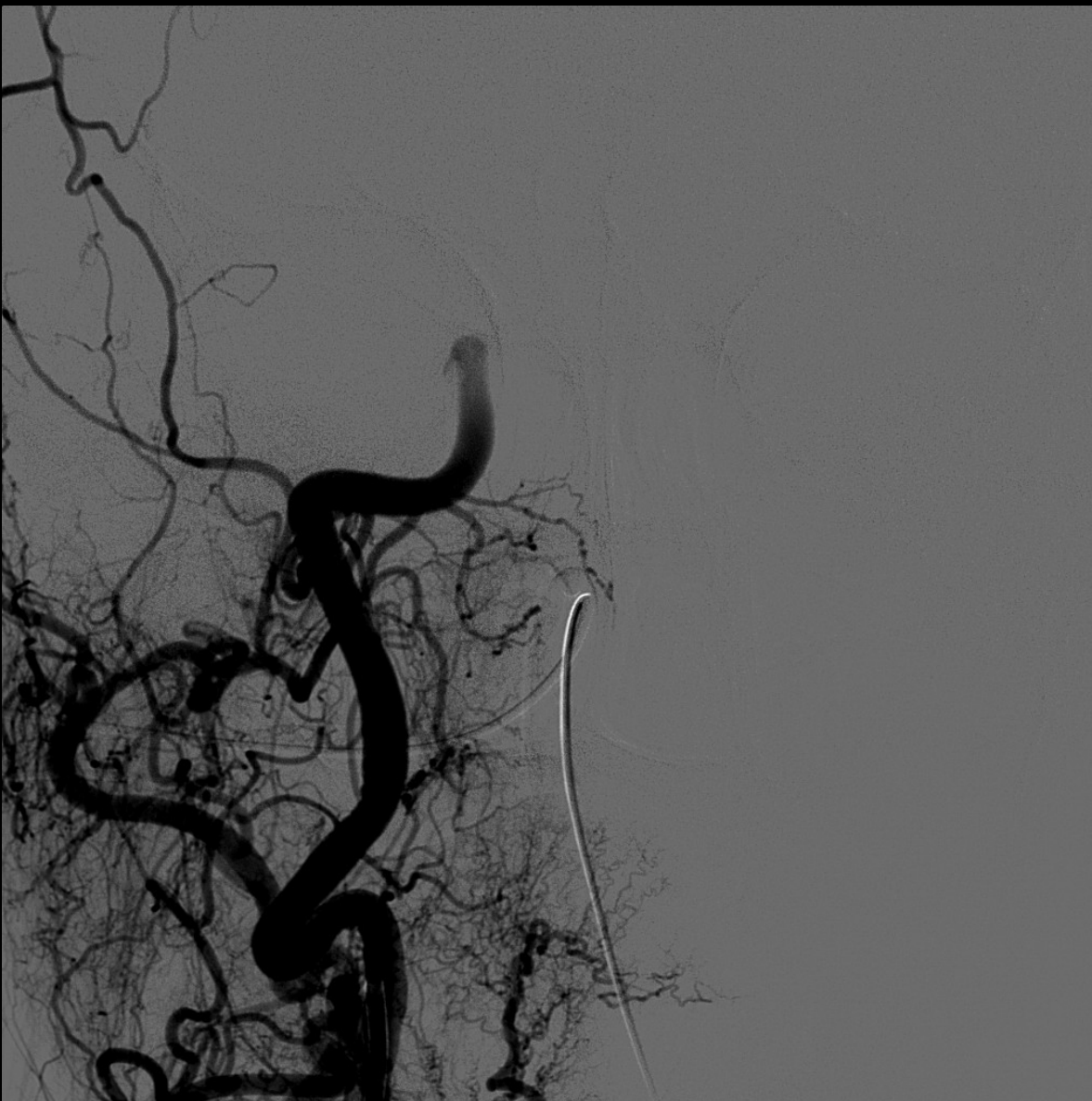


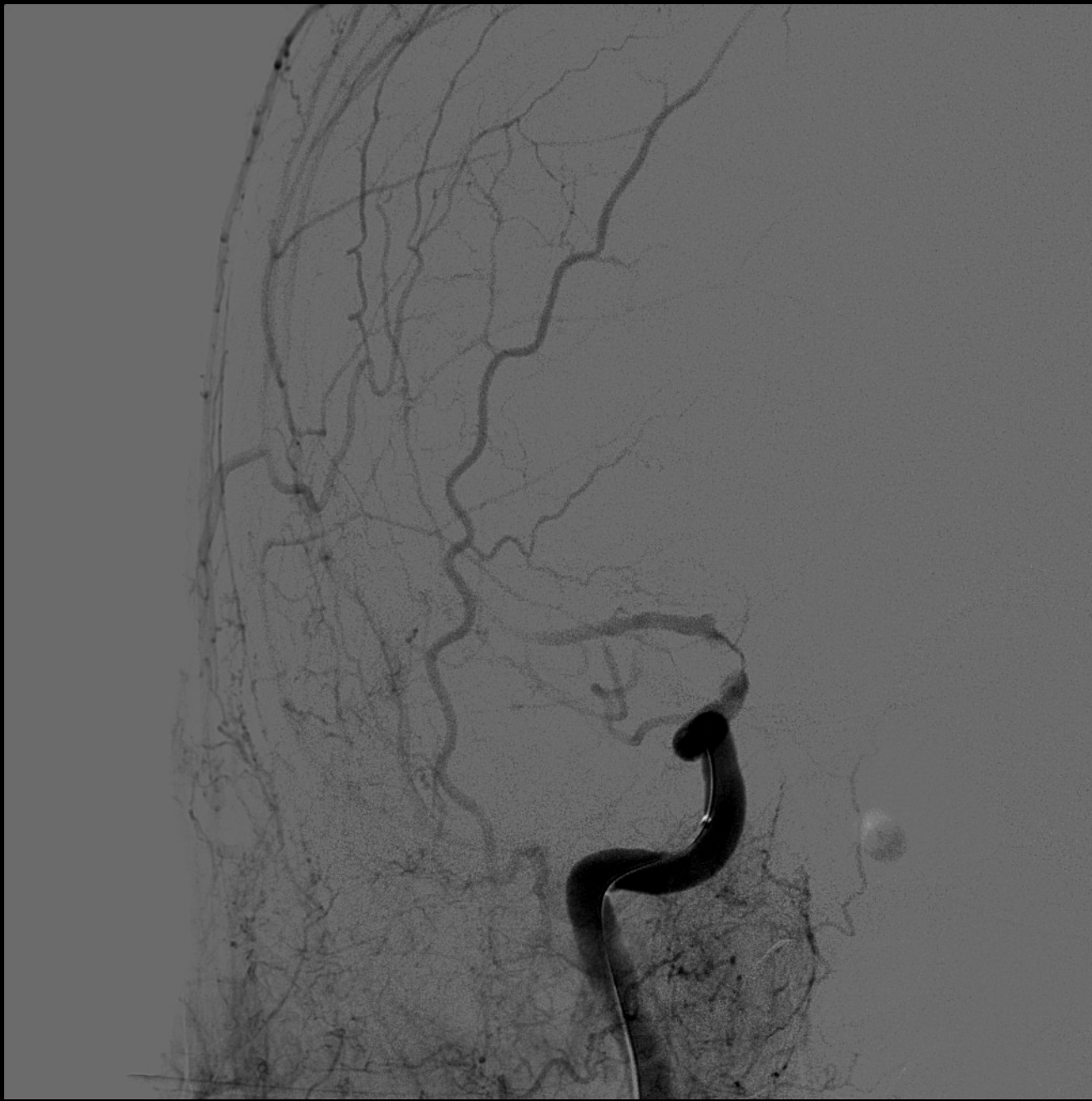
















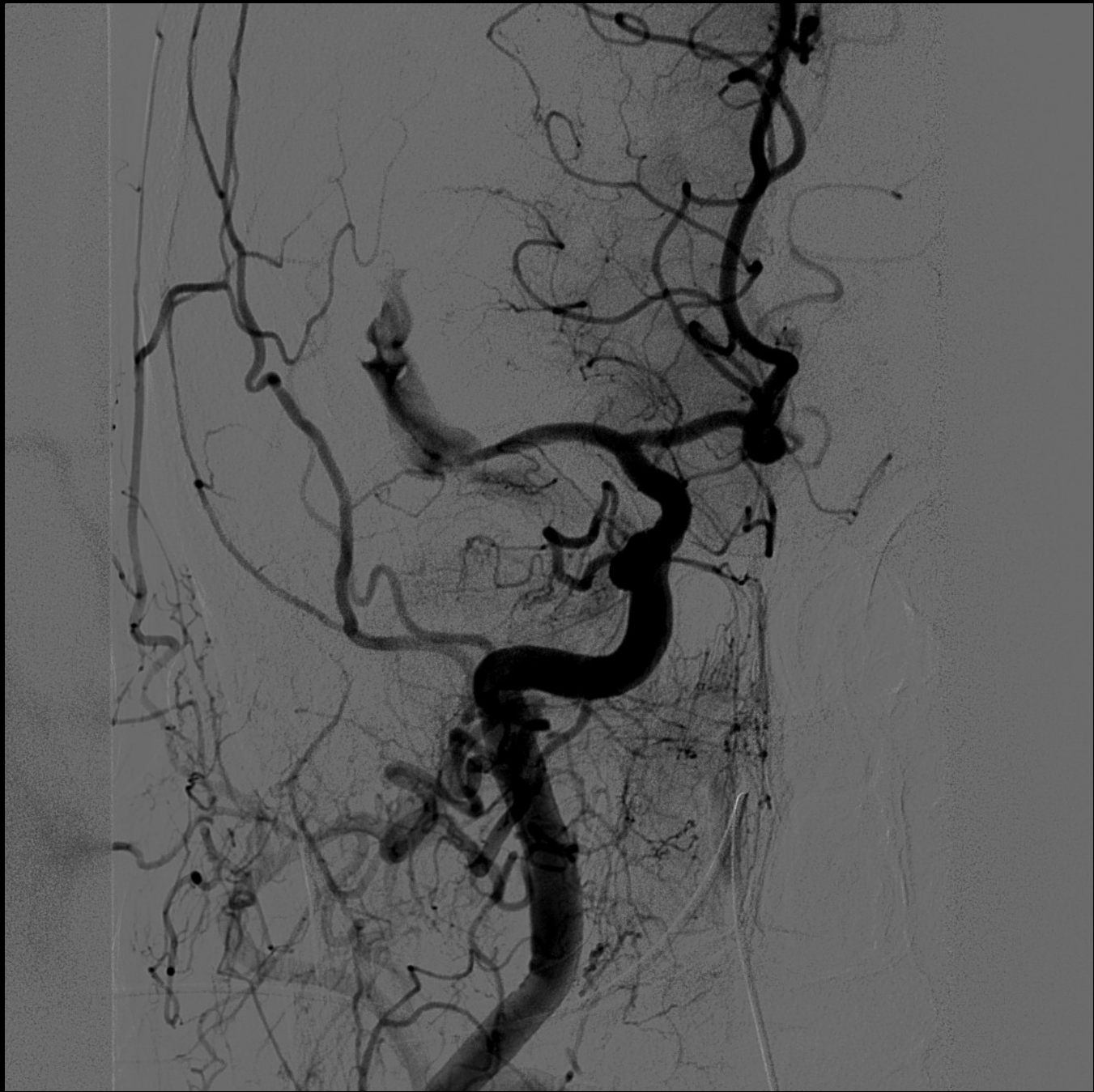










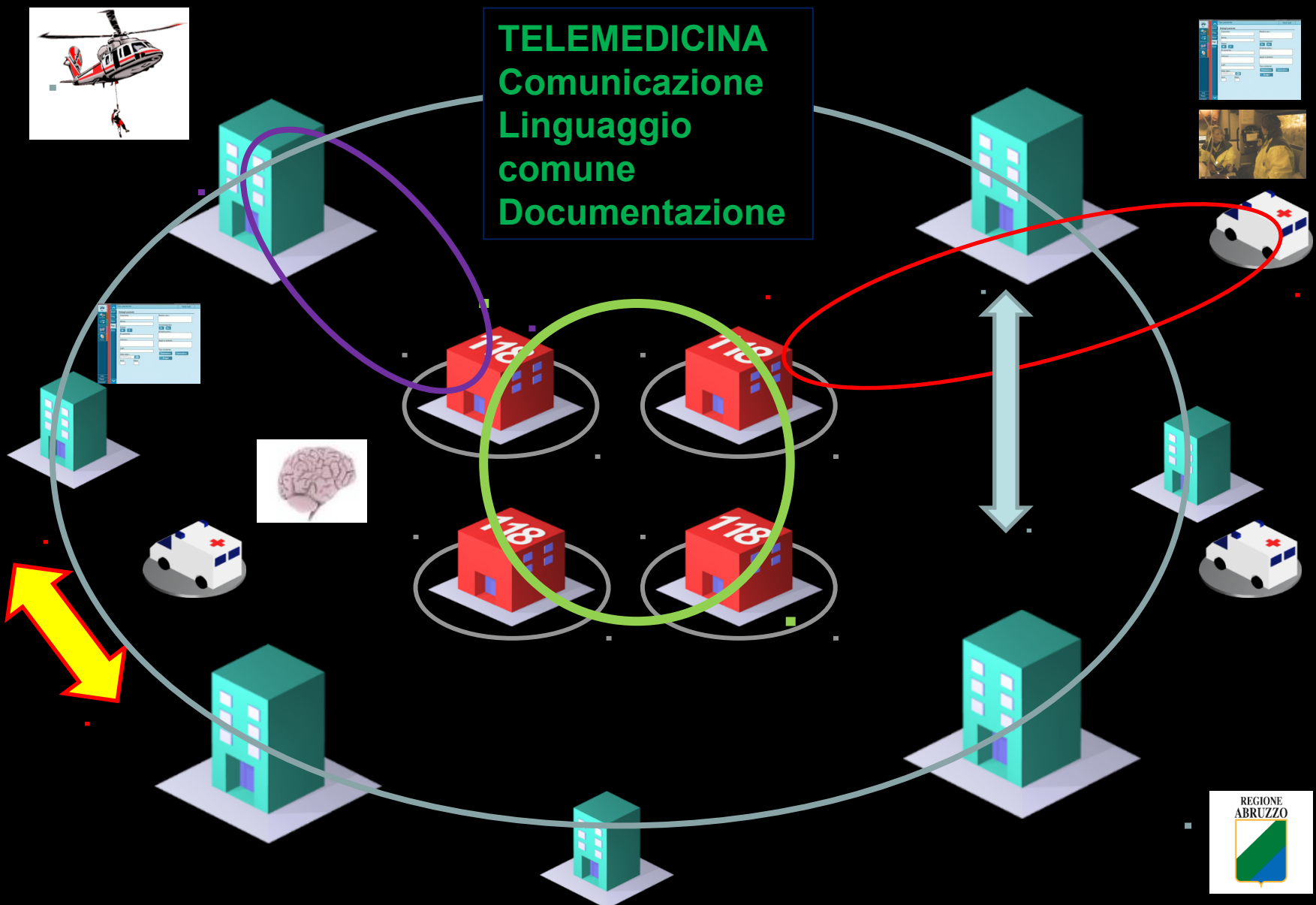








RETE dell'EMERGENZA



RCT of endovascular treatment

The New England Journal of Medicine

ORIGINAL ARTICLE

Endovascular Therapy after Intravenous t-PA versus t-PA Alone for Stroke

Joseph A. Bogousslavsky, M.D.; Anne F. Powers, M.D.; Georges de Dombal, M.D.;
Stephen C. Hsu, M.D.; Michael S. Hsu, M.D.;
Edmund C. Jones, Jr., M.D.; Robert J. Jones, M.D.; Jean-Louis Linet, M.D.;
Randy L. Levine, M.D.; Christopher J. Lutsep, M.D.; Charles A. Macris, M.D.;
John M. Samsonoff, M.D.; Edward Saver, M.D.; Wayne M. Choi, M.D.;
Christopher J. Becker, M.D.; Tom W. Michaels, M.D.; Michael Goyal, M.D.;
William J. Johnston, M.D.; Michael E. Long, M.D.; Michael T. Crosson, M.D.;
David J. Rosenblatt, M.D.; Michael J. Saver, M.D.; Michael R. Finsen, M.D.;
and the Endovascular Management of Stroke (EMS) Investigators

The New England Journal of Medicine

ORIGINAL ARTICLE

A Trial of Imaging Selection and Endovascular Treatment for Ischemic Stroke

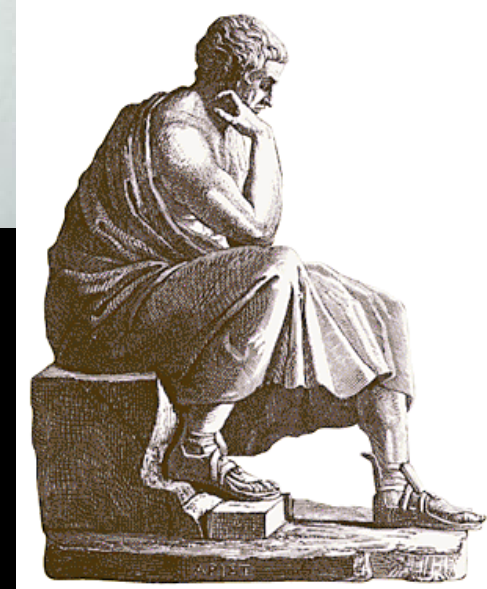
Charles S. Johnston, M.D.; Rajeshwaran, M.D.; Jeffrey Comstock, Dr.P.H.;
John R. Jones, M.D.; and Nancy, Ph.D.; Farley Ajani, M.D.; Lin Feng, M.D., Ph.D.;
John C. Siewers, M.D.; Diane Glavis, M.D.; James H. Schatzman, M.D.; Alfonso J. Yanez, M.D.;
Ramanathan, M.M., M.D.; Prakash Masand, M.D.; George P. Nagele, M.D.

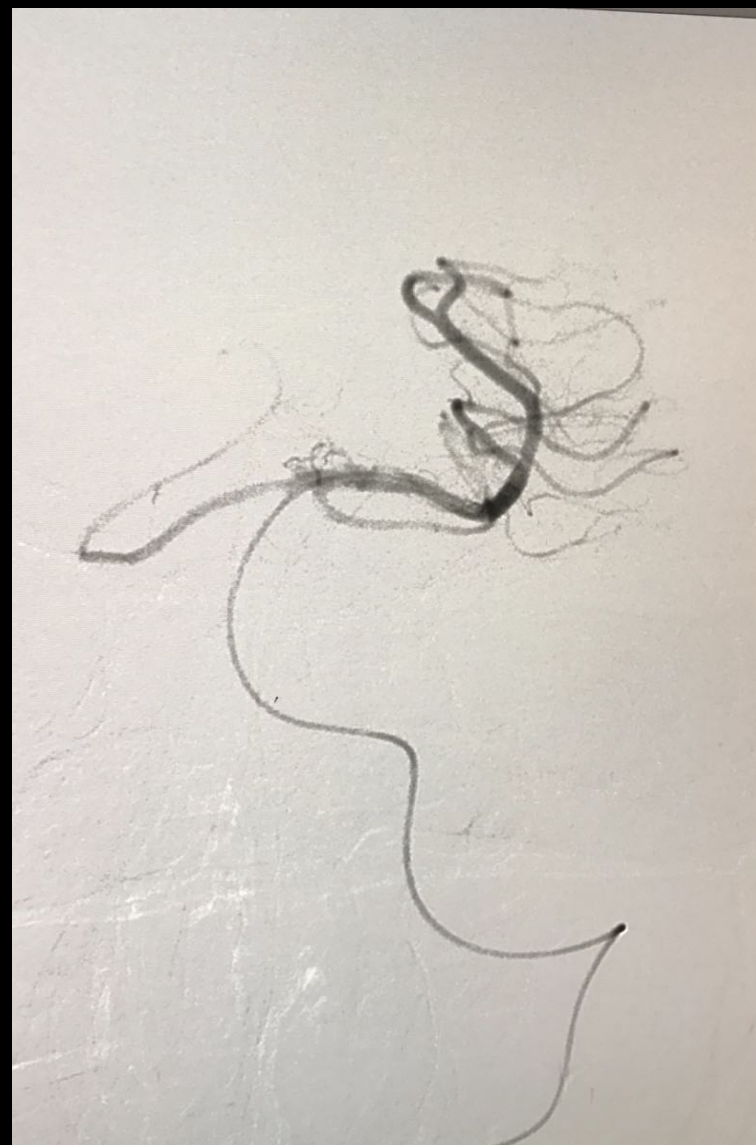
The New England Journal of Medicine

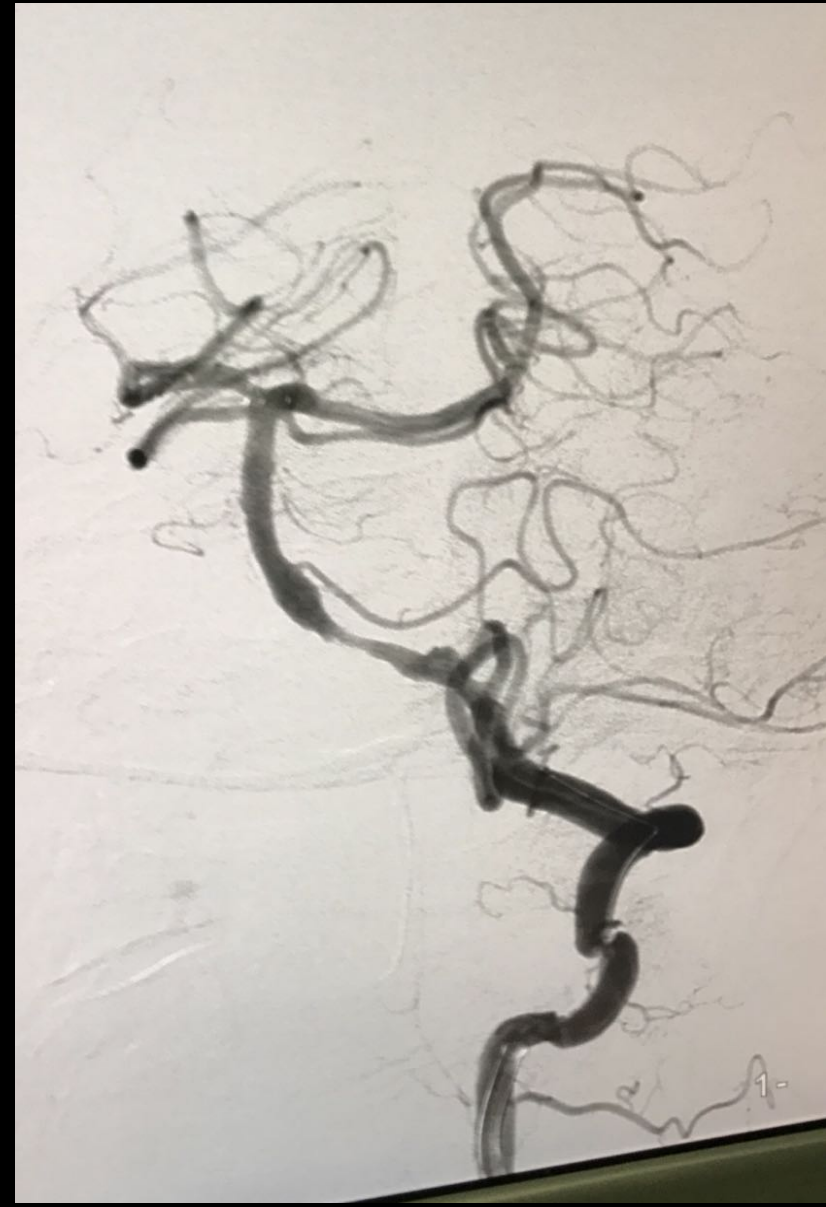
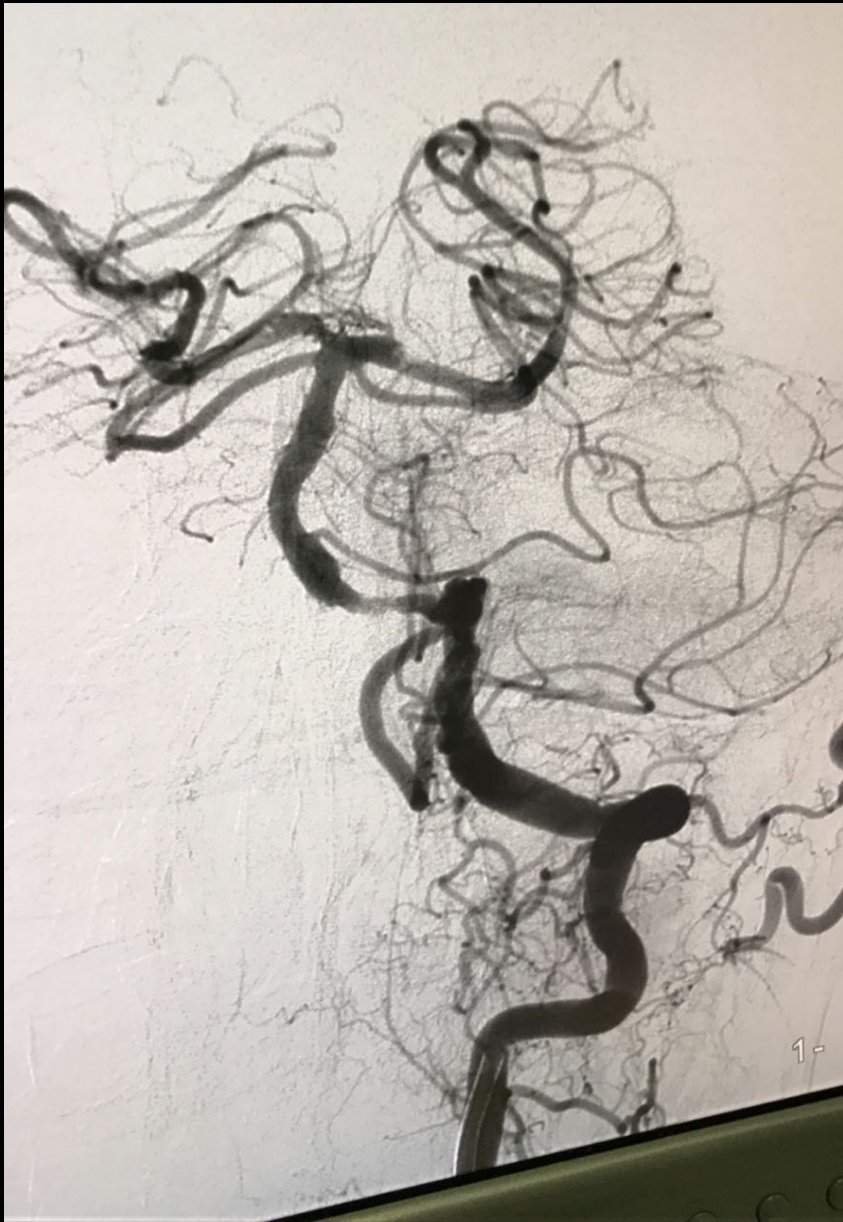
ORIGINAL ARTICLE

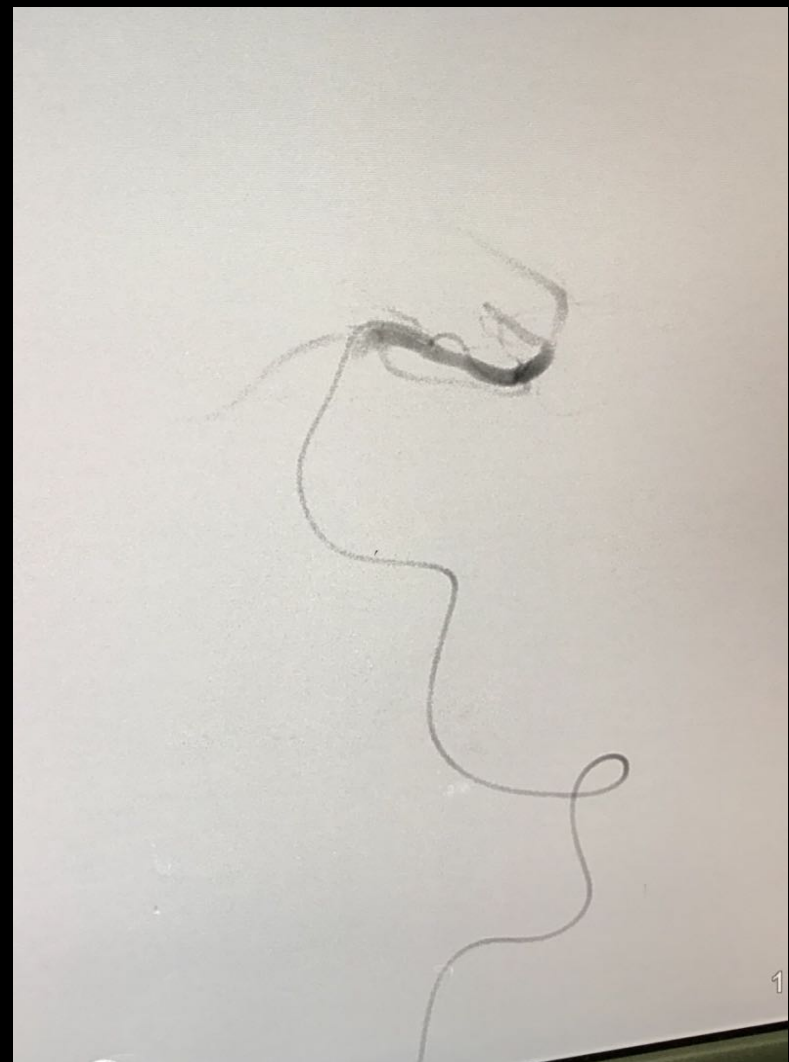
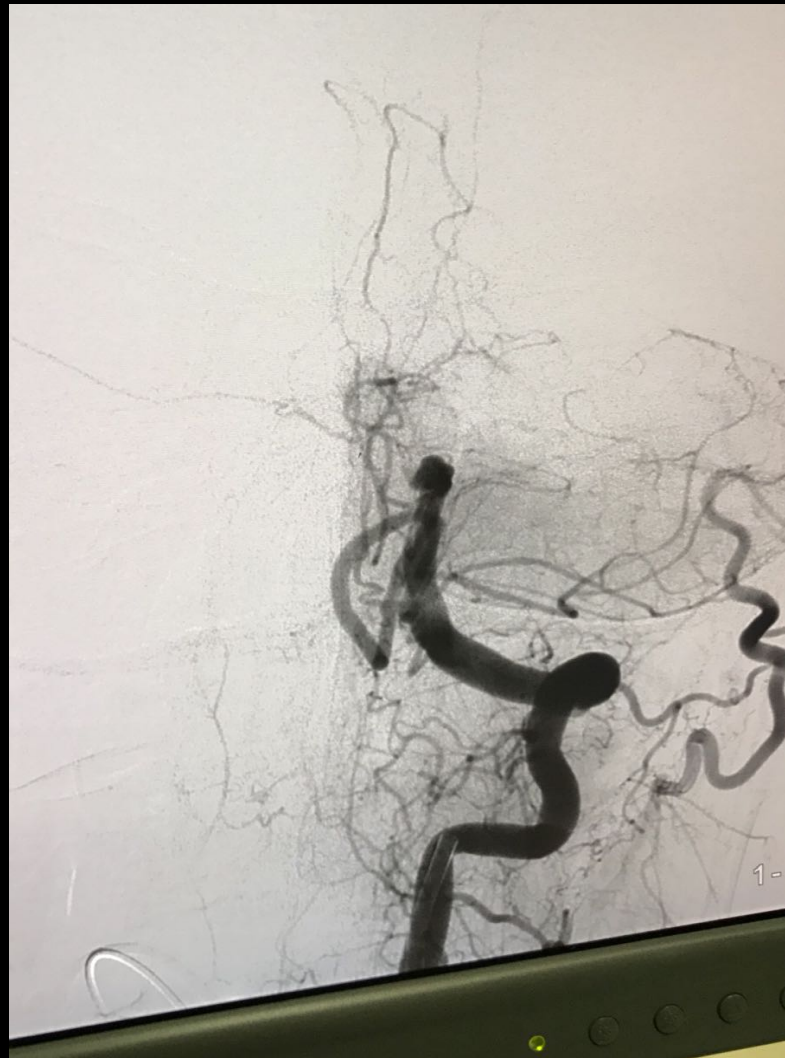
Endovascular Treatment for Acute Ischemic Stroke

Alfonso Catena, M.D.; Luca Velasco, M.D.; Michael Nicklas, M.D.;
Annalisa Sparto, Psy.D.; Michele Puddu, Ph.D.; Roberto Stern, M.D.;
and Edwards Soutar, M.D., for the Synthromics Investigators

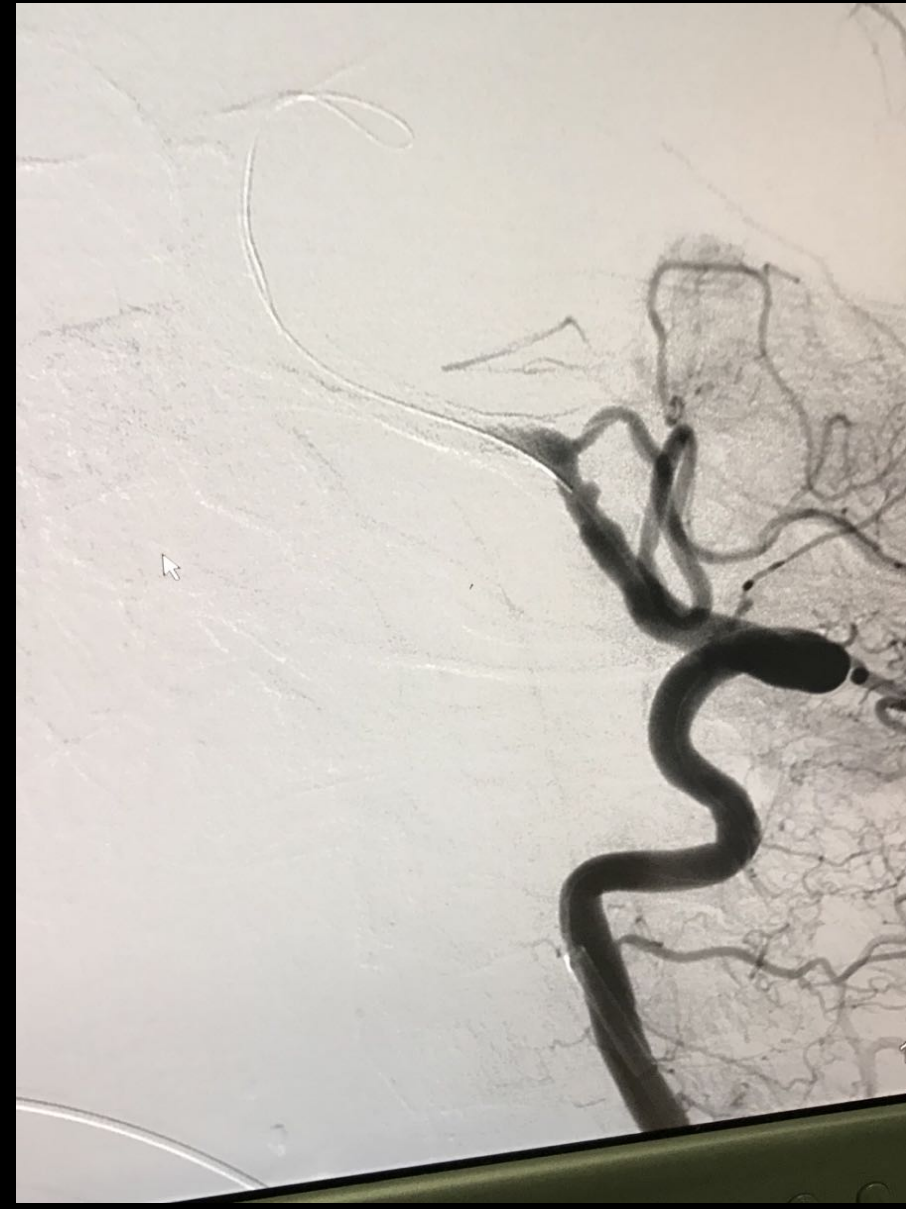


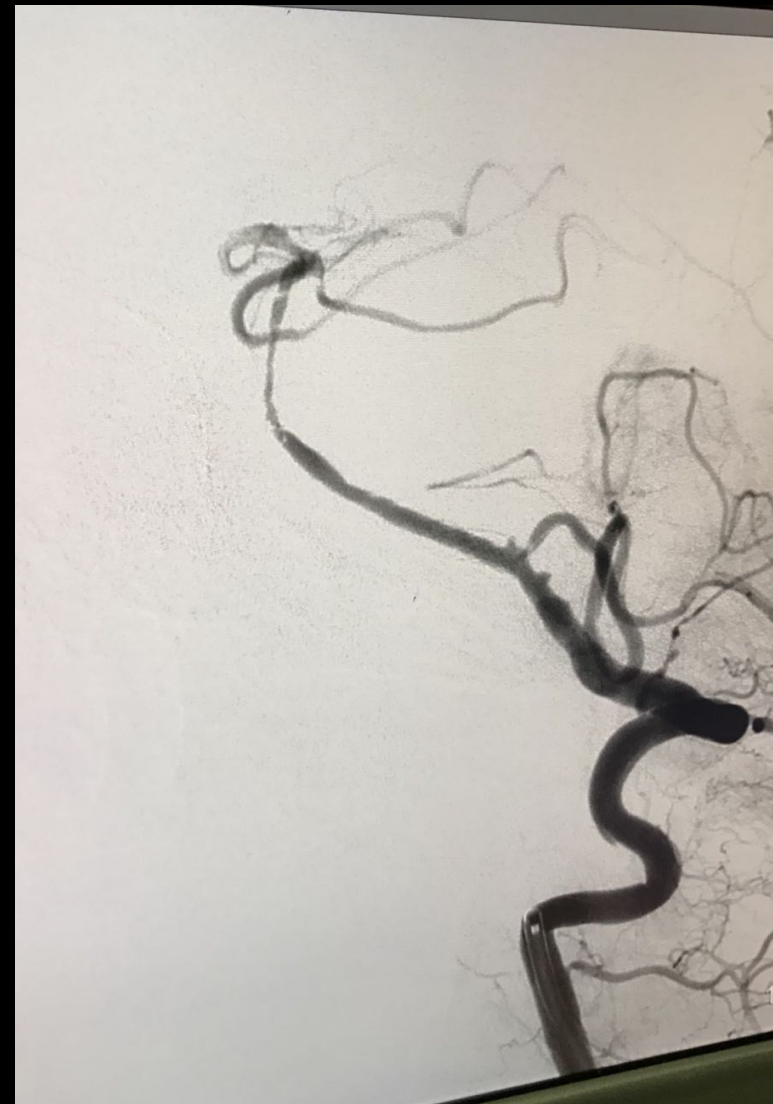
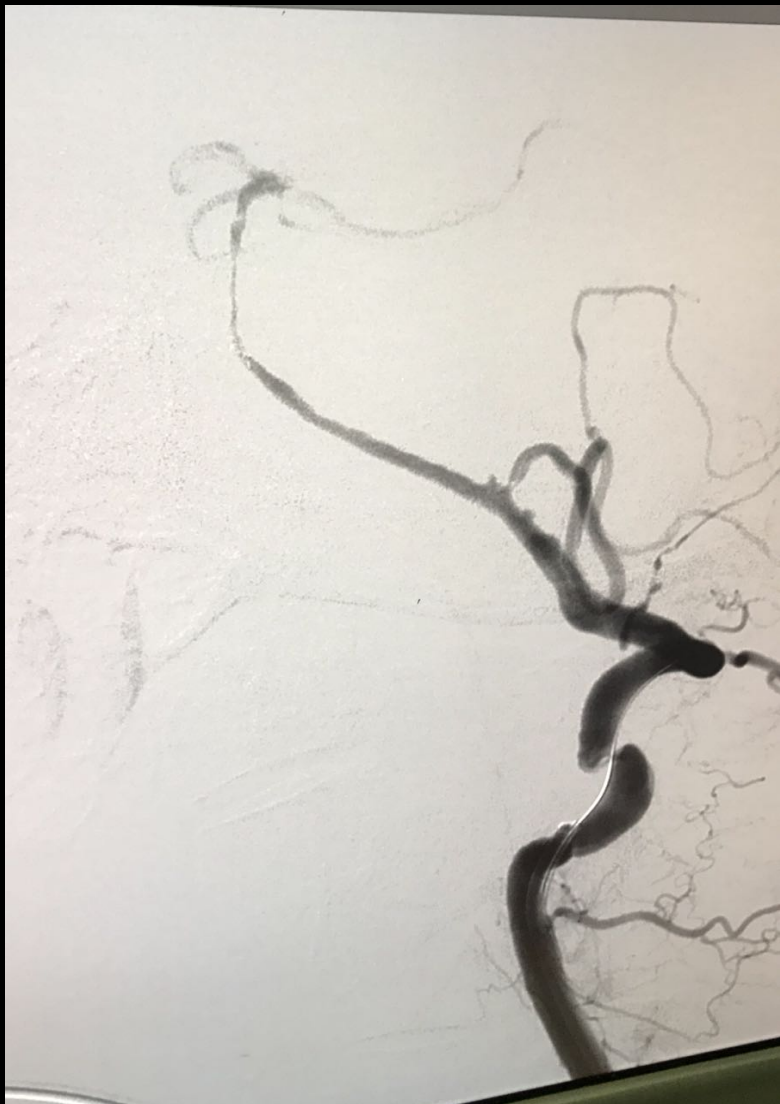


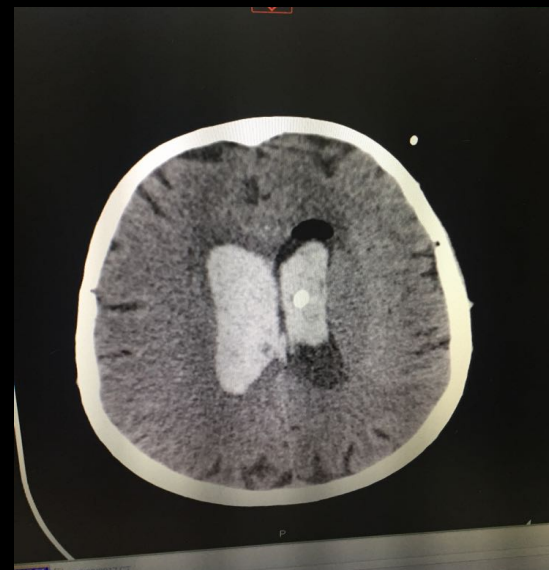


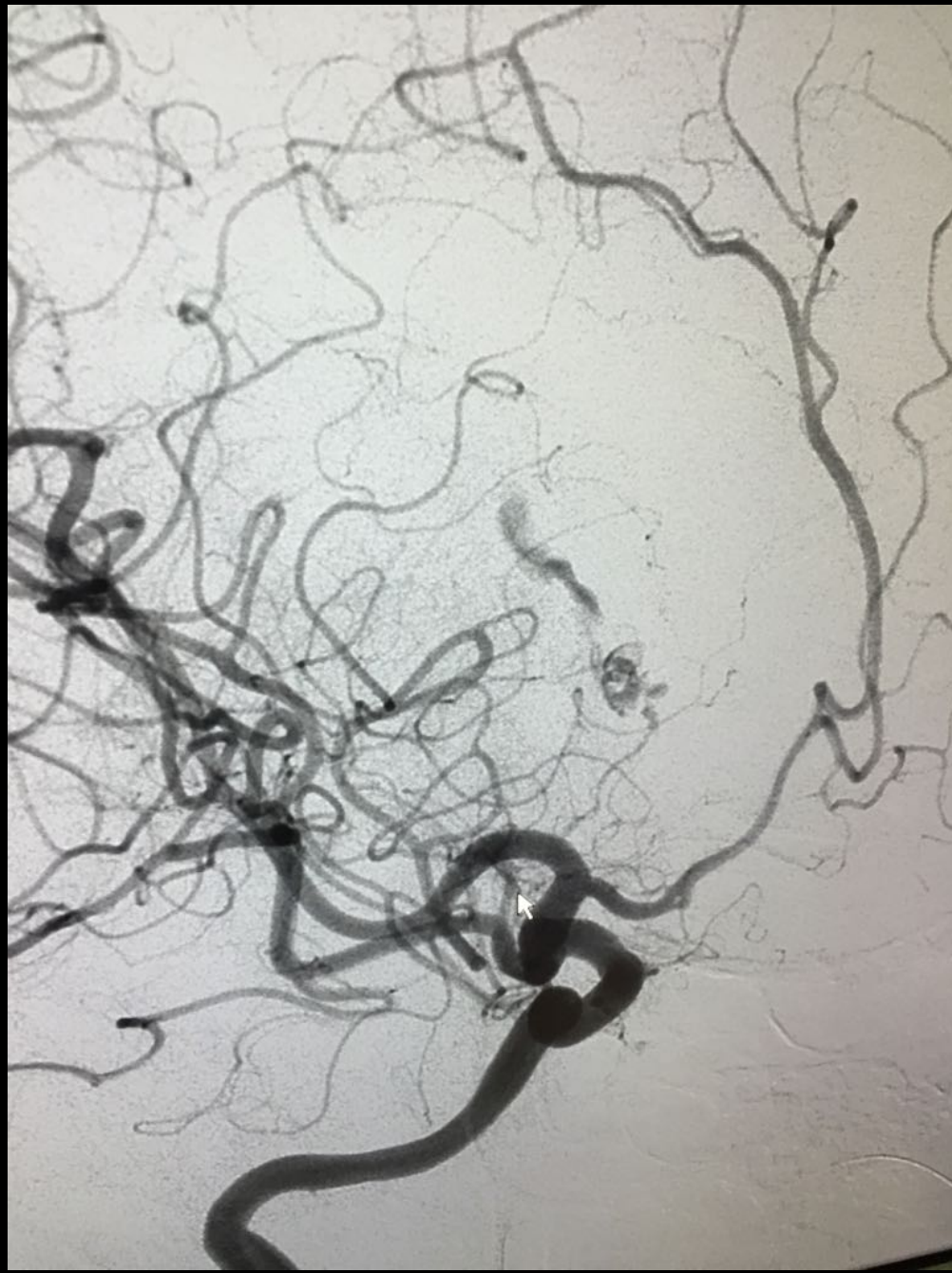


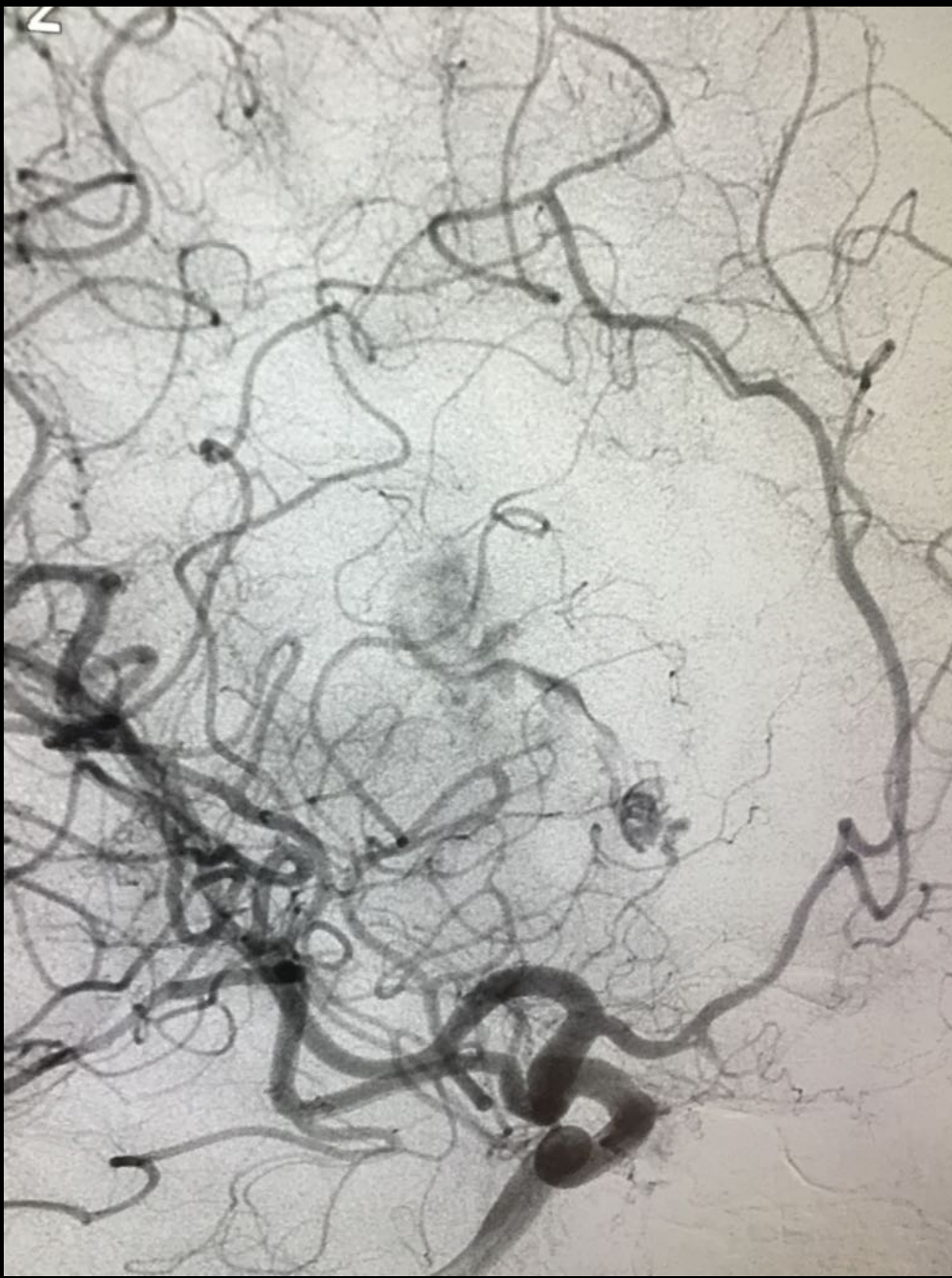


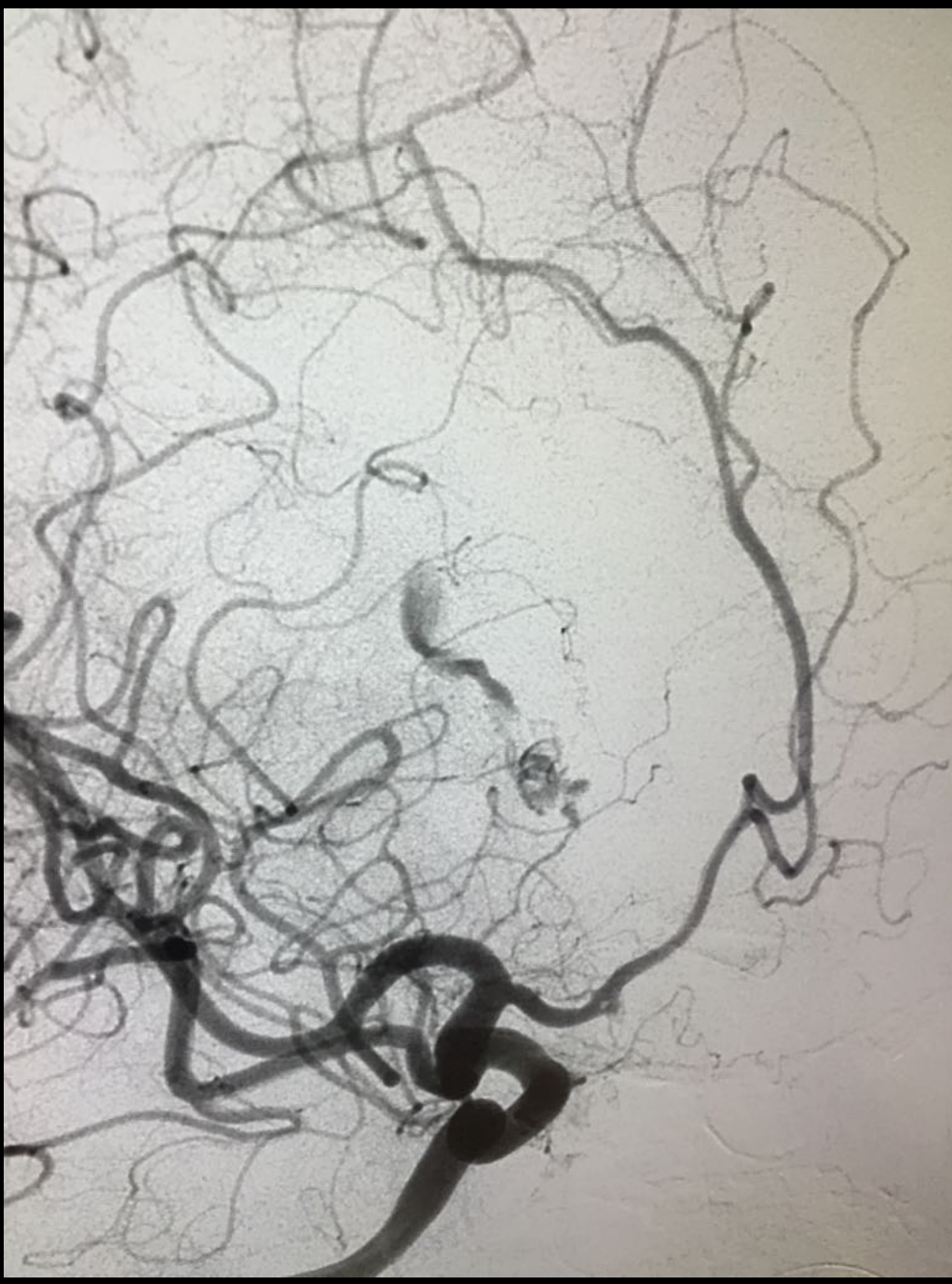


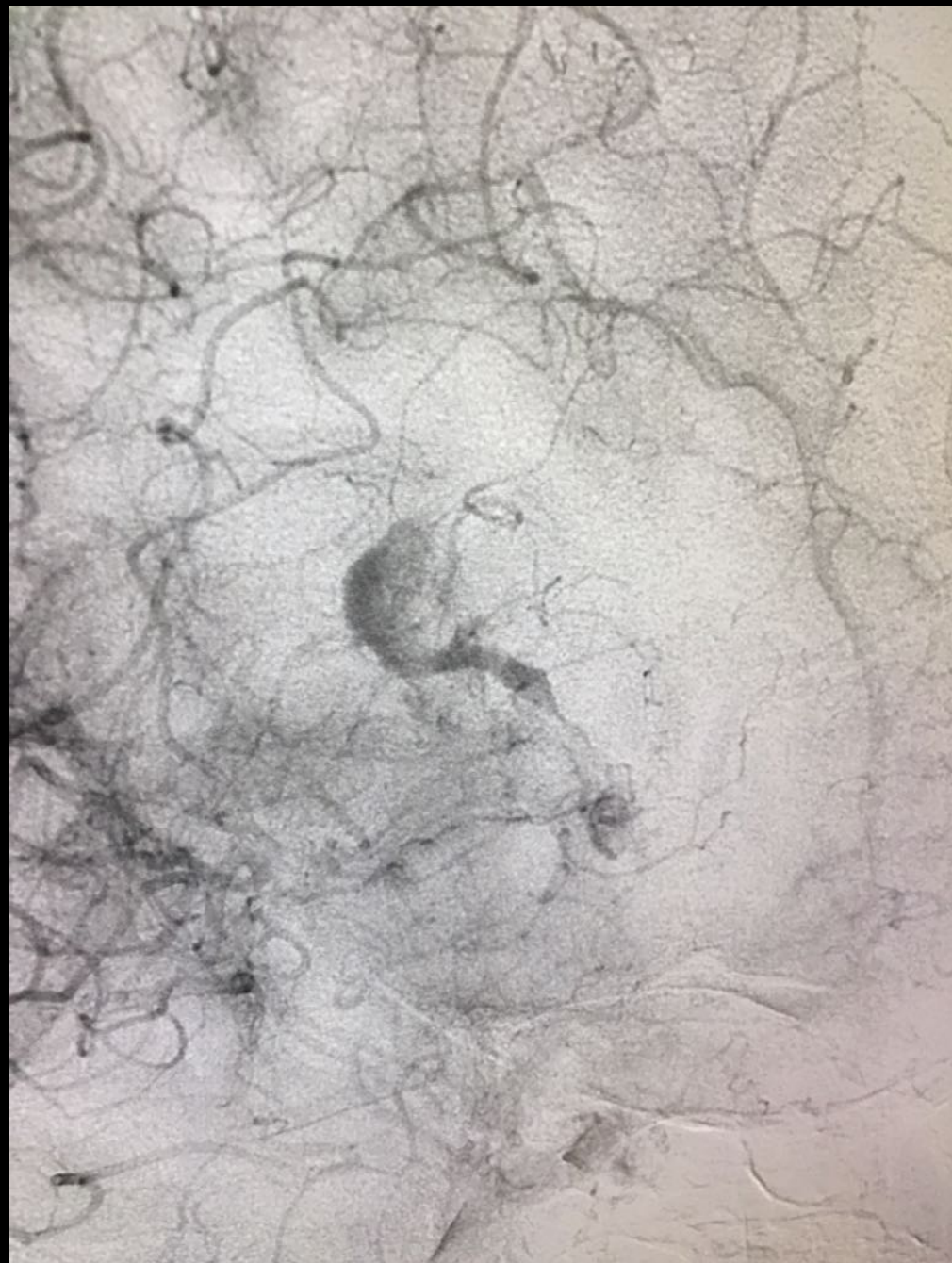




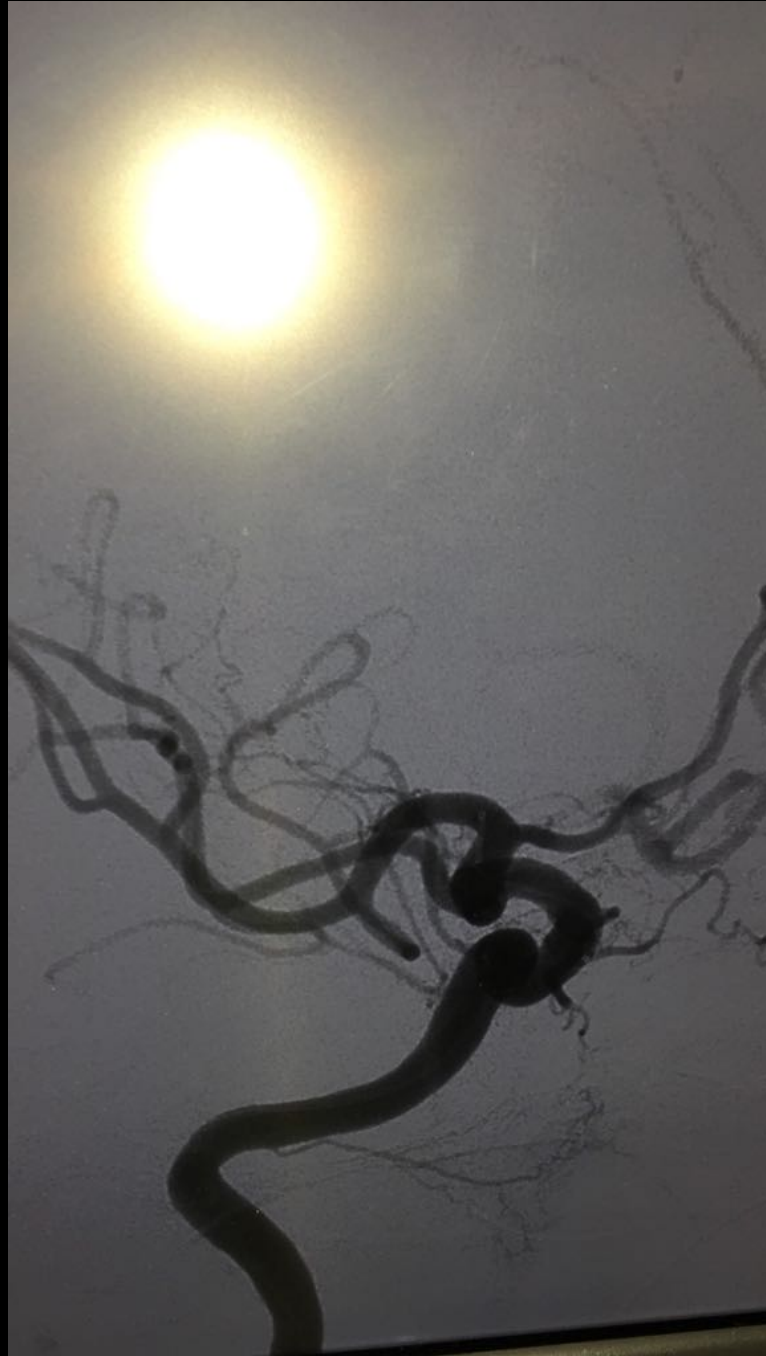












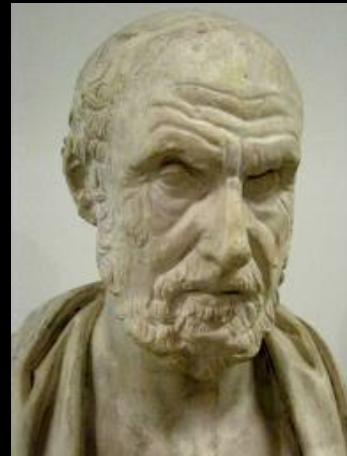
CONCLUSIONI

- Il trattamento endovascolare offre tassi di ricanalizzazione significativamente migliori;
- L'approccio meccanico sembra incrementare significativamente le probabilità di ricanalizzazione stabile;
- L'approccio meccanico è sicuro ed efficace nella rimozione dei coaguli, se utilizzato nelle appropriate finestre terapeutiche.



CONCLUSIONI

- Tuttavia, ulteriori validazioni andranno testate nella reale efficacia clinica del trattamento endovascolare.
- Aziende e ricerca devono superare ambizioni personali;
- Limitare gli studi sottodimensionati con scarsa numerosità e carenze strutturali;
- Stilare protocolli condivisi con i neurologi;
- Passare ad un sistema «Ippocratico».



Grazie per la cortese attenzione

